



ČESKÉ VYSOKÉ UČENÍ TECHNICKÉ V PRAZE

**Fakulta dopravní
Ústav dopravní telematiky K620**

Návrh softwaru pro podporu realizace dopravních průzkumů

Software Design of Traffic Survey Realization Support

Diplomová práce

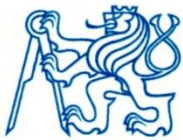
Studijní program: Technika a technologie v dopravě a spojích

Studijní obor: Inženýrská informatika v dopravě a spojích

Vedoucí práce: Ing. Martin Langr

Bc. Ivan Boyarkin

Praha 2015



K620..... Ústav dopravní telematiky

ZADÁNÍ DIPLOMOVÉ PRÁCE

(PROJEKTU, UMĚLECKÉHO DÍLA, UMĚLECKÉHO VÝKONU)

Jméno a příjmení studenta (včetně titulů):

Bc. Ivan Boyarkin

Kód studijního programu a studijní obor studenta:

N 3710 – ID – Inženýrská informatika v dopravě a spojích

Název tématu (česky): **Návrh softwaru pro podporu realizace dopravních průzkumů**

Název tématu (anglicky): Software Design of Traffic Survey Realization Support

Zásady pro vypracování

Při zpracování diplomové práce se řiďte osnovou uvedenou v následujících bodech:

- Analýza požadavků na software
- Analýza a volba vhodného nástroje pro tvorbu softwaru
- Návrh a vývoj softwaru
- Ověření funkčnosti realizovaného návrhu

Rozsah grafických prací: dle pokynů vedoucího DP

Rozsah průvodní zprávy: minimálně 55 stran textu (včetně obrázků, grafů a tabulek, které jsou součástí průvodní zprávy)

Seznam odborné literatury: Richardson, A. J., Ampt, E. S., Meyburg, A. H.; Surveys methods for transport planning; Eucalyptus press, 1995
dokumentace vývojového prostředí zvoleného v analytické části práce

Vedoucí diplomové práce: **Ing. Martin Langr**

Datum zadání diplomové práce: **31. července 2014**

(datum prvního zadání této práce, které musí být nejpozději 10 měsíců před datem prvního předpokládaného odevzdání této práce vyplývajícího ze standardní doby studia)

Datum odevzdání diplomové práce: **31. května 2015**

- a) datum prvního předpokládaného odevzdání práce vyplývající ze standardní doby studia a z doporučeného časového plánu studia
b) v případě odkladu odevzdání práce následující datum odevzdání práce vyplývající z doporučeného časového plánu studia

doc. Ing. Pavel Hrubeš, Ph.D.
vedoucí
Ústavu dopravní telematiky



prof. Dr. Ing. Miroslav Svítek
děkan fakulty

Potvrzuji převzetí zadání diplomové práce.

Bc. Ivan Boyarkin
jméno a podpis studenta

V Praze dne31. července 2014

Poděkování

Na tomto místě bych rád poděkoval všem, kteří mi poskytli podklady pro vypracování této práce. Zvláště pak děkuji Ing. Martinu Langrovi za odborné vedení a konzultování diplomové práce a za rady, které mi poskytoval po celou dobu mého studia a dále bych chtěl poděkovat kolegům z projektu „Řízení a modelování silniční dopravy“ a všem, jejichž rady přispěly velkou měrou ke zpracování této diplomové práce.

V nepolední řadě je mou milou povinností poděkovat svým rodičům za morální a materiální podporu, které se mi dostávalo po celou dobu studia.

Práce vznikla za podpory grantu: SGS15/105/OHK2/1T/16.

Prohlášení

Předkládám tímto k posouzení a obhajobě diplomovou práci na závěr studia na ČVUT v Praze Fakultě dopravní.

Nemám závažný důvod proti užívání tohoto školního díla ve smyslu § 60 Zákona č. 121/2000 Sb., o právu autorském, o právech souvisejících s právem autorským a o změně některých zákonů (autorský zákon).“

Prohlašuji, že jsem předloženou práci vypracoval samostatně a že jsem uvedl veškeré použité informační zdroje v souladu s Metodickým pokynem o etické přípravě vysokoškolských závěrečných prací.“

V Praze dne 31. května 2015

.....
Podpis

ČESKÉ VYSOKÉ ÚČENÍ TECHNICKÉ V PRAZE

Fakulta dopravní

NÁVRH SOFTWARE PRO PODPORU REALIZACE DOPRAVNÍCH PRŮZKUMŮ

diplomová práce
květen 2015
Bc. Ivan Boyarkin

ABSTRAKT

Předmětem diplomové práce „Návrh softwaru pro podporu dopravních průzkumu“ je zjištění způsobů získávání charakteristik dopravních proudů, analýza požadavků, které jsou kladeny na nástroje pro dopravní průzkumy a na základě této analýzy navrhnout a vyvinout aplikaci pro chytrá mobilní zařízení a zjistit, jestli je použitelná pro nahrazení papírových formulářů

Klíčová slova: dopravní průzkum, měření, návrh softwaru, vývoj softwaru, Android, mobilní operační systémy, chytré telefony.

CZECH TECHNICAL UNIVERSITY IN PRAGUE

Faculty of Transportation Sciences

SOFTWARE DESIGN OF TRAFFIC SURVEY REALIZATION SUPPORT

master's thesis
May 2015
Bc. Ivan Boyarkin

ABSTRACT

The subject of the master's thesis „Software Design of Traffic Survey Realization Support” is finding ways to obtaining the traffic flow characteristics, analyzing requirements for a traffic survey tools and based on this analysis, design and develop application for smart mobile devices and find out if it is applicable to replace traffic survey sheets.

Keywords: traffic survey, measurement, software design, software development, Android, mobile operation systems, smartphone.

Obsah

Obsah	5
Seznam použitých zkratek	8
1 Úvod	10
2 Analýza požadavků na software	11
2.1 Dopravní průzkumy	11
2.1.1 Dopravní proudy a jejich charakteristiky	11
2.1.2 Měření charakteristik dopravních proudů	17
2.2 Požadavky na software	19
2.2.1 Požadavky z hlediska uživatele	20
2.2.2 Požadavky z hlediska organizátora	20
2.3 Shrnutí	23
3 Zabezpečení a ukládání dat	24
3.1 Druhy souborů	24
3.1.1 Základy jazyka XML	24
3.1.2 Porovnání s ostatními formáty	28
3.2 Zálohování	33
3.2.1 Přístupy k zálohování	33
3.2.2 Záznamová media	34
3.3 Zabezpečení	34
3.3.1 Příčiny ztráty dat	34
3.3.2 Prevence ztráty dat	36
4 Analýza a volba vhodného nástroje pro tvorbu softwaru	38
4.1 Analýza operačních systémů v segmentu mobilních zařízení	38
4.1.1 Android	41
4.1.2 iOS	41
4.1.3 Windows	42
4.1.4 Ostatní mobilní operační systémy	42
4.1.5 Shrnutí	43

4.2	Analýza vývojových prostředí a nástrojů.....	43
4.2.1	Android studio	44
4.2.2	App Inventor for Android	44
4.2.3	Corona.....	45
4.2.4	Kivy.....	46
4.2.5	RubyMotion	46
4.2.6	Xamarin	47
4.2.7	Porovnání a volba vývojových nástrojů	47
5	Návrh a vývoj softwaru.....	50
5.1	Uživatelské rozhraní	51
5.1.1	Úvodní obrazovka	51
5.1.2	Obrazovka pro průzkum.....	53
5.1.3	Obrazovka s předvolbami	55
5.2	Ukládání dat.....	56
5.2.1	Databáze	57
5.3	Realizace části programování	58
5.3.1	Úvodní obrazovka	59
5.3.2	Obrazovka pro průzkum.....	65
5.3.3	Předvolby.....	70
6	Ověření funkčnosti realizovaného návrhu	71
6.1	Spotřeba energie aplikací.....	71
6.2	Porovnání s papírovými záznamy	75
6.3	Výhled do budoucna.....	75
6.4	Shrnutí	76
7	Závěr	77
8	Použitá literatura	79
9	Seznam obrázků	84
10	Seznam tabulek.....	85
11	Seznám zdrojových kódů	86

12	Seznam příloh	87
12.1	Příloha A	87
12.2	Příloha B	87
12.3	Příloha C	87
12.4	Příloha D	87
	Přílohy.....	88
	Příloha A. Ukázky zdrojových kódů, použitých v aplikaci.....	89
	Příloha B. Grafy stavů baterie.....	93

Seznam použitých zkratk

APK	typ spustitelného souboru pro instalaci aplikace, které určeno pro OS Android
Bluetooth®	proprietární otevřený protokol pro bezdrátovou komunikaci
Cloudové služby	služby na internetu, které jsou poskytovány uživatelům odkudkoliv
CSV	Comma-Separated Values - hodnoty oddělené čárkami
DTD	Document Type Definition - definice typu dokumentu
Fishing	získávání citlivých údajů na internetu od obětí útoku
GNSS	Global Navigation Satellite System - globální družicový polohový systém
GNU	operační systém složený ze zcela svobodného softwaru
GNU GPL	GNU General Public License - všeobecná veřejná licence GNU
GPS	Global Positioning System – globální družicový polohový systém provozovaný Ministerstvem obrany Spojených států amerických
IDE	Integrated Development Environment – vývojové prostředí
JSON	JavaScript Object Notation - JavaScriptový objektový zápis
KML	Keyhole Markup Language – značkovací jazyk Keyhole
LOS	Level of service – úroveň služby
Malware	počítačový program pro vniknutí a poškození operačního systému
NAND	Not AND – negovaný logický součin
NFC	Near Field Communication - technologie radiové bezdrátové komunikace na krátkou vzdálenost
OBU	OnBoard Unit – palubní jednotka
OS	operační systém
POS terminál	Point-of-sale – platební terminál
RAID	Redundant Array of Inexpensive/Independent Disks - vícenásobné diskové pole laciných/nezávislých disků
SDK	Software Development Kit – soubor nástrojů pro vývoj software
Solid-state media nebo SSD	Typ datového media, který neobsahuje pohyblivé části
SQLite	relační databázový systém
TP	Technické podmínky
Unicode	tabulka znaků všech existujících abeced
USB	Universal Serial Bus - univerzální sériová sběrnice
UTF-8	druh kódování ve standardu Unicode

W3C	World Wide Web Consortium – mezinárodní konsorcium vyvíjející webové standardy
WYSIWYG	způsob editace dokumentu, při kterém obsah dokumentu v procesu editace je zobrazen totožně s výslednou verzí.
XML	eXtensible Markup Language - rozšiřitelný značkovací jazyk
YAML	formát pro serializaci strukturovaných dat

1 Úvod

Dopravní průzkumy tvoří nedílnou část jakékoliv studie při návrhu dopravní infrastruktury. Nesmíme podceňovat to, jak jsou důležité pro organizaci dopravy a výstavbu nových komunikací. Je potřeba dbát nejenom na rozsah měření, ale i na kvalitu. Jelikož i já jsem se osobně setkal s problémem, ke kterému došlo při bodovém měření, způsobeným chybou určení přesného času. Může se zdát, že několik vteřin nic neovlivní, ale právě špatná synchronizace hodin na jednotlivých stanovištích vyvolala kolaps celého měření. Zabránit výskytu podobných situací mohou rychle rozvíjející se technologie spolu s cenovou dostupností osobní výpočetní techniky přenosné velikosti. Zamezit vlivu lidského faktoru zcela nedokážeme, ale můžeme jeho minimalizovat. Mimo jiné lze dosáhnout určitého zjednodušení, které by mohlo nejenom zmírnit zátěž na osoby vykonávající měření ale i snížit požadavky na lidské zdroje.

Téma diplomové práce jsem si zvolil v návaznosti na vlastní bakalářskou práci, která je věnovaná problematice použití dotykových technologií pro dopravní průzkumy. Její výsledky budou použity v následujících částech. Nejpodstatnější je, že z cenové dostupnosti a převládání jenom jediné technologie na trhu ovlivnily celkové zaměření na segment chytrých mobilních zařízení.

Nesmím opomenout ani vlastní zkušenosti s dopravními průzkumy a osobně můj názor na to, že při krátkodobých měření za pomoci lidské síly je obrovský prostor pro realizaci a implementaci různých nástrojů, které by přispěly k zjednodušení a zefektivnění činnosti. Zaznamenávat průjezdy vozidel, chodci nebo jakýkoliv jiný výskyt události na papír a pomocí tužky je klasický způsob, ale když žijeme v tak moderní době, je vhodné se pokusit navrhnout chytrější nástroje pro dopravní průzkumy.

Z velkého množství způsobů získávání charakteristik dopravního proudu práce je zaměřená na manuální, neboli ruční měření. Zdůvodnění a seznámení s takovým výběrem je popsáno v další kapitole. Právě s těmito druhy průzkumů nejčastěji se setkávají studenti fakulty dopravní. A jsou nejnáročnější pro osoby, které měření vykonávají hlavně kvůli potřebě přepisu dat z papírových formulářů nebo z videa do elektronické podoby. Proto svoji práci bych viděl jako příspěvek ke zkvalitnění dopravních průzkumů, který budou moci využívat studenti naší fakulty.

Za očekávaný cíl jsem pokládal realizaci aplikaci pro chytrá přenosná zařízení, která by nahradila papírové záznamy, a byl by vynechán jeden nutný přepis dat do elektronické podoby.

2 Analýza požadavků na software

Před tím, než začnu navrhovat aplikaci, je nezbytné stanovit požadavky. Umožní to zabránit marnění času při vývoje funkcí, které nebudou využity. Je zapotřebí přesně vědět, které nároky musí být splněny a co všechno software musí umět. Proto tato kapitola je věnovaná především dopravním průzkumům a způsobům získávání charakteristických hodnot dopravních proudů za účelem stanovení vlastností, kterých musí nabýt aplikace.

2.1 Dopravní průzkumy

V roce 2013 v Praze byly dokončeny výstavby více než 3000 bytových jednotek [1]. Staví se nová sídliště, lidé používají osobní vozidla, veřejnou dopravu. Pokud si uvědomíme počet osobních vozidel v jedné domácnosti a to všechno vyvolává novou poptávku a klade nové zvyšující se nároky na infrastrukturu. Celou situaci komplikuje stochastický původ dopravních proudů, především kvůli vlivu lidského faktoru. Vzniklé neurčitosti v přepravních procesech potřebujeme odstraňovat pomocí stálého pozorování a získávání charakteristik a vlastností dopravních proudů.

2.1.1 Dopravní proudy a jejich charakteristiky

Dopravní proud je obecně složen z různorodých vozidel pod řízením řidičů s odlišnými zkušenostmi, a která mají rozličné dynamické vlastnosti, což určuje heterogenost dopravních proudů. V makroskopickém měřítku je možné pozorovat podobnost chování vůči proudění tekutin. Při dosazení maximální propustnosti určitého úseku, ten se začne postupně zaplňovat vozidly a některá z nich budou přetékat do vedlejších ulic.

V mikroskopickém měřítku chování jednotlivých vozidel ovlivněno nejenom dopravními předpisy. Velký vliv má dokonce i psychický stav řidiče a samozřejmě nesmíme zapomenout na technický stav vozidla nebo počasí. Ve výsledku předpovídání pohybu a interakce dopravních prostředků není tak jednoduchou záležitostí, jak by se to mohlo zdát na první pohled.

2.1.1.1 Intenzita

Intenzita je důležitým parametrem dopravního proudu a obvykle definovaná jako počet vozidel projíždějících jedním bodem za určitý časový okamžik (běžně se používá jedna hodina). Je vyjádřena následujícím vztahem:

$$q = \frac{N}{T} \quad (1)$$

kde: q – intenzita [voz/h]
 N – počet vozidel, která projela určitým profilem [voz]
 T – délka trvání měření [h]

Volbu vhodného času pro měření intenzity dopravního proudu je zapotřebí pečlivě uvažovat. A to nejenom z hlediska trvání, ale i z hlediska hodiny ve dne, dne v týdnu, měsíce v roce atd. Jelikož tento parametr se liší jenom dle toho, jestli měření se provádí v pracovní den nebo o víkendu. Denní intenzity jsou ovlivněny polohou měřicího stanoviště: např. centrum města, průmyslová zóna a rekreační středisko budou mít jiný vývoj intenzit během dne.

Charakteristiky dopravních proudu na určitých úsecích jsou závislé taktéž na dni v týdnu. Především rozdíl je vidět mezi komunikacemi nacházejícími se v intravilánu a extravilánu. Městské komunikace jsou nejvíce zatížené během pracovních dnů a o víkendu, svátcích nebo prázdninách zaznamenávají pokles intenzit. Mimoměstské silnice v pracovní dny jsou vytížené méně.

Pro zjištění charakteru provozu na komunikaci II. a III. třídy se používá tzv. nedělní faktor. Pro jeho výpočet je zapotřebí data o intenzitě dopravy z pracovního dne a z neděle tj. je nutné provést dva průzkumy. S použitím nedělního faktoru lze rozdělit komunikace do třech skupin, které jsou uvedeny v tabulce Tabulka 1, a jeho hodnotu lze spočítat pomocí vztahu (2). [2]

$$f_{Ne} = \frac{I_{Ne,16-20}}{I_{BPD,13-17}}, \quad (2)$$

kde: f_{Ne} nedělní faktor [–]

$I_{Ne,16-20}$ intenzita dopravy v běžnou neděli v době 16:00 – 20:00 [voz/4h]

$I_{BPD,13-17}$ intenzita dopravy v běžný pracovní den v době 13:00 – 17:00 [voz/4h]

Tabulka 1. Rozdělení komunikací do skupin podle charakteru provozu

Charakter provozu	Popis	f_{Ne} [–]
Hospodářský (H)	Komunikace je ve větší míře se používá pro pravidelné dojíždění do zaměstnání a škol v pracovní dny. Rekreační cesty jsou zastoupeny v menší míře.	< 0,85
Smišený (S)	Komunikace se používá pro pravidelné cesty v pracovní dny tak i o víkendu. Provoz je rovnoměrný po celý týden.	0,85 – 1,20
Rekreační (R)	Na komunikaci převládají především cesty do rekreačních oblastí. Nárůst intenzit v páteční odpoledne směrem do rekreačních oblastí a v neděli směrem z rekreačních oblastí.	> 1,20

Použití nedělního faktoru není univerzální a je omezeno pouze komunikacemi v blízkosti hraničních přechodu, velkých zdrojů a cílů se specifickým chováním. V ostatních případech je nutné buď zvážit charakter provozu (tyká se účelových komunikací) nebo použít speciální přepočtové koeficienty (např. komunikace v blízkosti obchodních středisek).

Pohyb jednotlivých vozidel, ze kterých se sestávají dopravní proudy, v průběhu dne má různý charakter. Ráno lidí dojíždějí do zaměstnání, do škol atp. Zde se začíná ranní dopravní špička, která přetrvává několik hodin a dosahuje svého maxima kolem osmé hodiny ranní. Následně nastává mírný pokles, a který se kolem poledne změní na nárůst, kde postupně dostává do odpolední špičky.

Z výše uvedených faktorů vyplývá, že pro stanovení přesné hodnoty intenzity dopravy je nutné provádět průzkumy nepřetržitě během určité sledované časové doby. Jelikož není to ve většině případů možné (je omezeno především lidskými zdroji), je zapotřebí hodnoty získané z kratší doby měření spočítat odhady intenzit, které bohužel jsou zatížené chybami a jejich přesnost je ovlivněná dobou průzkumu a charakterem provozu na komunikaci.

Doba průzkumu ovlivňuje výsledné hodnoty podle toho, kolik měření časově trvalo. Čím déle trval průzkum, tím přesnější hodnotu odhadu lze obdržet ve výsledku. Přesnost je závislá na podílu naměřené hodnoty intenzity dopravy za dané období z celkové intenzity dopravy.

Pokud charakter provozu na měřeném úseku komunikaci je více podoben charakteristickým průběhům intenzit na dané kategorii komunikaci - přesnost odhadu je vyšší.

Předpis ministerstva dopravy Technické podmínky č. 189 od 6. června 2012 stanoví vztah, podle kterého lze spočítat hodnotu odchylky:

$$\delta = 0,95 \cdot \left(\frac{I_m}{RPDI} \cdot 100 \right)^{-0,60}, \quad (3)$$

kde: δ odchylka odhadu ročního průměru denních intenzit [%]
 I_m intenzita doprava v době průzkumu [voz/doba průzkumu]
 $RPDI$ odhad ročního průměru denních intenzit dopravy

Dosáhnout nižších hodnot odchylek při vypočtu odhadu a tím i získat lepší výsledek lze pomocí několika způsobů [2], které se spočívají především ve zkvalitňování vzorku získaného měřením:

- opakování měření se změnou nejenom dne v týdnu, ale i časové doby, během které probíhá průzkum. Přičemž se musí volit přibližně podobné dny, tj. v případě pracovních

dnů se doporučuje volit další pracovní den, ale nikoliv den víkendový. Aplikace daného způsobu umožňuje získat během několikadenního měření přesnosti kolem 6%,

- volba vhodnější doby měření s největší intenzitou z hlediska podílu naměřené hodnoty na odhadu RPDI,
- pomocí dlouhodobého sledování zjistit průběh změn intenzit během týdnu a roku.

2.1.1.2 Hustota

Hustota je dalším důležitým parametrem charakteristiky dopravního proudu. Je definována jako počet vozidel na jednotku délky [voz/km] nebo jako počet vozidel na jednotku délky v jednom pruhu [voz/km/pruh]. Získávání hodnot hustoty přímo z dopravního proudu je obtížně realizovatelné pomocí běžně používaných přístupů a detektorů. Ale jelikož je důležitým parametrem pro zkoumání kongescí, obvykle se vypočítává z vedlejších veličin, jako např. převrácená hodnota délkového rozestupu mezi čely vozidel:

$$D = \frac{1000}{d_a} \quad (4)$$

kde: D - hustota, [voz/km]

d_a - střední délkový rozestup, [m]

Jednou ze základních vlastností hustoty je její klesající závislost na rychlosti. Hustota klesá se zvětšující se rychlosti. Je to dáno dodržováním bezpečné vzdáleností mezi vozidly. Pokud budeme vycházet z doporučeného dvouvojetřinového rozestupu na jednopruhovém komunikaci o délce jeden kilometr, a uvažování délky osobního vozidla v průměru 4,72 m [3], získáme hodnoty obsazené v tabulce Tabulka 2

Tabulka 2. Ukázka klesající závislosti hustoty na rychlosti

Rychlost [km/h]	Bezpečná vzdálenost [m]	Hustota [voz/km]
50	27,78	36,00
90	50,00	20,00
130	72,22	13,85

2.1.1.3 Rychlost

S pojmem rychlost se setkáváme ještě před základním kurzem fyziky a postupně, čím dál jdeme do hloubky daného děje, tím více se to stává zajímavější. Obecně rychlost popisuje ujetou vzdálenost za určitou časovou jednotku:

$$v_p = \frac{r(t_1) - r(t_2)}{t_1 - t_2} = \frac{s}{t} \quad (5)$$

kde: s dráha [m]
 $r(t)$ poloha v čase t [m]
 t čas [s]

Vztah (5) platí především pro rychlost průměrnou. K okamžité rychlosti se dostaneme pomocí limity, kde čas t_2 bude se blížit k času t_1 :

$$v = \lim_{t_1 \rightarrow t_2} \frac{r(t_1) - r(t_2)}{t_1 - t_2} = \frac{dr(t)}{dt} = \frac{ds}{dt} \quad (6)$$

Při zkoumání rychlostí v dopravě můžeme zkoumat průměrnou rychlost jednotlivých vozidel projíždějících určitým úsekem a okamžitou rychlost v definovaném místě – to patří k charakteristice mikroskopické. V makroskopickém měřítku zkoumáme především rychlost a cestovní časy na delších úsecích nebo statistickou analýzu mezi skupinami vozidel.

Rychlosti jednotlivých vozidel jsou ovlivněny různými faktory. A to nejenom, například, výkonem vozidla na jednotku hmotnosti, ale i parametry vozovky: stoupaní, poloměry oblouku atd. Všechny dílčí parametry způsobují to, že rychlost každého vozidla je individuální.

Existují dva přístupy, kterými lze měřit průměrnou rychlost. Pokud budeme zaznamenávat okamžité rychlosti jednotlivých vozidel v určitém místě a spočítáme jich průměr – získáme tzv. průměrnou okamžitou rychlost (time-mean speed) a odpovídá jí následující vztah:

$$v_{PO} = \frac{\sum_{i=1}^n v_i}{n} \quad (7)$$

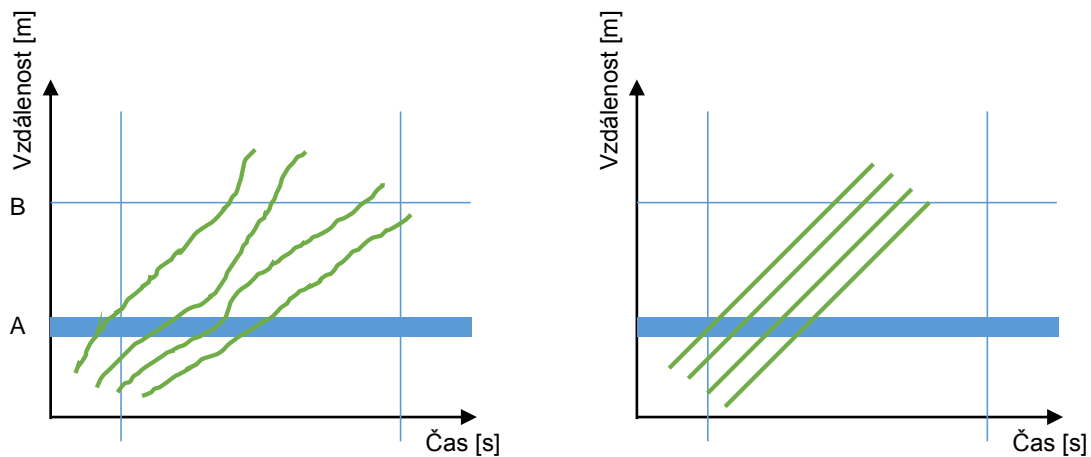
kde: v_i rychlosti jednotlivých vozidel [m/s] nebo [km/h]
 n počet záznamu (součet vozidel) [–]

Dalším způsobem, kterým lze spočítat rychlost je zaznamenávání cestovních dob každého vozidla na určitém úseku. Rychlost jednotlivých vozidel získáme pomocí převrácené hodnoty příslušné cestovní doby. Pro průměrnou úsekovou rychlost (space-mean speed) platí vztah:

$$v_{PU} = \frac{d}{\sum_{i=1}^n \frac{t_i}{n}} \quad (8)$$

kde: d délka úseku [m]
 t_i cestovní čas vozidla i [s]
 n počet záznamu (součet vozidel) [–]

I kdyby na první pohled mohlo připadat, že výsledné hodnoty budou stejné, ale podobnost může být klamavá. Rozdíl je podoben rozlišení mezi rychlostí úsekovou a rychlostí okamžitou. Okamžitá rychlost může být ovlivněna mnoha faktory: předjíždění, dokončování manévru, stoupání nebo klesání vozovky a platí pro ni vztah (6) tj. na časoprostorovém diagramu, pokud průjezd bude zaznamenáván v bodě A, bude zobrazena jako tečná ke křivce příslušného vozidla. Ale úseková rychlost mezi body A a B může mít jinou směrnici, než tečná okamžité rychlosti (viz Obrázek 1).



Obrázek 1. Grafy znázorňující rozdíl mezi průměrnou okamžitou rychlostí (vlevo) a průměrnou úsekovou rychlostí (vpravo)

Zdroj: [4]

Samozřejmě existují i vztahy pro převody mezi průměrnou úsekovou a průměrnou okamžitou rychlostmi. Pro poslední platí:

$$v_{PO} = v_{PU} + \frac{\sigma_{v_{PU}}^2}{v_{PU}} \quad (9)$$

kde: $\sigma_{v_{PU}}^2$ rozptyl hodnot průměrné úsekové rychlosti

Obdobný vztah existuje i pro průměrnou úsekovou rychlost:

$$v_{PU} = v_{PO} - \frac{\sigma_{v_{PO}}^2}{v_{PO}} \quad (10)$$

kde: $\sigma_{v_{PO}}^2$ rozptyl hodnot průměrné okamžité rychlosti

Rychlost je jedná z klíčových charakteristik, dle kterých se posuzuje kvalita dopravy, jelikož umožňuje nejenom odhalení kongesci, ale i určování LOS. [5] [6]

Dále nejčastěji používanými pojmy v analýze dopravních proudů jsou:

- Rychlost neovlivněného dopravního proudu – je rychlost, při které vzájemné ovlivňování vozidel je minimalizováno, a chování řidičů není omezeno dopravní situací.
- Provozní rychlost – rychlost, kterou se pohybuje dopravní proud v běžných podmínkách. S klesající hodnotou intenzity její hodnota se přibližuje rychlosti neovlivněného dopravního proudu.
- Návrhová rychlost – rychlost, pro kterou byla navržena pozemní komunikace.

2.1.2 Měření charakteristik dopravních proudů

Obecně způsobů, kterými lze získávat data je velké množství. Výběr druhu přístupu závisí na mnoha faktorech: jak na výsledných hodnotách, jíž je nutné získat, tak i samozřejmě na dostupných nástrojích. Podle jednoho z klíčových zdrojů [7], odkud jsem čerpal informace, průzkumy lze rozdělit do následujících kategorií:

- Vyhledávání v dokumentech – daný postup je jasný víceméně z názvu. Jedná se o dohledávání potřebných informací v existujících zdrojích. U nás se může jednat, například, o statistiky z celostátního sčítání dopravy.
- Pozorovací průzkumy – do dané skupiny patří většina průzkumů týkající se dopravy. Pozorovatel zaznamenává výskyt určitého děje a následně zpracovává získaná data.
- Průzkumy pro samostatné vyplňování – jedná se především o průzkumy na internetu nebo například o sčítání lidu domů a bytů. Respondent vyplňuje dotazník samostatně bez nutnosti přímého zásahu pozorovatele do procesu vyplňování dotazníku.
- Telefonické průzkumy
- Dotazování v terénu
- Dotazování v domácnostech
- Skupinové průzkumy
- Hlubkové průzkumy

Pro účely získávání charakteristik dopravního proudu, jediný možný přístup je průzkum pozorovací tj. v drtivě většině případů je zapotřebí sledovat pohyb jednotlivých vozidel na komunikaci. Buď to počítat průjezdy vozidel ručně, nebo pomocí detektorů. Ale všechny právě popsané metody umožňují získávání dat bez ovlivnění pohybu dopravního proudu. Je to tzv. „*in-situ*“ způsob. Dále lze právě popsaný způsob měření rozdělit do dvou kategorií

- Intruzivní: k intruzivním měřením patří v první řadě detektory, které je zapotřebí zabudovat nebo připevnit k vozovce. Může se jednat, například o:
 - Pneumatické detektory
 - Piezoelektrické detektory
 - Magnetické detektory
 - Indukční smyčky.
- Neintruzivní: jak lze usoudit předchozích definic, neintruzivní měření nezasahují do vozovky a jsou založené na principu vzdáleného pozorování. Patří sem následující způsoby:
 - Ruční sčítání
 - Pasivní a aktivní infračervené detektory
 - Mikrovlnné radary
 - Ultrazvukové a pasivní detektory hluku
 - Videodetekce
 - Kombinovaná měření

Porovnání jednotlivých druhů detektorů a možnosti použití pro měření různých parametrů jsou uvedeny v tabulce Tabulka 3. [8]

Tabulka 3. Porovnání jednotlivých druhů detektorů a možnosti použití pro měření různých parametrů

	Druh detektoru	Intenzita	Rychlost	Klasifikace	Obsazenost	Přítomnost
Intruzivní	Indukční smyčka	Ano	Omezeně	Omezeně	Ano	Ano
	Magnetický	Ano	Omezeně	Omezeně	Ano	Ano
	Pneumatický	Ano	Ano	Ano	Ne	Ne
Neintruzivní	Aktivní IR	Ano	Ano	Ano	Ne	Ne
	Pasivní IR	Ano	Omezeně	Ano	Ano	Ano
	Mikrovlnný Dopplerův	Ano	Ano	Ano	Ano	Ano
	Ultrazvukový	Ano	Ne	Ne	Ne	Ano
	Pasivní akustický	Ano	Ano	Ano	Ano	Ano
	Videodetekce	Ano	Ano	Ano	Ano	Ano

Ale ne všechny přístupy jsou založeny na principu nezávislého pozorovatele. V poslední době, především kvůli nasazení monitorovacích systémů do vozidel, často se používají plovoucí vozidla pro měření charakteristik dopravního proudu.

Výše uvedené hodnoty lze měřit a používat pro různé účely. Bohužel ne vždy je možné používat nějaké elektronické pomůcky, nástroje a detektory. V některých případech nasazování detektoru může být velmi nákladné především, pokud není nutné měřit hodnoty stále.

Různých druhů dopravních průzkumů je velmi velké množství a v závislosti na požadovaném výsledku lze vymyslet nové druhy. Žádné normy týkající se dané problematiky jsem nenašel, a proto uvedu běžně používané průzkumy:

- Průzkum intenzity dopravního proudu: nejčastěji používaný druh průzkumu, který, jak je patrné z názvu, spočívá v měření počtu vozidel projíždějících určitým profilem komunikace anebo se sčítají intenzity určité křižovatky. Výsledky se používají v podobě vstupních hodnot pro navrhování a plánování pozemních komunikací, řízení uzlu a linie atd.
- Průzkum rychlosti: rychlostní charakteristiky jsou těsně vázané s bezpečností na komunikacích a nehodovostí.
- Průzkum cestovních dob: cestovní doby jsou významnou hodnotou pro měření kvality dopravy a často se používá pro poskytování informací o stavu provozu řidičům.
- Průzkum zdržení: zdržení je podobné cestovní době a má stejný účel. Navíc zdržení je zapotřebí při plánování řízení dopravy.
- Průzkum hustoty dopravního proudu: jak bylo zmíněno v kapitole 2.1.1.2, hustota se měří obtížně a drtivá většina detektorů zaznamenává vlastní obsazenost a dopočítává hodnotu hustoty.
- Průzkum parkování: zjišťuje se poptávka po parkování v určité lokalitě a to jak z hlediska skladby vozidel, času, účelu atd.
- Průzkum dopravních konfliktů a nehod: jelikož každé nehodě předchází dopravní konflikt, daný druh průzkumu je velmi důležitý pro odhalení problematických úseků a zkoumání chování řidičů.
- Směrový průzkum: zjišťování zdrojů, cílů a směru pohybu dopravních proudů. Nejčastěji provádí se pomocí dotazování nebo záznamu SPZ.
- Průzkum chodců: lze zjistit chování, rychlost, intenzity.

2.2 Požadavky na software

Jelikož ve své bakalářské práci jsem se zabýval obdobným tématem, požadavky na aplikaci budou vyplývat z mé předchozí práce. V první řadě jsem se soustředil na průzkumy manuální,

jelikož vyžadují maximální přizpůsobivost a pomocí papírových formulářů lze zaznamenávat jakékoliv události. Problém může nastat jedině u získávání dat o rychlosti vozidel, protože bez detektoru jednoduše zjistit daný parametr nelze, protože je zapotřebí zaznamenávat cestovní časy a za velkých intenzit je to velmi obtížné. Taktéž musím poznamenat časovou náročnost ručních měření: vyžadují nejenom stálou přítomnost v měřicím bodě, velkou pozornost při zaznamenávání, ale i přibližně stejné množství času je nutné věnovat přepisu dat.

2.2.1 Požadavky z hlediska uživatele

Celkově software musí usnadňovat samotné průzkumy, jinak nevidím smysl nahrazovat spolehlivé papírové záznamy jakýmkoliv stejně náročným nebo složitějším způsobem. Jednu důležitou věc, kterou může poskytnout použití softwarové aplikace je možnost odstranit časově náročný přepis dat do elektronické podoby. Takže jedním z nejdůležitějších požadavků rozhodně musí být možnost exportu dat do počítače. A to nevhledě na druh průzkumu, jelikož považuji daný bod za zásadní.

Výsledky průzkumů jsou z větší části ovlivněny lidskou chybou. Co se týče manuálních záznamu, člověk může špatně rozlišit druh vozidla, čas nebo nechtěně označit průjezd a musí být jemu umožněna následující editace dat. Na papíru je to poměrně jednoduché, vždy je možné chybné údaje zaškrtnout a opravit. Při použití elektronických zařízení s tím mohou vznikat komplikace, ale každopádně považuji možnost editace naměřených dat za nutnou.

Průzkumy s manuálními záznamy není možné provádět pomocí detektorů, a proto pokládám za nutné minimalizovat vliv lidského faktoru. V první řadě je zapotřebí bezpečně ukládat a zálohovat data, aby i při nechtěném vypnutí zařízení naměřené hodnoty byly zálohovány, a nedošlo ke ztrátě uživatelských dat. Jeden z problémů, který pravděpodobně nastane, je výpočetní náročnost stálého zálohování, a proto předpokládám realizaci po určité časové době.

Jedním z dalších zdrojů nepřesnosti, který významně ovlivňuje výsledky je čas. Technické podmínky 189 definují [2] měření intenzit v časových intervalech ale, například z vlastních zkušeností vím, jak složité je synchronizovat hodiny mezi jednotlivými stanovišti a kolik problému způsobí jenom půlminutový rozdíl. Současné technologie poskytují velmi velké množství možností pro vyřešení problému jak s nastavením, tak i se synchronizací času. A je to dalším požadavkem na aplikaci.

2.2.2 Požadavky z hlediska organizátora

Dále bych soustředil na samotný průběh průzkumů. Pokud hlavním cílem je nahrazení papírových záznamu, v první řadě je nutné se soustředit na odpovídající podobu formulářů a zjistit si co nám poskytují.

Dle doporučení TP189 při sledování intenzit vozidla lze rozdělit [2] do následujících kategorií:

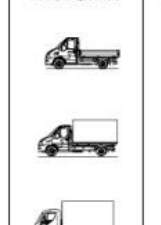
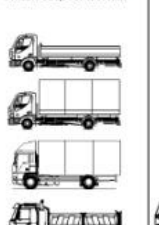
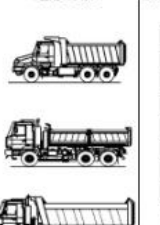

- O osobní automobily – bez přívěsů i s přívěsy, dodávkové automobily,
- M motocykly – jednostopá motorová vozidla bez přívěsů i s přívěsy,
- N nákladní automobily – lehké, střední a těžké nákladní automobily, traktory, speciální nákladní automobily,
- A autobusy – vozidla určená pro přepravu osob a jejich zavazadel, která mají víc než 9 míst (včetně kloubových autobusů a autobusů s přívěsy),
- K nákladní soupravy – přívěsové a návěsové soupravy nákladních vozidel.

Celkově pět kategorií, ale ještě jednou bych upozornil, že se jedná jenom o doporučení a jak rozdělení, tak, i vzhled formulářů se může lišit dle situace a požadovaných výsledků (například z mého hlediska v rozdělení chybí jednostopá vozidla a cyklisté). Právě je to názorně vidět na jednom z formulářů, který se používal před pěti lety během celostátního sčítání dopravy (viz Obrázek 2).

SČÍTACÍ LIST

Kontakt na HOTLINE: +420 725 337 747

Sčítáno dne (č. dne): _____ () Číslo úseku: _____

NÁKLADNÍ AUTOMOBILY o nosnosti					OSOBNÍ AUTOMOBILY: g. osobní automobily, mopedy, lehké dodávky (pick-up), mikrobusy, sanitky, osobní vozidla se zavazadlovým prostorem (kombi), motocykly s postranním vozíkem a osobní automobily s přívěsem atd. LEHKÉ NÁKLADNÍ AUTOMOBILY: g. o nosnosti do 3,5 t včetně např. Ford Transit, Fiat Ducato, Daewoo-Avia fady D60, Iveco fady Daily 60, Avia 10, Avia 30 atd. STŘEDNÍ NÁKLADNÍ AUTOMOBILY: g. o nosnosti od 3,5 t do 10 t včetně např. Iveco Eurocargo Tractor, Tatra 810-D2E, vazy Liac, Iveco Daily 60 a vyšší, Daewoo-Avia fady D7E atd. TĚŽKÉ NÁKLADNÍ AUTOMOBILY: g. o nosnosti nad 10 t např. Tatra, Mercedes, MAN, DAF, Volvo atd. NÁVĚSOVÉ SOUPRAVY - s tahací Mercedes, MAN, Volvo, Liac, DAF, Scania atd. Poznámka: _____ Prohlašuji, že jsem veškeré údaje uvedl(-a) správně: _____ jméno a podpis sčítatele _____ kontrolní orgán _____	
LEHKÉ do 3,5 t včetně	STŘEDNÍ od 3,5 t do 10 t včetně	TĚŽKÉ nad 10 t	NÁVĚSOVÉ SOUPRAVY			
				Číslo silnice: _____		
				Směr 1: _____		
				Směr 2: _____		
				Stanoviště sčítáče: _____		
				ORP: _____		
				Okres: _____		
				Kraj: _____		
				List: _____ / _____		
Sčítáno od _____ do _____						
Sčítáno od _____ do _____						

Obrázek 2. Vzor sčítacího listu

Zdroj: [9]

Na vzoru sčítacího listu lze nalézt celkové 9 kategorií, přičemž některé z nich, jako například střední a těžké nákladní vozidla rozděleny do dílčích podle přítomnosti přívěsu. Podobný

formulář bych požadoval za univerzální, protože pokrývá velkou část vozidel, s výjimkou tramvají). Dále uvedu kategorie z výše uvedeného formuláře:

- Nákladní automobily o nosnosti:
 - Lehké do 3,5t včetně
 - Střední od 3,5 t do 10 t včetně
 - Bez přívěsu
 - S přívěsem
 - Těžké nad 10 t
 - Bez přívěsu
 - S přívěsem
 - Návěsové soupravy
- Autobusy a trolejbusy
 - Solo
 - Kloubové
- Traktory
 - S přívěsem
 - Bez přívěsu
- Osobní automobily
- Moto
- Cyklisti

Dohromady je to 13 různých druhů, které ale stále nepokrývají celou škálu vozidel vyskytujících se na silnicích. Chybí zde, jak bylo zmíněno, tramvaje, které jsou nezbytnými účastníky silničního provozu ve větších městech. A podle požadavků objednatele průzkumu může být zapotřebí rozlišovat tramvaje dle počtu vagonu nebo přidat i další kategorií události.

Podle všeho lze usoudit, že není možné realizovat jednotný druh formulářů, který by pokrýval všechny potřebné pro zaznamenávání účastníky provozu. Proto není možné jednoznačně stanovit požadavek např. na kategorií vozidel a pro každý průzkum je nutné rozhraní přizpůsobovat a přednastavit několik základních šablon pro nejčastěji probíhající průzkumy.

Lidská povaha je velmi zajímavá a často lidé chtějí podvádět nebo vyhybat se odpovědností a je to vidět nejenom u studentů. Dopravní průzkumy často se probíhají v podobě brigád a je to dalším faktorem, proč lidé mohou být nezodpovědní během zápisu dat: správnost záznamů je těžce kontrolovatelná. V případě že bude existovat možnost jakéhokoliv dohledu nebo kontroly jak průběhu měření, tak i samotných výsledků – určitě podobnou funkci je nutné implementovat. Přičemž je zapotřebí zachovat možnost opravovat chyby v naměřených datech a zároveň zabránit jakémukoliv nahrazování nebo padělání výsledků měření.

2.3 Shrnutí

Po analýze a prozkoumání způsobu měření charakteristik dopravního proudu, různých druhů průzkumů, vzhledu papírových záznamů a potřeb uživatelů, požadavky lze shrnout do následujících bodů:

- aplikace musí nahradit papírové záznamy,
- je nutné vynechat přepis dat ze záznamového přístroje do elektronické podoby,
- uložená data musí mít přehlednou strukturu,
- musí být realizováno alespoň jedno univerzální rozhraní pro průzkumy intenzit,
- jestli se podaří, implementovat možnost přizpůsobení rozhraní,
- data musí být zabezpečena a zálohovaná,
- uživatelům musí být umožněno opravovat chybné záznamy,
- zaznamenávání polohy stanoviště je vhodné pro kontrolu průzkumu organizátorem.
- synchronizace času umožní dosáhnout přesnějších výsledků.

Dálo by rozepisovat a vymýšlet i další požadavky na software, které musí být realizovány, ale ostatní funkce raději implementují v budoucích verzích aplikace po ověření návrhu.

3 Zabezpečení a ukládání dat

S průběhem průzkumů je to víceméně jasné a popsáno v předchozích kapitolách. Zbývá vyřešit to, jakým způsobem a v jaké podobě data budou ukládány. Zaznamenávání do papírových formulářů je jednoduché a spolehlivé až na to, že samotný papír lze ztratit a navíc mohou dělat komplikace přeháňky. Ale ztratit naměřené hodnoty není nejlepší variantou - v takovém případě celý průzkum by byl jenom zbytečnou ztrátou času. V elektronických zařízeních a softwaru celostnost dat je také nutné vyřešit a nejlépe se zálohováním. Z předchozí také kapitoly vyplývá, že je nutné data chránit nejenom proti ztrátě, ale i proti záměrnému poškození uživatelem.

Dále bude provedena analýza různých možností ukládání souboru z hlediska jejich formátování, přehlednosti a podporou běžně využívaného softwaru pro zpracování dat z dopravních průzkumů. Následně je vyložena informace o zálohování, ztrátách dat a o tom, jakými způsoby můžeme jím odolávat.

3.1 Druhy souborů

Pokud se jedná o software pro mobilní zařízení, nezbyvá nic jiného, než ukládat data do souborů. Nevidím žádný důvod k vytváření vlastních formátů souborů nebo ke komprimaci dat – je to časově náročné a nebude využito v plné míře. Současná zařízení poskytují dostatek paměti, která umožní neodstraňovat ani zastaralá data.

Mnohem důležitější je volba správné syntaxe pro ukládání nebo struktura souboru. Obsah souboru bude textový, ale jako, například, v případě HTML, data budou uloženy v souladu s určitou specifikací. Proto jsem vybral pro daný účel jazyk XML. Dále shrnu nutný minimum, které by mělo vystačit pro porozumění syntaxi uložených souborů.

3.1.1 Základy jazyka XML

XML (eXtensible Markup Language) – rozšiřitelný značkovací jazyk, který byl vyvinut a standardizován konsorciem W3C jako doporučený značkovací jazyk. XML byl navržen jako jazyk s jednoduchou formální syntaxí a je vhodný jak pro tvorbu a zpracování souborů počítačovými programy, tak i uživatelsky příjemný pro čtení a vytváření dokumentů člověkem. Je rozšiřitelný z hlediska možnosti definování vývojářem vlastní struktury dle požadavků konkrétní aplikace, např. Google používá jazyk XML v souborech typu KML pro ukládání dat na mapových podkladech. A taktéž díky založení na kódování UTF-8 se rozšířil do různých oblastí. [10]

XML dokument má dvě struktury: fyzickou a logickou.

Z hlediska fyzické struktury dokument je sestaven z entit, přičemž každá z nich může odkazovat na další entity. Entitou nazýváme nejmenší část dokumentu. Každá entita má obsah a vlastní název. Obsahem entity jsou symboly a dělí se na dva druhy: znaková data a značky. Ke značkám patří: elementy a atributy.

Logická struktura je sestavená ze dvou částí: prologu a kořenového elementu. Každý XML dokument musí obsahovat kořenový element, který může, ale nemusí mít vložené elementy, znaková data a komentáře. Náplní prologu mohou být deklarace, instrukce a komentáře. Začínat se musí deklarací XML, ale v některých případech není to povinné.

Je důležité dbát na správné vkládání elementů, protože libovolný element začínající se uvnitř jiného elementu, musí být uzavřen v tom elementu, ve kterém se objevil. Výjimku tvoří jenom kořenový element.

3.1.1.1 Značkovací symboly

Pro značkování se používají tři základní symboly:

- špičatá závorka otevírací „<“ - používá se pro označování začátku značky,
- špičatá závorka uzavírací „>“ - používá se pro označování konce značky,
- ampersand „&“ – umožňuje nahrazování textu pomocí entit.

Aby bylo možné jednoznačně rozpoznat strukturu dokumentu, tři výše uvedených symboly nemohou být použity uvnitř obsahu znakových dat, stejně jako i uvozovky. Místo něj se používají tzv. znakové entity, které nahrazují symboly dle následující tabulky:

Tabulka 4. Přirazení symbolům příslušných entit

Symbol	Entita
<	<
>	>
&	&
'	'
“	"

3.1.1.2 Prolog

Podle specifikace XML, dokument musí se začínat deklarací verze jazyka, ve kterém je napsán. Je to dáno odlišnou strukturou pro různé verze jazyka. Pokud deklarace bude chybět, bude považovaná, že dokument je napsaný v jazyce verze 1.0 protože v první verzi deklarace nebyla povinná. Taktéž deklarace může obsahovat informaci o kódování a propojitelnosti s vnějším souborem definice typu dokumentu. Příklad:

```
<?xml version="1.1" encoding="UTF-8" ?>
```

Zdrojový kód 1. Příklad jednoduché definice prologu

nebo:

```
<?xml version="1.0" encoding="UTF-8" standalone="no" ?>
```

Zdrojový kód 2. Příklad definice prologu s připojením vnějšího DTD souboru

Ve druhém příkladu atribut „standalone“ odpovídá právě za připojení souboru DTD zevnějšku. Výchozí hodnota je „no“.

Dále následuje deklarace typu dokumentu pomocí instrukce „!DOCTYPE“, která umožňuje pomocí jazyka DTD definovat elementy, atributy, entity aj., které mohou být použity v souboru.

```
<?xml version="1.0" encoding="UTF-8" ?>
```

```
<!DOCTYPE typ_dokumentu [  
  <!ELEMENT pozdrav (#PCDATA) >  
]>  
<pozdrav>Hello, world!</pozdrav>
```

Zdrojový kód 3. Příklad deklarace typu dokumentu

Anebo pokud budeme chtít načíst DTD dokument z vnějšího souboru, lze druhý až čtvrtý řádek nahradit následujícím obsahem:

```
<!DOCTYPE typ_dokumentu SYSTEM "hello.dtd">
```

Zdrojový kód 4. Příklad deklarace typu souboru s odkazem na soubor DTD obsahující definici struktury XML

kde v souboru „hello.dtd“ bude definovaná značka <pozdrav> stejně, jako kdyby DTD bylo součástí souboru XML.

Komentáře jsou umístěny mezi posloupnostmi symbolu „<!--“ a „-->“. Komentář nesmí obsahovat dvě po sobě jdoucí pomlčky.

```
<!-- je to komentář -->
```

Zdrojový kód 5. Příklad komentáře

3.1.1.3 Elementy

Každý neprázdný dokument v jazyce XML musí obsahovat minimálně jeden element. Elementy patří k logické struktuře dokumentu a jsou ohraničeny tagy – počátečním a ukončovacím, které obsahují stejný název elementu. Pro elementy s prázdným obsahem lze použít tzv. prázdný tag. Příklady použití všech třech typů tagů:

```
<element>  
    Element ohraničený počátečním a ukončovacím tágy  
</element>  
<prazdny_element/>
```

Zdrojový kód 6. Příklad použití třech typů tagů

kde: <element> - je počáteční tag,
 </element> - je ukončovací tag,
 <prazdny_element/> - prázdný tag

3.1.1.4 Kořenový element

Elementy do sebe mohou být navzájem vnořené, aby odpovídaly struktuře informací v dokumentu. Jedinou podmínkou je přítomnost tzv. kořenového elementu, který všechny dílčí elementy má zabalené uvnitř. V následujícím příkladu kořenovým elementem je element s názvem „korenovy_element“:

```
<?xml version="1.1" encoding="UTF-8" ?>  
<korenovy_element>  
    <element1>Obsah prvního elementu</element1>  
    <element2>Obsah druhého elementu</element2>  
    <element3>Obsah třetího elementu</element3>  
    <element4>Obsah čtvrtého elementu</element4>  
</korenovy_element>
```

Zdrojový kód 7. Příklad souboru XML s ukázkou kořenového elementu

3.1.1.5 Atributy

K upřesnění významu elementu lze použít atributy, které jsou umístěny uvnitř počátečního tagu. Atribut nemusí být jeden, dovoluje se použití více atributu pro jeden element. Jenom vždy je zapotřebí uvést atribut i v definici struktury.

```
<element atribut1="hodnota prvního atributu" atribut2="hodnota druhého  
atributu">  
    Obsah elementu s atributy  
</element>
```

Zdrojový kód 8. Příklad elementu s atributy

3.1.2 Porovnání s ostatními formáty

Existují i další jazyky pro přehledné formátování dat v souborech. Nejčastěji používané jsou: CSV, YAML a JSON. Dále každý z formátů bude stručně popsán a porovnán s formátem XML (viz Zdrojový kód 9). Příklady jsou založeny na reálných hodnotách průzkumu intenzit, kde byly zaznamenány datum, čas a kategorie vozidla.

```

<?xml version="1.0" encoding="UTF-8"?>
<Průzkum>
  <Vlastnosti>
    <typ>intenzity</typ>
    <Lokalita>
      <souřadnice>50.126787, 14.506857</souřadnice>
      <ulice>Kbelská</ulice>
      <obec>Praha</obec>
    </Lokalita>
    <Začátek>
      <datum>2015-05-16</datum>
      <čas>10:30:00.000</čas>
      <pásmo>UTC+1</pásmo>
    </Začátek>
  </Vlastnosti>
  <Záznamy>
    <událost>
      <Vozidlo>Nákladní střední</Vozidlo>
      <Datum>2015-05-16</Datum>
      <Čas>10:45:6.987</Čas>
    </událost>
    <událost>
      <Vozidlo>Osobní</Vozidlo>
      <Datum>2015-05-16</Datum>
      <Čas>10:45:8.742</Čas>
    </událost>
    <událost>
      <Vozidlo>Osobní</Vozidlo>
      <Datum>2015-05-16</Datum>
      <Čas>10:45:9.132</Čas>
    </událost>
    <událost>
      <Vozidlo>Nákladní souprava</Vozidlo>
      <Datum>2015-05-16</Datum>
      <Čas>10:45:11.190</Čas>
    </událost>
    <událost>
      <Vozidlo>Osobní</Vozidlo>
      <Datum>2015-05-16</Datum>
      <Čas>10:45:14.115</Čas>
    </událost>
  </Záznamy>
</Průzkum>

```

Zdrojový kód 9. Příklad souboru XML obsahující záznamy z průzkumu intenzit

CSV (Comma-Separated Values , hodnoty oddělené čárkami) – textový formát určený pro ukládání tabulkových dat. Každý nový řádek v souboru odpovídá řádku v tabulce. Často pro zajištění kompatibility s některými jazyky, včetně češtiny, které používají čárku jako oddělovač desetinných míst pro zápis čísel, místo čárky se používá středník nebo tabulátor. Jednou z klíčových vlastností souboru CSV je zajištěná podpora tabulkovými procesory (např. nejčastěji používaný Microsoft Excel), jako i v případě s XML. Jak je vidět v příkladu, data jsou přehledně uložena, až na rozdílnou délku jednotlivých řádků. Nevýhodou je chybějící definice formátování a chybějící komentáře. Je nutné pro lepší porozumění struktuře zvlášť definovat

v jakém pořadí jsou data uložena. A v případě dopravního průzkumu je nepřehledné a složité ukládání statických počátečních dat, např. čas zahájení průzkumu, souřadnice, typ průzkumu atd. Výhodou je velmi nízká náročnost na paměťová media bez potřeby komprimace surových dat. [11]

```
Nákladní střední, 2015-05-16,10:45:6.987
Osobní,2015-05-16,10:45:8.742
Osobní,2015-05-16,10:45:9.132
Nákladní souprava,2015-05-16,10:45:11.190
Osobní,2015-05-16,10:45:14.115
```

Zdrojový kód 10. Příklad souboru CSV

YAML (YAML Ain't Markup Language, YAML není markovací jazyk) – formát pro zápis sériových dat, který je čitelný jak strojem, tak i člověkem. Hlavní výhodou je minimalismus, především v porovnání s XML. Zvláštností daného jazyka je chybějící podpora tabulátorů, které musí být nahrazeny mezerami. Bohužel nehledě na podporu velkým množstvím programovacích jazyků, není podporován tabulkovými procesory. A to považují za hlavní nevýhodu daného jazyka. Příklad použití, v porovnání s CSV, je rozšířen o vlastnosti průzkumu: [12]


```

---
Průzkum:
- Typ: intenzity
- Lokalita:
  - souřadnice: "50.126787, 14.506857"
  - ulice: Kbelská
  - obec: Praha
- Začátek:
  - datum: 2016-05-16
  - čas: 10:30:00
  - pásmo: UTC+1
Záznamy:
- Událost:
  - Vozidlo: Nákladní střední
  - Datum: 2015-05-16
  - Čas: 10:45:6.987
- Událost:
  - Vozidlo: Osobní
  - Datum: 2015-05-16
  - Čas: 10:45:8.742
- Událost:
  - Vozidlo: Osobní
  - Datum: 2015-05-16
  - Čas: 10:45:9.132
- Událost:
  - Vozidlo: Nákladní souprava
  - Datum: 2015-05-16
  - Čas: 10:45:11.190
- Událost:
  - Vozidlo: Osobní
  - Datum: 2015-05-16
  - Čas: 10:45:14.115
...

```

Zdrojový kód 11. Příklad zápisu pomocí jazyka YAML

JSON (JavaScript Object Notation, JavaScriptový objektový zápis) je textový formát pro zápis a přenos dat založený na jazyce JavaScript a používaný především tímto jazykem. Stejně jako i výše uvedené formáty je čitelný jak člověkem, tak i strojem. Pomocí JSON můžeme ukládat pole hodnot, objekty a jednotlivé hodnoty. Je jednoduchý, podporován různými programovacími jazyky a často se používá pro přenos dat mezi web-aplikacemi. Bohužel neumí komentáře, nemůžeme definovat znakovou sadu a v případě znaků zakódovaných do Unicode je nutné používat označování pomocí zpětného lomítka a kódu symbolu. [13]

```

{ "Pr\u016Fzkum" : [ { "Typ" : "intenzity" },
  { "Lokalita" : [ { "sou\u0159adnice" : "50.126787, 14.506857" },
    { "ulice" : "Kbelsk\u00E1" },
    { "obec" : "Praha" }
  ] },
  { "Za\u010D\u00E1tek" : [ { "datum" : "2016-05-16" },
    { "\u010Das" : "10:30:00.000" },
    { "p\u00E1smo" : "UTC+1" }
  ] }
],
"Z\u00E1znamy" : [ { "Ud\u00E9lost" : [ { "Vozidlo" : "N\u00E1kladn\u00E9  
st\u0159edn\u00E9" },
  { "Datum" : "2015-05-16" },
  { "\U010Das" : "10:45:06.987" }
] },
  { "Ud\u00E9lost" : [ { "Vozidlo" : "Osobn\u00E9" },
  { "Datum" : "2015-05-16" },
  { "\U010Das" : "10:45:08.742" }
] },
  { "Ud\u00E9lost" : [ { "Vozidlo" : "Osobn\u00E9" },
  { "Datum" : "2015-05-16" },
  { "\U010Das" : "10:45:09.132" }
] },
  { "Ud\u00E9lost" : [ { "Vozidlo" : "N\u00E1kladn\u00E9 souprava" },
  { "Datum" : "2015-05-16" },
  { "\U010Das" : "10:45:11.190" }
] },
  { "Ud\u00E9lost" : [ { "Vozidlo" : "Osobn\u00E9" },
  { "Datum" : "2015-05-16" },
  { "\U010Das" : "10:45:14.115" }
] }
]
}

```

Zdrojov\u00FD k\u00F3d 12. P\u0159\u00EDklad z\u00E1pisu pomoci jazyka JSON

Ze v\u0161ech v\u00FD\u0161euveden\u00FDch zp\u00F9sob\u016F dle m\u00E9ho n\u00E1zoru data jsou nejp\u0159ehledn\u011bj\u00ED zaps\u00E1na pomoci jazyku YAML, ale nen\u00ED podporov\u00E1n tabulkov\u00FDmi procesory. JSON m\u00E1 probl\u00E9my s k\u00F3dov\u00E1n\u00EDm, CSV nen\u00ED a\u017E tak p\u0159\u00EDp\u016Fsobiv\u00FD, jak bych o\u010Dek\u00E1val. Proto pokl\u00E1d\u00E1m za jedinou rozumnou variantu pou\u017Eit\u00ED jazyku XML pro ukl\u00E1d\u00E1n\u00ED dat. V n\u00E1sleduj\u00EDc\u00ED tabulce je shrnut\u00E1 cel\u00E1 podkapitola a hodnoty jsou p\u0159evzaty z v\u00FD\u0161euveden\u00FDch p\u0159\u00EDklad\u016F:

Tabulka 5. Porovnání způsobů formátování

Jazyk/formát	Celkový počet symbolů	Užitečný počet symbolů	Podpora Microsoft Excel
XML	1266	254	Ano
CSV ¹	188	156	Ano
YAML	724	254	Ne
JSON	1530	254	Ne

3.2 Zálohování

Zálohování samozřejmě patří k nejdůležitějším funkcím aplikace. O naměřená data nechceme přijít a člověk dělá chyby mnohem častěji, což může způsobit náhodné mazání nebo ztrátu dat. Hlavním cílem zálohování je vytváření kopie dat s možností jejich následného obnovení v případě ztráty původních a to z libovolných důvodů. Pro ukládání záloh běžně jsou používány externí media, ale v poslední době, díky rozšíření cloudových služeb, stále častěji data jsou uloženy na vzdálených serverech.

3.2.1 Přístupy k zálohování

Plná záloha (Full backup) obvykle se týká celého systému a zálohuje všechny soubory v určitých časových intervalech. Ve firemních podmínkách zálohování probíhá o víkendu, aby nezatěžovalo jednotlivé prvky v pracovní dny. V ostatní dny v týdnu zálohy se vytvářejí inkrementálně nebo diferenciálně.

Inkrementální záloha (Incremental backup) provádí kopírování pouze souborů, které byly po poslední plné nebo inkrementální záloze změněny. A proto vždy první inkrementální záloze musí předcházet záloha plná. Samotné zálohování v průměru trvá méně času, protože kopírovaných souborů je málo, ale obnovení je časově náročné kvůli nutnosti obnovit data z poslední plné zálohy a ze všech následujících inkrementálních záloh.

Diferenciální záloha (Differential backup): na rozdíl od inkrementálního zálohování, zálohování diferenciální pokaždé kopíruje všechny změněné soubory po plné záloze a tím zrychluje obnovení dat, ale klade vyšší nároky na velikost záznamových medií.

Nepřetržitá ochrana dat (Continuous data protection) neprobíhá podle plánu, jak tomu je v předchozích případech, ale neprodleně zaznamená každou změnu v systému. Kopírování neprobíhá podle souborů, ale po bytech nebo v blocích dat. [14]

¹ Není zahrnuta informace o typu průzkumu, lokalitě a začátku měření.

3.2.2 Záznamová media

Magnetická páska je jeden z nejstarších a dodnes je velmi rozšířený medium pro ukládání záloh díky příznivému poměru kapacita/cena, ale v současné době rozdíl v ceně mezi pevnými disky a magnetickými pásky je rok od roku menší a menší.

Diskety byly v 80. a 90. letech XX. století nejrozšířenějším osobním přenosným mediem pro ukládání informací. Nízká kapacita, nespolehlivost disket a cenová dostupnost NAND způsobila zánik daného záznamového media.

Optické disky přišly jako nástupci po disketách. První generace měly kapacitu kolem 0.7 – 0.9 GB, poslední čtvrtá generace nabízí kapacitu až několik terabajtů. [15] Používá se především pro ukládání multimediálních souborů, ale v posledních letech zájem uživatelů o optická media výrazně klesl.

Pevné disky jsou stále častěji používány pro ukládání záloh. Nabízí možnost bezproblémového nahrazování starých záloh novými. Zálohování může probíhat jak lokálně, tak i síťově. Pro zlepšení bezpečnosti dat pevné disky mohou být zapojeny do diskových polí tzv. RAID (Redundant Array of Inexpensive/Independent Disks – vícenásobné diskové pole laciných/nezávislých disků). [16]

Solid-state media zahrnují jak paměťové karty, USB flash disky ale také SSD disky, které v posledních letech jsou používány v počítačích. Nabízí vysoké rychlosti čtení a zápisu na úkor ceně za jednotku paměti. Ale díky malým velikostem zastávají velkou část trhu přenosových medií.

Vzdálené služby zažívají ke dnešnímu dni velký pokrok. Poskytovatelé internetu nabízí vysokorychlostní připojení za příznivé ceny a je to jeden z důvodů, proč běžné uživatele a správce začínají používat cloudové služby pro ukládání záloh. Hlavní výhodou je malá pravděpodobnost ztráty originálních dat spolu se zálohami kvůli různému fyzickému umístění. Ale cloudové služby jsou více náchylné vůči hackerským útokům.

3.3 Zabezpečení

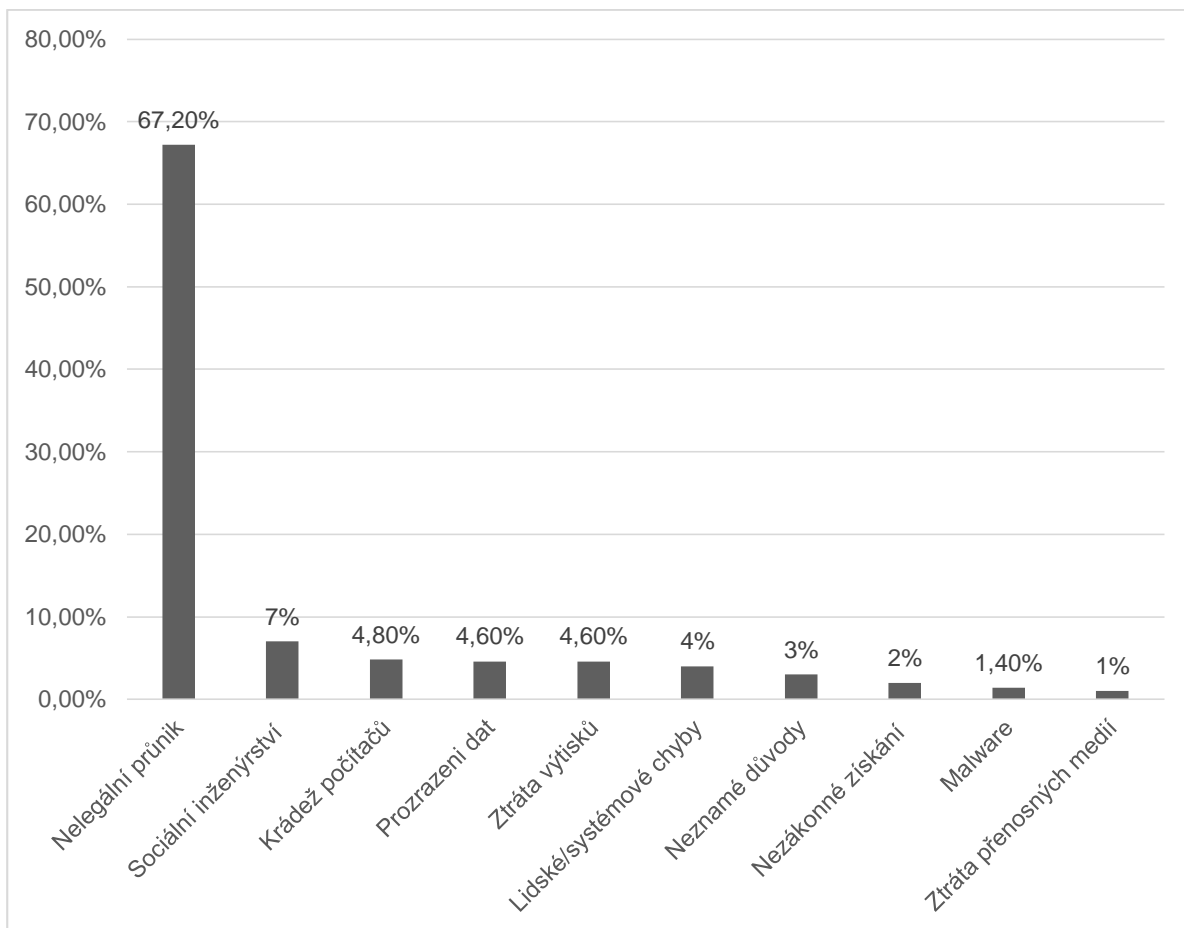
Než se vrhneme na způsoby zabezpečení, důležité je zjistit, proč o data můžeme přijít. Pravděpodobně prevence ztráty může být méně náročná na realizaci, než implementovat složité zabezpečovací techniky. Například omezení plnohodnotného přístupu k souborům je mnohem jednodušší a snazší než složité šifrování dat.

3.3.1 Příčiny ztráty dat

Samotné příčiny ztráty mohou být různé. Může to být jak chyba softwaru, tak i chyba uživatele. Dále popíšu jednotlivé důvody, kvůli kterým lze o informaci přijít.

- nelegální průnik do systému je dle statistik nejčastější příčinou ztráty dat. Jedná se o neoprávněný přístup ke chráněným informacím nepověřenými osoby. Způsoby mohou být různé: hackeři využívají např. tzv. exploits kterými prolomí ochranu nebo pomocí hrubé síly rozluští přístupová hesla,
- sociální inženýrství se používá pro získání utajené informace nebo přístupu pomocí podvodného jednání,
- krádež počítačů,
- prozrazení dat v síti nebo na webu,
- ztráta výtisků dokumentů s citlivými informacemi,
- lidská chyba a chyba systému,
- nezákonné získání dat např. uplacením pracovníku,
- ztráta přenosných medií,
- malware je počítačový software určený pro získání neoprávněného přístupu k informaci v počítači.

Procentuální četnost výše uvedených příčin je znázorněna na obrázku.



Obrázek 3. Příčiny ztráty dat v roce 2012

Zdroj: [17]

3.3.2 Prevence ztráty dat

Pro účely navrhovaného softwaru postačí se soustředit na prevenci ztráty dat. Ochrana dat proti útokům je zbytečná, jelikož při průzkumu nedisponujeme citlivými a soukromými informacemi. Nejúčinnější způsob ochrany dat proti ztrátám je zálohování, který pokrývá většinu příčin uvedených v předchozí podkapitole. Přičemž ukládání na vzdálených serverech umožňuje minimalizovat riziko ztráty záloh. Daný přístup je stejně efektivní proti malwaru, ztrátě počítačů nebo přenosových medií s daty a lidským nebo systémovým chybám. I kdyby ztráty byly způsobeny uživatelem, který data náhodou odstraní nebo kvůli poruchám výpočetní techniky, pravděpodobnost ztráty původních dat a zálohovaných je malá.

Antivirový software a firewall brány spolu se správným nastavením přístupových prav, umožňuje data ochránit vůči neoprávněnému přístupu. Antivirusem lze detekovat víry a škodlivé počítačové programy. Firewall může zabránit nelegálnímu průniku do systému stejně, jako nastavení přístupových prav.

Lidskému faktoru a jím způsobeným chybám lze čelit správným vyškolením. Zkušení uživatelé jsou méně náchylné vůči phishingu nebo sociálnímu inženýrství. Ale daný způsob nezaručuje stejnou spolehlivost, jako, např. omezení práv nebo přístupu.

4 Analýza a volba vhodného nástroje pro tvorbu softwaru

Poslední dobou přenosná výpočetní zařízení stále více pronikají do různých sfér našeho života. Chytré mobily vytlačily klasické mobily díky široké škále nabízených služeb a aplikací. Ale otázkou je, kolik uživatelů skutečně využívají výpočetní výkon zařízení, co mají v kapse. Příznivé ceny spolu s nabízenými možnostmi zapříčinily využití chytrých mobilů, například i pro firemní účely nebo ve sféře prodeje a služeb. V restauračních podnicích se lze setkat nejenom se speciálně vyvinutými POS terminály, ale i s běžně používanými mobily nebo tablety, přičemž někde chytrá mobilní zařízení nahrazují dokonce i vytištěné jídelní lístky.

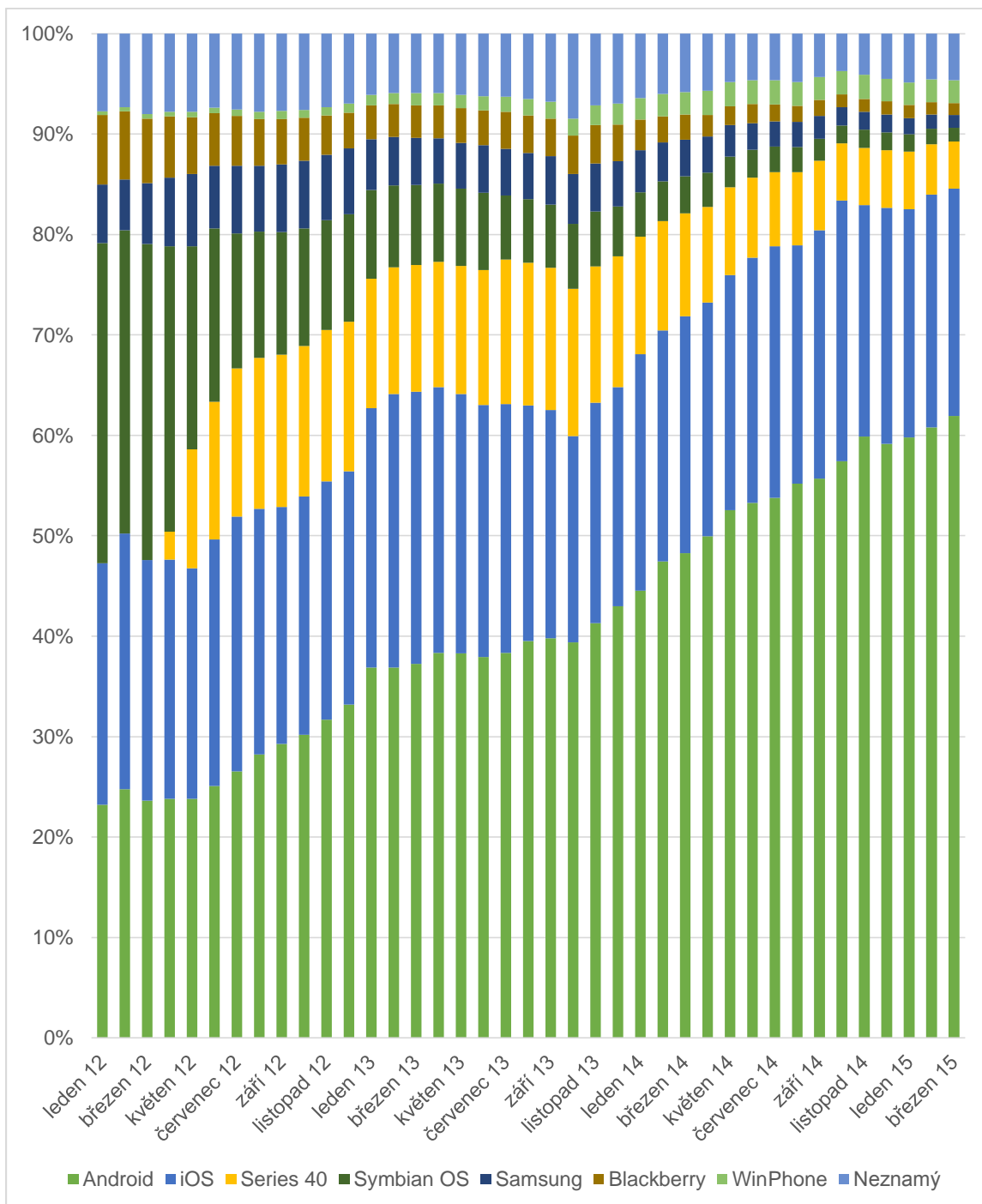
Další sférou, ve které použití mobilních zařízení pro firemní účely, se stalo běžnou záležitostí, jsou taxi služby. [18] Aplikace propojují zařízení zákazníka se zařízením řidiče a vynechávají mezikrok v podobě dispečinku. Cesta, kterou volí poskytovatelé taxi služeb, upřednostňováá vývoj aplikace pro chytré telefony před vývojem vlastní OBU jednotky. Tvorba softwaru je méně náročné v neposlední řadě i z finančního hlediska.

A právě proto jsem se věnoval návrhu softwaru pro chytré telefony. Trh mobilních zařízení v současné době je velmi nasycený nabídkami. Desítky výrobců nabízí stovky modelů, které mohou splnit jakékoliv přání zákazníka: nárazuvzdorné, voděodolné, luxusní nebo cenově dostupná zařízení. Ale podstatná je jedná věc: množství operačních systémů, které jsou nainstalovány v chytrých mobilech a tabletech, je zastoupené jenom několika klíčovými společnostmi. Jedná se především o Google, Apple a Microsoft se svými produkty. Ale existují, samozřejmě, i další korporace, které vyvíjí operační systémy pro chytrá mobilní zařízení.

4.1 Analýza operačních systému v segmentu mobilních zařízení

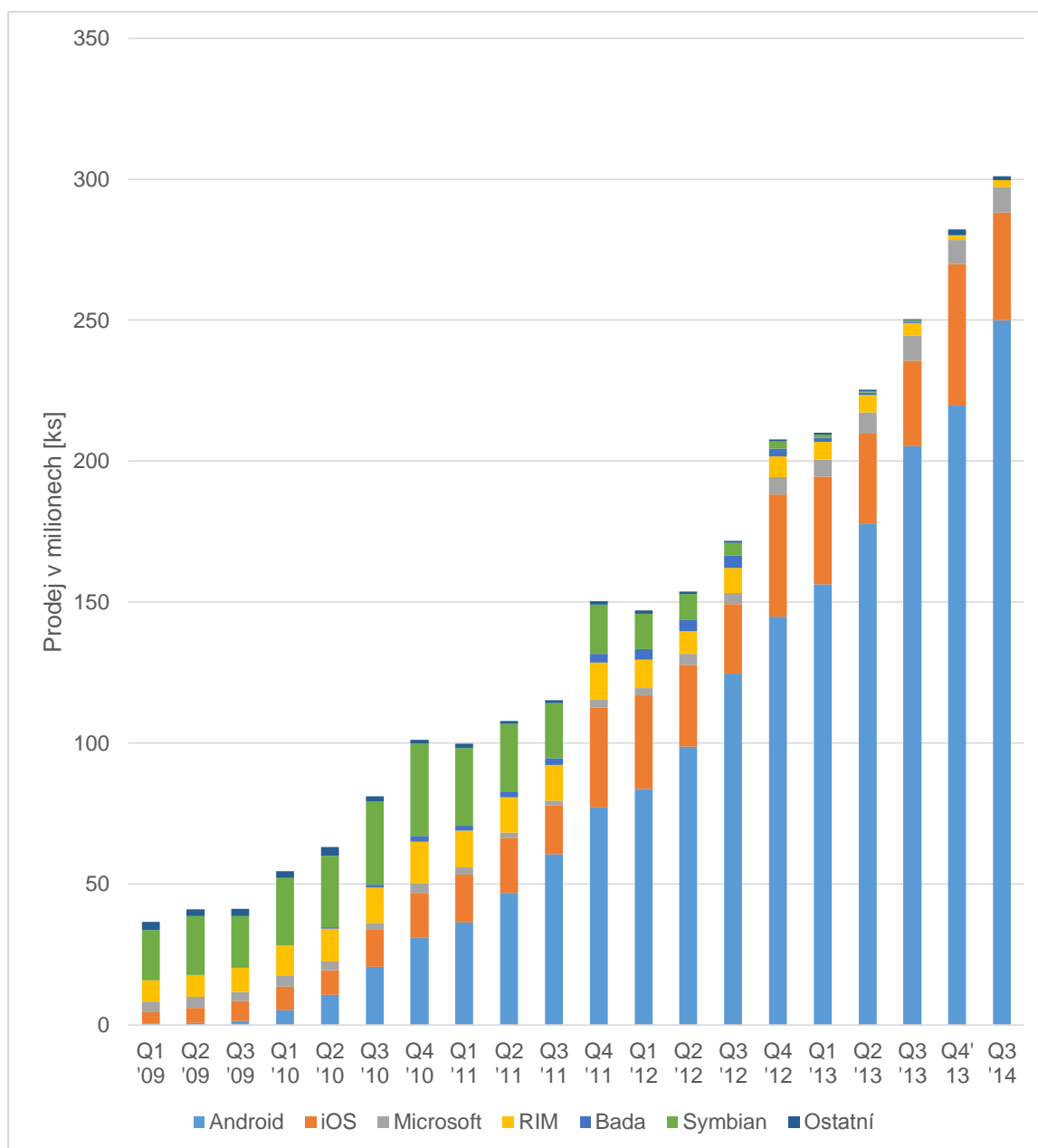
Zastoupení jednotlivých operačních systému na trhu je velmi nerovnoměrně. Některé výrobce jsou soustředěny na vývoje operačního systému a poskytují ho jako službu, jiné se zabývají prodejem přístrojů a nemají zájem o rozšíření jimi dodávaného softwaru na zařízení jiných výrobců. Proto je potřeba zanalyzovat trh mobilní elektroniky z hlediska podílu jednotlivých operačních systémů a zaměřit se především na nejrozšířenější.

Musel jsem zapátrat po statistikách a podařilo se mi nalézt následující grafy. První graf byl získán z dat o počtu zařízení, která brouzdají sítí internet.



Obrázek 4. Zastoupení operačních systémů v segmentu mobilních zařízení

Zdroj: [19]



Obrázek 5. Celosvětový prodej chytrých mobilů s rozdělením podle jednotlivých operačních systémů

Zdroj: [20]

Z grafu lze posoudit, že největší podíl na trhu má operační systém Android. A to jak v počtu prodaných zařízení koncovým zákazníkům, tak i dle podílu při surfování na internetu. Je také vidět stoupající tendence zastoupení Androidu na trhu. Jeho velkou výhodou je, že Google poskytuje komunitě vývojářů možnost úpravy operačního systému dle svých požadavků, což nabízí např., přístup k hardwaru. Proto zaměřil jsem se právě na chytrá mobilní zařízení s operačním systémem Android. Ale podíváme se i na další.

Sekundárním hráčem je společnost Apple se svým systémem iOS. Obdivuhodné je, že mají mnohem menší nabídku zařízení, ale stejně zastávají velkou část trhu. Vývoj pro iOS není tak atraktivní, jako pro Android, především z důvodů vyšších pořizovacích nákladů a taktéž kvůli malé nabídce zařízení.

Zastoupení ostatními zařízení pokládám za nevýznamné. A například, co se týče zařízení Blackberry nebo Amazon, které mají vlastní operační systémy založené na Androidu, a umožňující bez problému aplikace vyvinuté pro Android spouštět. Podle aktuálních informací Windows Phone také bude schopen spouštět Android aplikace. [21]

4.1.1 Android

Operační systém Android, který od roku 2005 patří společnosti Google, je platforma pro chytré mobily, tablety, čtečky knih, multimédia přehrávače, televize, nositelnou elektroniku a počítače. Byl vyvinut primárně pro dotyková zařízení, ale ostatní zařízení jsou podporovány za použití zvláštních uživatelských rozhraní. Systém je založen na jádru Linux a vlastní realizaci virtuálního stroje Java společnosti Google. Operační systém má otevřený zdrojový kód spadající pod licenci GNU GPL v2, která umožňuje výrobcům a vývojářům za dodržení licenčních podmínek snadné použití a doladování OS dle svých představ. Ve skutečnosti zařízení dodávaná výrobcem skrývají uvnitř spojení otevřeného softwaru s proprietárním včetně i aplikací vyvíjených společností Google.

Software pro operační systém Android lze vyvíjet v jazyce Java za použití knihoven prostřednictvím tzv. Android Application Framework. Navíc existuje možnost díky Android Native Development Kit importovat knihovny a části aplikací vyvinuté v jiných programovacích jazycích.

4.1.2 iOS

Operační systém iOS, do roku 2010 taktéž známá jako iPhone OS, je operační systém pro chytré mobily, tablety a nositelnou elektroniku, která patří a je vyvíjena americkou společností Apple. Na rozdíl od konkurentů: Android a Windows Phone, je určen pouze pro vlastní výroby, jako jsou iPhone, iPod, iPad atd.

Operační systém iOS byl vyvinut na základě stolního operačního systému OS X, který používá společnost v počítačích vlastní výroby. Používá stejné hybridní jádro XNU, které patří do rodiny Unix podobných systémů. Nehledě na to, že jádro má otevřený zdrojový kód s licenci APSL 2.0, samotný operační systém je poměrně uzavřený. Uživatelé má omezené možnosti instalace vlastních aplikací – jediná legální možnost je přes oficiální správce balíčků App Store.

Vyvíjet aplikace lze v jazyce C nebo Objective-C. Apple dlouhou dobu neumožňoval používat vlastní vývojová prostředí a vše bylo omezeno jenom použitím aplikací XCode, která je i do

dnes k dispozici jenom pro počítače s operačním systémem OS X. V současné době jsou i alternativy umožňující, mimo jiné, vývoj multiplatformního softwaru. Jak jsem již zmínil, aplikace lze instalovat jenom z oficiálního App Store, ve kterém procedura umístění není jednoduchá.

4.1.3 Windows

Společnost Microsoft lze pokládat za průkopníka mobilních operačních systémů. První generace, taktéž známá jako Windows Mobile byla vyvinutá pro vlastní platformu kapesních počítačů Pocket PC ještě před 15 lety v roce 2000. Poslední verze byla zveřejněna 2. února 2010.

Její nástupcem stal operační systém Windows Phone. První verze s číslem sedm v názvu byla odhalena 15. února na Mobile World Congress 2010 a stala dostupná konečným zákazníkům 21. října téhož roku. Aktuální verze nese označení Windows Phone 8.1. V testovací fázi se nachází další verze, která podle různých zdrojů bude se nazývat Windows 10 Mobile nebo Windows Phone 10. [21]

Windows Phone je proprietárním softwarem s vlastní licencí Microsoft EULA. První verzi zdělili jádro Windows CE od Pocket PC. Novější verze OS obsahují přizpůsobené jádro Windows NT. Vývoj aplikací nativně je podporován v jazyce C++ nebo v případě starších verzí OS: C# a Visual Basic .NET.

Bohužel ani do dnes společnosti Microsoft se nedaří úspěšně konkurovat s ostatními obry na trhu mobilních operačních systémů a podíl Windows na přenosných zařízeních, na rozdíl od stolní verze systému se stejným názvem, je neuvěřitelně malý.

4.1.4 Ostatní mobilní operační systémy

Samozřejmě trh mobilních operačních systémů není omezen jenom třemi výše uvedenými platformy, ale soustředěn kolem něj. Existují další OS, které jsou vyvíjeny buď entuziasty a komunitou nebo vývoj setrvává bývalými lídry na trhu. Nebudeme zabíhat do podrobností jednotlivých OS, jelikož jejich podíl je tak nevýznamný, v porovnání s Androidem nebo iOS, a proto uvedu jenom jejich seznam:

- BlackBerry OS: operační systém vyvíjený společností Research In Motion pro vlastní zařízení (tablety a chytré mobily) a je zaměřená především na firemní klientelu díky nabízeným B2B funkcím. [22]
- Bada: vyvíjená společností Samsung Electronics mobilní platforma s proprietárním zdrojovým kódem pro mobilní telefony s dotykovými obrazovkami, chytré televize a chytré hodinky. K současnému datu projekt je ukončen. [23]

- Tizen je nástupcem platformy Bada, kterou vyvíjí Intel a Samsung jako členy společnosti Technical Steering Group, a taktéž je podporována Linux Foundation spolu s Tizen Association. Operační systém založen na jádru Linux a určen pro různá výpočetní a multimediální zařízení včetně mobilu, televizi, tabletu atd. na architektuře x86 nebo ARM. [24]
- Firefox OS je operační systém s otevřeným zdrojovým kódem, jehož klíčovou vlastností je, že celé uživatelské rozhraní představuje webovou aplikaci, která zobrazuje a spouští ostatní programy napsané pomocí HTML, CSS a JavaScriptu. Jejich komunikace s hardwarem je realizovaná přes vlastní API. Vývojem se zabývá Mozilla Foundation na základě renderovacího jádra Gecko [25]
- Ubuntu Touch je produktem společnosti Canonical Ltd. s otevřeným zdrojovým kódem a patří do rodiny Unix-like operačních systémů. Jednou z klíčových vlastností je podpora zařízení s původně předinstalovaným Androidem. [26]

4.1.5 Shrnutí

Volba operačního systému pro software není tak složitá, jak jsem původně očekával. Soustředit se na softwaru pro málo rozšířené operační systémy není nejlepší nápad. Proto bylo zapotřebí vybírat mezi operačními systémy Android, iOS a Windows Phone.

Windows Phone, v porovnání s ostatními, ani se řadově nepřiblížil v obsazení pozic na trhu k výrobkům společností Google a Apple. Navíc má problémy se zpětnou kompatibilitou [27] a není zaručeno, že software bude pracovat i v prostředí novějších nebo starších verzí operačního systému Windows Phone.

Nabídka výrobku s iOS je velmi chudá a z mého hlediska je cenově nepřijatelná pro účely dopravních průzkumů. Komplikace s instalací aplikací je rozhodující pro volbu jiné platformy.

Operační systém Android pro účely dané diplomové práce je více než postačující. Široké cenové rozmezí výrobků umožní zvolit zařízení, které by nejlépe odpovídalo požadavkům na měření. Jednoduchá instalace a možnost přístupu k systémovým nastavením ve výsledku dělá z Androidu velmi atraktivní platformu pro vývoj jak běžných aplikací, tak i specifického softwaru.

4.2 Analýza vývojových prostředí a nástrojů

V předchozí kapitole byly popsány jednotlivé mobilní operační systémy a rozhodl jsem, že nejlepší variantou pro vývoj softwaru pro podporu dopravních průzkumu je OS Android. Dále zbývá zvolit vývojové prostředí. Obvykle vývoj aplikací probíhá v programovacím jazyce Java s použitím Android Software Development Kit, ale není to jediná varianta. Ostatní společnosti nabízí vlastní nástroje pro vývoj podporující ostatní programovací jazyky a umožňují

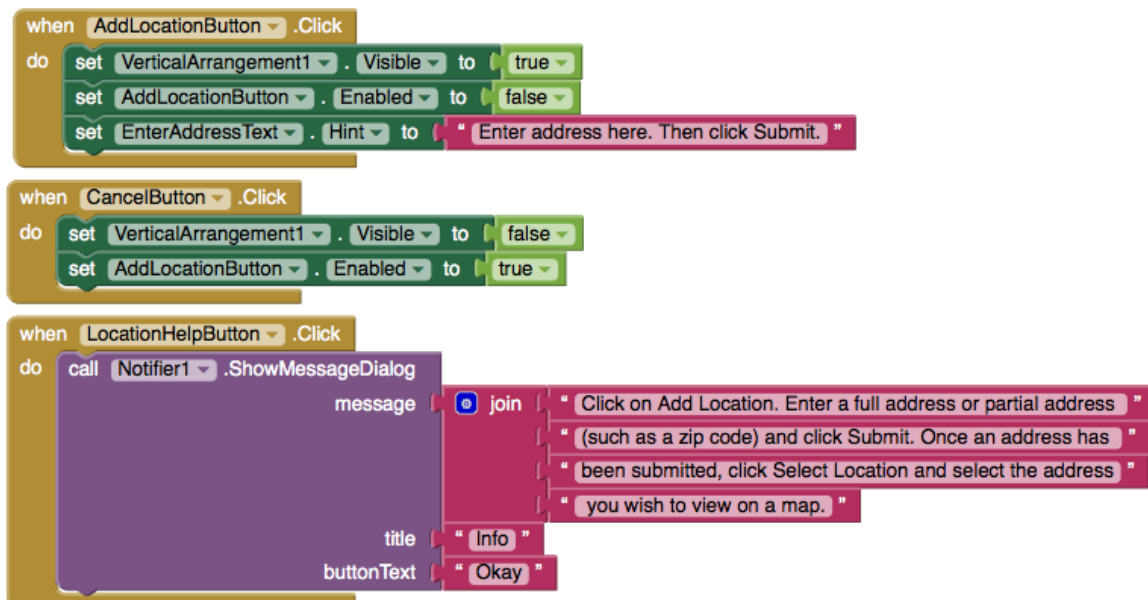
jednoduchou migraci aplikace na jiné platformy. Podíváme se na jednotlivé možnosti podrobněji.

4.2.1 Android studio

Android studio je oficiální vývojové prostředí založené na IntelliJ IDEA a určeno speciálně pro vývoj softwaru pro operační systém Android. Vývojem samotného Android Studio se zabývá společnost Google. Je dostupné zdarma dle licence Apache License 2.0 pro operační systémy Windows, MacOS a Linux. IDE nabízí WYSIWYG editor, živý render aplikace, podepisování aplikace, průvodce založené na šablonách, vestavenou podporu Google Cloud Platform. Pokud je nutné vyvíjet aplikace pouze pro Android – je to nejlepší volba, jak z hlediska obsáhle dokumentace, tak i kvůli komunitní podpoře. Má vestavenou podporu emulátoru z oficiálního balíčku Android SDK. Podporuje nejenom chytré mobily a tablety, ale taktéž i chytré hodinky, brýle Google Glass a Android TV. Nabízí jednoduchou správu překladů aplikace díky integrovanému správci Translation Editor. [28]

4.2.2 App Inventor for Android

App Inventor je velmi zajímavým projektem, který původně byl vyvinut společností Google, ale v současné době patří Massachusettskému technologickému institutu. Je podobný programovacímu jazyku Scratch tj. umožňuje lidem s jakýmkoliv programovacími zkušenostmi vyvíjet software pomocí drag-and-drop interakce s vizuálními objekty, v podobě jednotlivých procedur, funkcí operátorů atd. Velkou výhodou je práce ve webovém prohlížeči bez nutnosti instalovat na počítač jakýkoliv software. Umožňují přístup k sensorům, funkcím volání, SMS zprav, kontaktům, uložišti a jiným základním prvkům zařízení. [29]



Obrázek 6. Příklad zdrojového kódu ve vývojovém prostředí App Inventor for Android

Zdroj: [29]

Jedná se o skvělou variantu pro ty, kdo nemá zkušenosti nebo hluboké znalosti v oblasti programování. Pokud požadavky na software nejsou zvlášť specifické a není potřeba zabývat se vývojem profesionálně, lze díky App Inventoru ušetřit čas a během několika minut vytvořit jednoduchou aplikaci a mít jí připravenou k instalaci na zařízení.

4.2.3 Corona

Corona SDK je proprietární balíček pro vývoj software, který patří společnosti Corona Labs Inc. a umožňuje vyvíjet aplikace pro mobilní zařízení s operačními systémy Android, iOS, Windows Phone a Kindle v jazyce Lua. Vývojové prostředí může být spuštěno na stolních počítačích s OS Windows nebo Mac OS X. [30]

Corona je určena především pro vývoj dvoudimenzionálních grafických aplikací. K základním vlastnostem patří podpora audia a grafiky, šifrování, síťového rozhraní, přístup k sensorům a uživatelskému zadávání dat.



Obrázek 7. Příklad aplikace napsané v jazyce LUA ve vývojovém prostředí Corona

Zdroj: [30]

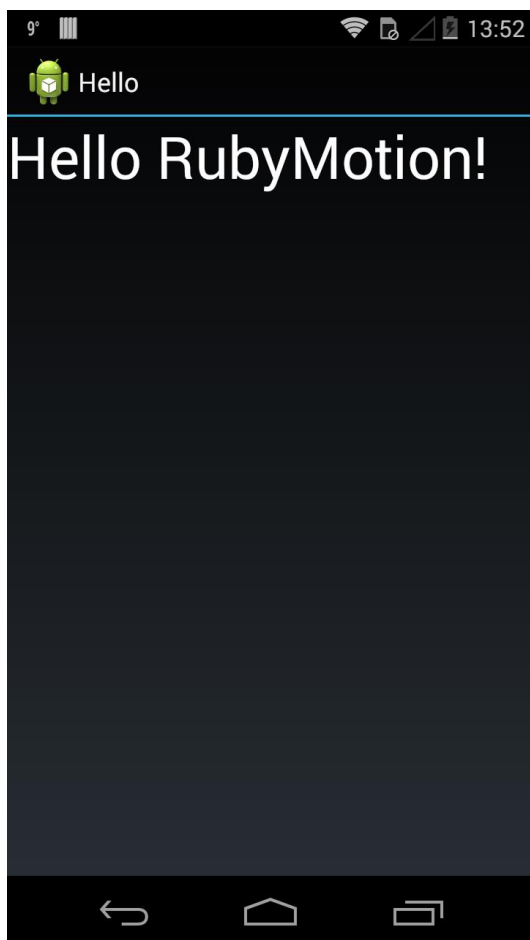
Základní verze softwaru je k dispozici zdarma a měla by postačit pro nenáročného uživatele. Doplnkové funkce jsou zpoplatněny měsíčním poplatkem ve velikosti 79 USD nebo 199 USD.

4.2.4 Kivy

Knihovna s otevřeným zdrojovým kódem, kterou vyvíjí Kivy organization umožňuje návrh a tvorbu aplikací nejenom pro mobilní zařízení, ale i pro dotyková zařízení s operačními systémy Linux, Windows a OS X. Spadá pod podmínky licence MIT a je distribuovaná zdarma. Vývoj probíhá v jazyce Python. U zařízení se systémem Android je podporován přístup k senzorům, notifikacím, kameře, SMS a e-mailovým zprávám.

4.2.5 RubyMotion

RubyMotion je proprietárním produktem společnosti HipByte, který původně byl určen pro vývoj softwaru pro zařízení s iOS v jazyce Ruby. V prosinci roku 2014 byla anoncovaná podpora operačního systému Android. Bohužel k systémovým požadavkům patří operační systém OS X 10.8.4 nebo vyšší, který může být nainstalován pouze na počítače společnosti Apple a proto vývoj aplikace může vyvolat vysoké náklady při pořizování hardwaru pro vývoj. [31]



```

class MainActivity < Android::App::Activity
  def onCreate(savedInstanceState)
    super

    @text =
      Android::Widget::TextView.new(self)
      @text.text = 'Hello RubyMotion!'
      @text.textColor =
        Android::Graphics::Color::WHITE
      @text.textSize = 40.0
      self.contentView = @text
    end

    def dispatchTouchEvent(event)
      @counter ||= 0
      case event.action
      when
        Android::View::MotionEvent::ACTION_UP
          @counter += 1
          @text.text = "Touched #{@counter}
            times!"
          @text.backgroundColor =
            Android::Graphics::Color::BLACK
          when
            Android::View::MotionEvent::ACTION_MOVE
              @text.text = "ZOMG!"
              @text.backgroundColor =
                Android::Graphics::Color.rgb(rand(255),
                rand(255), rand(255))
            end
          true
        end
      end
    end
  end
end

```

Obrázek 8. Příklad aplikace vytvořené pomocí softwaru RubyMotion

Zdroj: [31]

4.2.6 Xamarin

V květnu roku 2011 v San Francisku vznikla společnost Xamarin, která vyvinula otevřenou specifikaci Common Language Infrastructure a ke dnešnímu datu nabízí celý balíček nástrojů pro vývoj mobilních multiplatformních aplikací pro zařízení s operačními systémy Android, iOS a Windows Phone v jazyce C#. Společně s vlastním IDE jsou nabízeny nástroje pro testování, ladění, agregaci chybových hlášení, analýzu stability aj. Software patří k proprietárním a základní verze, která je poskytována zdarma, má velmi omezené možnosti vývoje, ale postačující pro jednoduché aplikace o maximální velikosti 128 kb. V ostatních případech jsou k dispozici různé plány s měsíčním poplatkem 25 – 158 USD:

4.2.7 Porovnání a volba vývojových nástrojů

Popsal jsem jenom zlomek ze všech nabízených nástrojů, IDE a SDK pro vývoj mobilních aplikací. Ve skutečnosti je jich mnohem více a jenom při prvním a rychlém zkoumání podařilo

se mi najít více než padesát různých softwaru pro vývoj. Dále uvedu porovnávací tabulku nástrojů, zmíněných v předchozí podkapitole a podle ní bude zvoleno vývojové prostředí pro následující vývoj.

Tabulka 6. Porovnání vývojových prostředí

Platforma	Programovací jazyk	Podporované OS	Požadavky	Cena
Android studio	Primárně Java, některé části mohou být napsány v C a C++	Android	Windows, Linux a OS X	Zdarma
App Inventor for Android	Vlastní vizuální jazyk	Android	Libovolný OS s webovým prohlížečem	Zdarma
Corona	Lua	iOS, Android, Windows Phone, Kindle	Windows a OS X	0 – 199 USD měsíčně
Kivy	Python	Linux, Windows, OS X, Android a iOS	Linux, Windows, Android a iOS	Zdarma
RubyMotion	Ruby	iOS a Android	OS X	Od 16 USD měsíčně
Xamarin	C#	iOS, Android, Windows a OS X	Windows a OS X	0 – 158 USD měsíčně

Z tabulky je patrné, že nehledě na překrývající se možnosti, které nabízí jednotliví nástroje, požadavky a ceny se liší. Tak v první řadě jsem musel škrtnout RubyMotion z toho důvodu, že nedisponuji zařízením, přesněji řečeno počítačem, s operačním systémem OS X a jeho pořizování pro účely diplomové práce nebylo by vhodné především nákladově.

Dále jsem odmítl volbu jakéhokoliv softwaru, který by v budoucnu požadoval rozšíření na placenou verzi. Zaprvé jak z hlediska toho, že během vývoje může vyskytnout potřebnost používat některé zpoplatněné funkce, tak i kvůli tomu, že navrhovaný software

mám v plánu rozvíjet i mimo danou diplomovou práci. Právě proto nejsem schopen garantovat, že vystačím pouze se základními verzemi vývojových prostředí.

Zbyly jenom originální Android studio a App Inventor for Android s Kivy od vývojářů třetích stran. Poslední se mi nezdá nejlepší volbou, jelikož s programovacím jazykem Python mám nejméně zkušeností a z dostupných zdrojů [32] je patrné, že knihovna Kivy je zaměřena ve větší míře pro stolní operační systémy nebo pro specifická zařízení s vlastně navrženými způsoby HMI.

App Inventor for Android byl by velmi vhodnou volbou, pokud bych vývoj softwaru zanechal pouze ve stadiu diplomové práce. S podobnými důvody, které jsou popsány o dva odstavce výše, vidím komplikace v budoucnu, pokud bude zapotřebí software rozšířit o nové nebo specifické funkce. Taktéž mě zarazily omezené možnosti úpravy grafického rozhraní např. umístění a velikost jednotlivých prvku View je omezeno pouze třemi možnostmi: automatické přizpůsobování, zdědění po rodičovském prvku a pevné zadávání v pixelech. Ale operační systém je schopen umístit prvky např. vzhledem k určité hranici obrazovky absolutně nebo relativně a v různých jednotkách. Bohužel může to být zásadním problémem, protože grafické rozhraní pro dopravní průzkumy pravděpodobně bude vyžadovat specifické umístění prvků na obrazovce, a rozhraní by se mělo přizpůsobovat pro různá zařízení s odlišnými úhlopříčkami displejů.

Jedinou vyhovující variantou je použití oficiálního vývojového prostředí od společnosti Google, jehož výhodami je nativní podpora všech možností operačního systému, absence jakýchkoliv poplatků za použití, rozsáhlá dokumentace a komunitní podpora. Nevýhody jsou jenom v podobě časové náročnosti při vývoji, v porovnání s App Inventorem a zaměřenosti pouze na jeden operační systém.

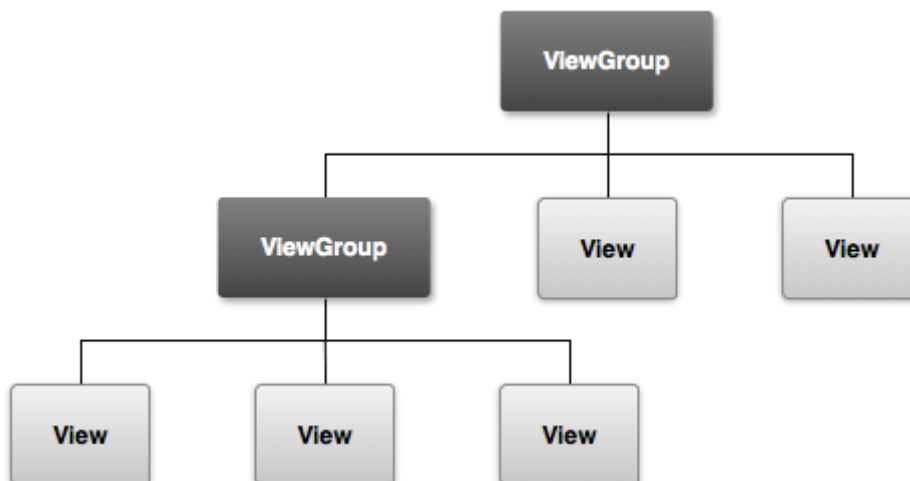
5 Návrh a vývoj softwaru

Návrh aplikace bude vycházet především z mé bakalářské práce, odkud jsem čerpal poznatky o rozložení vzhledu. Jako vývojové prostředí jsem zvolil Android studio. Na začátku je nutné vybrat verzi API, která odpovídá verzi operačního systému. Android studio při založení nového projektu navrhuje verzi v závislosti na statistikách, kterými disponuje Google, a poskytuje data o tom, jaký procent zařízení bude schopen spouštět aplikaci.

Ale na začátku bych stručně pověděl o jednotlivých prvcích, ze kterých aplikace jsou sestaveny. Názvy ponechám nepřeložené ve zdrojovém jazyce, který je uveden v dokumentaci, a který se používá v IDE a SDK.

Activity – je v podstatě jedna obrazovka aplikace s umístěnými na ní jednotlivými prvky View, pomocí kterých probíhá interakce s uživatelem. Obvykle jedno okno Activity překrývá celou obrazovku zařízení. Aplikace může obsahovat více komponent Activity. Při spouštění, například, uživatel uvidí jednu Activity, další Activity se bude zobrazovat na obrazovce s nastavením aplikace atd. Každá Activity má svůj životní cyklus: spouštění, pozastavení, zastavení a pokračování, ukončení aj.

Obecně jakýkoliv prvek uživatelského rozhraní na obrazovce nese název View. Může se jednat například o tlačítka, textová pole, obrázky, tabulky apod.. Umístěny musí být hierarchicky a v tom pomáhá prvek ViewGroup, který umožňuje sdružení do skupin, jak je zobrazeno na obr. XX. Deklarovat jednotlivé prvky lze buď v zdrojovém kódu aplikace anebo existuje i jednodušší varianta pomocí úkladní rozhraní do XML souboru.



Obrázek 9. Ukázka seskupení prvků View

Zdroj: [28]

Pokud aplikace nebude obsahovat uživatelské rozhraní, podobný komponent aplikace se nazývá Service. Umožňuje aplikaci provádět dlouhodobou aktivitu na pozadí nehledě na to, kterou aplikaci uživatel používá v současný okamžik.

Content provider: jak je patrné z názvu, jedná se o prvek poskytovatele obsahu, který řídí přístup ke strukturovaným datům. Poskytuje mechanismus pro definování zabezpečení dat a taktéž nabízí standardizované rozhraní pro přenos dat mezi jednotlivými procesy.

Broadcast receiver je prvkem, který přijímá zprávy, které jsou rozesílány v celém systému. Zprávy mohou být rozesílány operačním systémem za různých okolností: při nízkém napětí baterie, vypnutí obrazovky aj. Taktéž aplikace mohou rozesílat svoje vlastní zprávy, aby zajistili včasnou reakci ostatních aplikací na určitou operaci. Zkratka na cokoliv, záleží na vývojáři.

Po krátkém úvodu, doufám, že čtenáři by měl být následující text mnohem srozumitelnější.

5.1 Uživatelské rozhraní

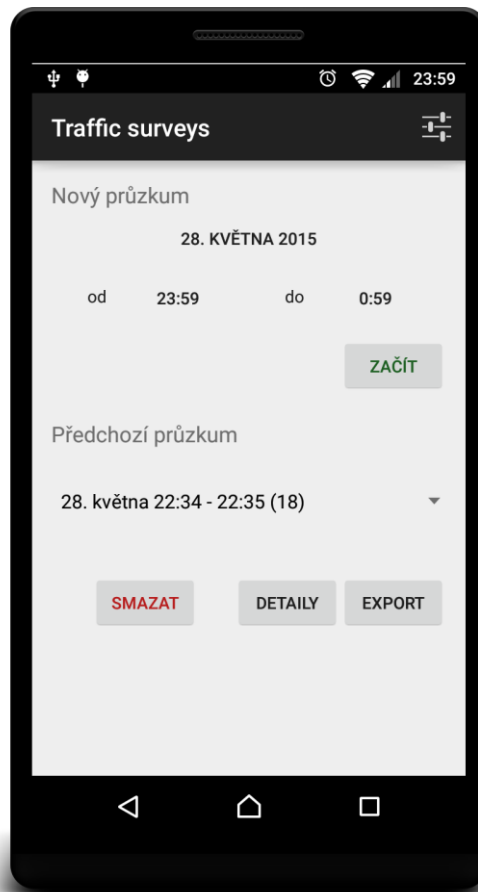
Dalším krokem po instalaci IDE je návrh uživatelského rozhraní. Je nutné definovat počet Activity, jejich vzhled a rozložení prvků, určit jakým způsobem uživatel bude přecházet od jedné obrazovky ke druhé. Vycházel jsem z požadavku na software: zaměření na průzkumy intenzit. Proto bylo zvoleno rozhraní ze třech obrazovek:

- úvodní obrazovka – především musí poskytovat přístup k následujícím obrazovkám,
- obrazovka pro průzkumy – slouží pro samotné zaznamenávání dat a bude zobrazována uživateli během měření,
- obrazovka s předvolbami – poskytuje rozhraní pro nastavení aplikace.

V dalších kapitolách následuje detailnější popis zmíněných obrazovek včetně rozložení, prvků a funkcí.

5.1.1 Úvodní obrazovka

První obrazovka, která se objeví před uživatelem a nese název MainActivity, nesmí být vytížená různými prvky, ale zároveň musí poskytovat přístup k dalším Activity. V našem případě se musíme dostat buď na obrazovku s měřením, nebo na obrazovku s předvolbami. Na Obrázek 10 je znázorněn snímek úvodní obrazovky.



Obrázek 10. Rozložení úvodní obrazovky

Zdroj: autor

Přístup k obrazovce s nastaveními je realizován pomocí tlačítka, umístěného v horní nabídce tzv. Action Bar. Ve výchozím nastavení je schováno do rozevírací nabídky s výhledem, že menu bude obsahovat více jednotlivých položek. Ale nevidím důvod k existenci většího množství tlačítek pro nastavení nebo dalších nabídek, jelikož aplikace je poměrně jednoduchá. Proto jsem rozevírací menu nahradil jednou ikonou, neboť grafické ikony jsou více uživatelsky přívětivé, a pokud pro ni nezbyde místo (spíše výhled do budoucna v případě přidání dalších ikon do Action Baru), schová se, jak je tomu ve výchozím nastavení. Zdrojový kód v XML formátu, který určuje rozhraní horní nabídky je následující:

```

<menu xmlns:android="http://schemas.android.com/apk/res/android"
      xmlns:app="http://schemas.android.com/apk/res-auto"
      xmlns:tools="http://schemas.android.com/tools"
      tools:context=".MainActivity">
    <item
        android:id="@+id/action_settings"
        android:title="@string/action_settings"
        android:icon="@drawable/ic_action_settings"
        app:showAsAction="ifRoom" />
</menu>

```

Zdrojový kód 13. Ukázka nastavení Action Bar

Zbytek obrazovky je rozdělen do dvou částí: nový průzkum a přechozí průzkum. Horní díl slouží pro zadávání hodnot potřebných pro měření: čas začátku průzkumu, čas konce průzkumu a datum průzkumu. A samozřejmě obsahuje i tlačítko, kterým uživatel začne měření a bude spuštěno nové Activity.

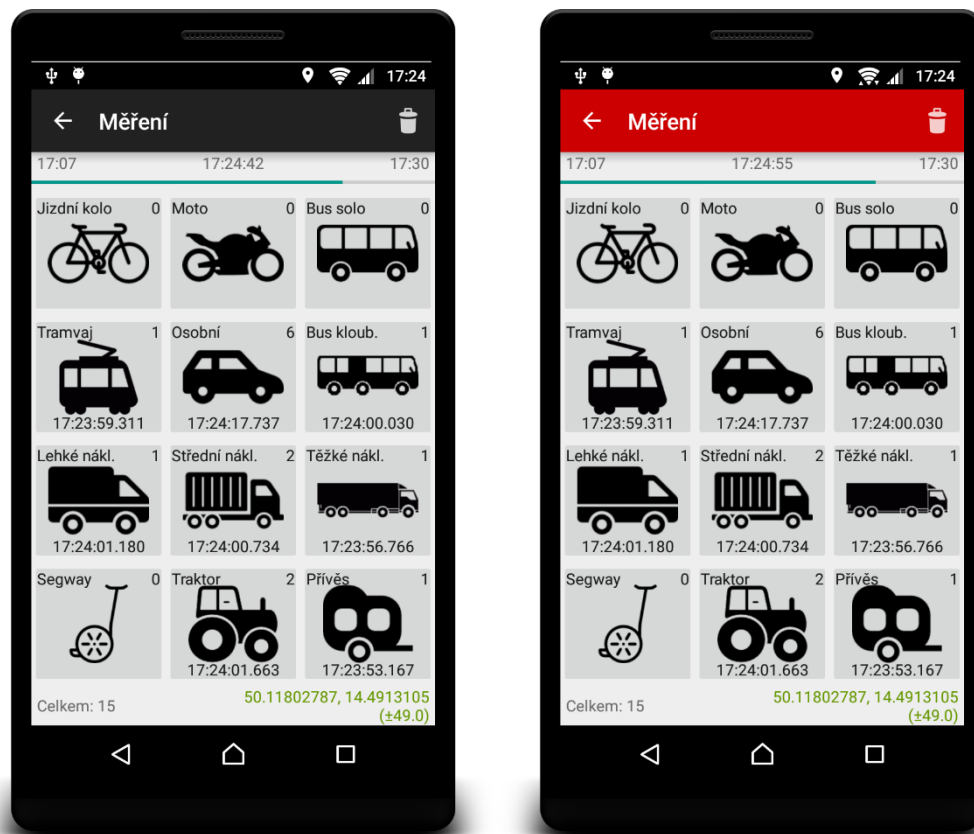
Po klepnutí na datum nebo na čas, uživateli se otevře dialogové okno, ve kterém lze provádět volbu potřebných hodnot. Pro dané účely v operačním systému Android existují speciální prvky, které se nazývají Pickers. Bývají dvojího druhu: Date Picker a Time Picker tj. když přeložíme doslova – sběrač data a sběrač času. Ve své podstatě nabízejí jak vývojářům, tak i uživatelům pohodlný a jednoduchý způsob zadávání hodnot bez nuzností vyvíjet vlastní dialogová okna.

Prvky jsou umístěné pomocí svislého a vodorovného Linear Layout rozložení, která jsou navzájem vnořené. Pro zobrazení textu jsou použity TextView prvky a pro tlačítka, včetně volby data a časů, běžné prvky Button. V souladu s doporučením společnosti Google, které bylo vydáno za účelem sjednocení vzhledu všech aplikací, volil jsem odpovídající barvy a vzhled prvků.

Dolní část obrazovky je ponechána pro práci s již proběhlými průzkumy. Jednotlivá měření lze vybírat prostřednictvím rozevírací nabídky, realizované s použitím prvku Spinner, ve které jsou zobrazovány ve formátu: datum, čas začátku a čas konce. Zvolený záznam lze buď odstranit anebo exportovat do souboru XML.

5.1.2 Obrazovka pro průzkum

Dané Activity tvoří nejvýznamnější část aplikace, se kterou uživatel se bude nacházet ve styku nejvíce času. Obrazovka (viz Obrázek 11) musí obsahovat, především, tlačítka pro zaznamenávání výskytu události a jejich následné zaznamenávání klepnutím.



Obrázek 11. Ukázka rozložení obrazovky pro průzkum

Zdroj: autor

Vycházel jsem, v první řadě z rozdělení, které bylo popsáno v kapitole 2.2.2 a přesněji řečeno – inspiroval jsem se sčítacím listem celostátního sčítání dopravy, který obsahuje třináct různých kategorií. Ale nepodařilo se mi dosáhnout optimálního umístění třinácti tlačítek na obrazovce obdélníkového tvaru. Proto rozhodl jsem, že bude výhodně celkový počet kategorií zmenšit na dvanáct.

Jenomže když prozkoumáme všechny druhy vozidel na sčítacím listu (viz Obrázek 2. Vzor sčítacího listu), můžeme zjistit určitou souvislost, která pomůže redukovat potřebný počet tlačítek: střední nákladní, těžká nákladní vozidla a traktory mají vlastní kategorií, pokud mají přívěs. A napadlo mě vyčlenit zvlášť tlačítko pro přívěs. Podobná varianta umožní nahradit tři druhy jedním.

Důležité je, že kategorizace zůstane zachována a ušetříme místo na obrazovce. Avšak místo dvanácti tlačítek, jsem obdržel jedenáct. Daný problém byl vyřešen mnohem snadněji – přidáním další kategorie podobě vozítka Segway.

Kromě toho bylo nutné určit vzhled samotných tlačítek. V těsné blízkosti k tlačítku, nebo vevnitř samotného tlačítka, je nezbytné mít název dopravního prostředku. Tím lze zlepšit uživatelskou přívětivost, neboť chtěl jsem, aby uživatel byl schopen používat aplikaci bez nutnosti nastudování dokumentace. Předpokládám, že tím se sníží pravděpodobnost výskytu chyb.

Taktéž pro lepší zpětnou odezvu, uživatel musí mít možnost sledovat stav jednotlivých počítačů, aby byl jist ve funkčnosti aplikace a ve správnosti průběhu měření. Textové pole, které obsahuje číselnou hodnotu počtu stisknutí příslušného tlačítka, je umístěno v pravém horním rohu.

Na spodní straně je umístěno textové pole s poslední hodnotou času, kdy byla naposledy zaznamenána událost stisknutím tlačítka. Tj. nad tlačítkem je umístěná všechna informace potřebná pro měření, a která bude následně uložena.

Horní nabídka Action Bar neobsahuje žádné menu s předvolbami a pro možnost mazání dat bylo zapotřebí umístit nabídku, která přepne rozhraní do režimu odstraňování záznamu. V případě, že uživatel bude potřebovat záznam odstranit, stačí přepnout se do režimu mazání a pak klepnout na příslušné tlačítko kategorie jednou nebo vícekrát – záleží na tom, kolik záznamu bylo zaznamenáno chybně.

Z důvodu blízkého umístění horní řady tlačítek k horní nabídce předpokládal jsem, že může docházet k nežádaným klepnutím na tlačítka z Action Baru a obdobný problém je na dolní části obrazovky u navigační lišty. Proto za účelem zvětšení vzdálenosti mezi blokem tlačítek a příslušnými lištami, bylo rozhodnuto umístit do uvolněného prostoru prvky s informací. Nahoře přibyl řádek s časovými údaji o průzkumy: čas začátku, aktuální čas a čas konce. Taktéž časový průběh je předveden prostřednictvím prvku Progress Bar. Dolní část stala obohacena o informaci o celkovém počtu zaznamenaných událostí (počet projetých vozidel) a informace o aktuální poloze.

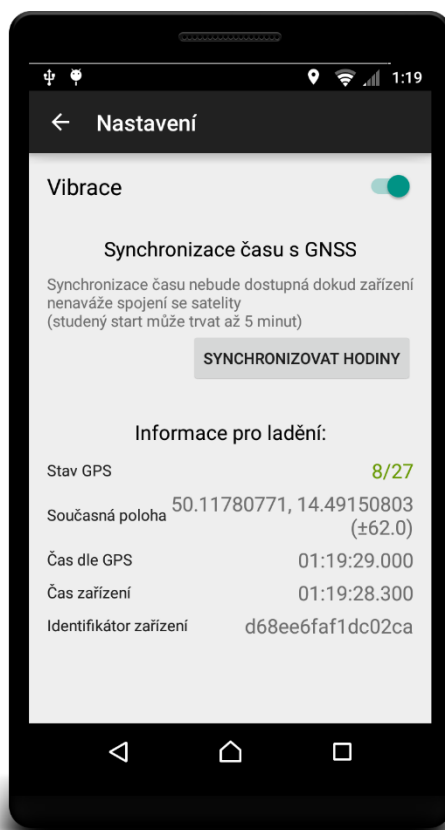
5.1.3 Obrazovka s předvolbami

Poslední Activity reprezentuje rozhraní pro nastavení předvoleb aplikace. První položka odpovídá za přepínání funkce vibrování při doteku tlačítek na obrazovce pro průzkum.

Dále, jak bylo zmíněno v kapitole 2, jeden z požadavků je možnost synchronizace hodin. Danou funkci lze implementovat pomocí GNSS, který poskytuje velmi přesné údaje o aktuálním čase a v dostatečné míře postačí pro účely dopravních průzkumů.

Takže následující část obrazovky je věnovaná účelům synchronizace hodin. Tlačítko nebude aktivní, dokud zařízení nenaváže spojení s družicemi GNSS a nezíská aktuální polohu.

Zbytek obrazovky obsahuje informaci pro ladění, které napomohou v případě, že zařízení delší dobu nezíská aktuální polohu nebo pro porovnání hodin zařízení s hodinami GNSS a rovněž i pro identifikaci zařízení, ze kterého byl uložen soubor s hodnotami měření.



Obrázek 12. Ukázka rozložení obrazovky s předvolbami

Zdroj: autor

5.2 Ukládání dat

Pro ukládání dat v rámci jedné aplikace, nebo celého systému, je nám k dispozici následující způsoby:

- Sdílená nastavení – umožňuje ukládat data ve formátu klíč-hodnota v rámci jedné aplikace.
- Vnitřní úložiště – taktéž poskytuje prostor pro ukládání soukromých dat v rámci jedné aplikace pomocí souborů, jejichž obsah a způsob uložení vývojář může určit sám.
- Externí úložiště – na rozdíl od předchozí varianty, k datům, uloženým na externím úložišti, mají přístup ostatní aplikace, nainstalované v systému, a taktéž i uživatel.
- Databáze SQLite poskytuje prostor pro ukládání strukturovaných dat do soukromé databáze.
- Vzdálené ukládání – jedná se o klient-serverový způsob ukládání dat na vlastní server.

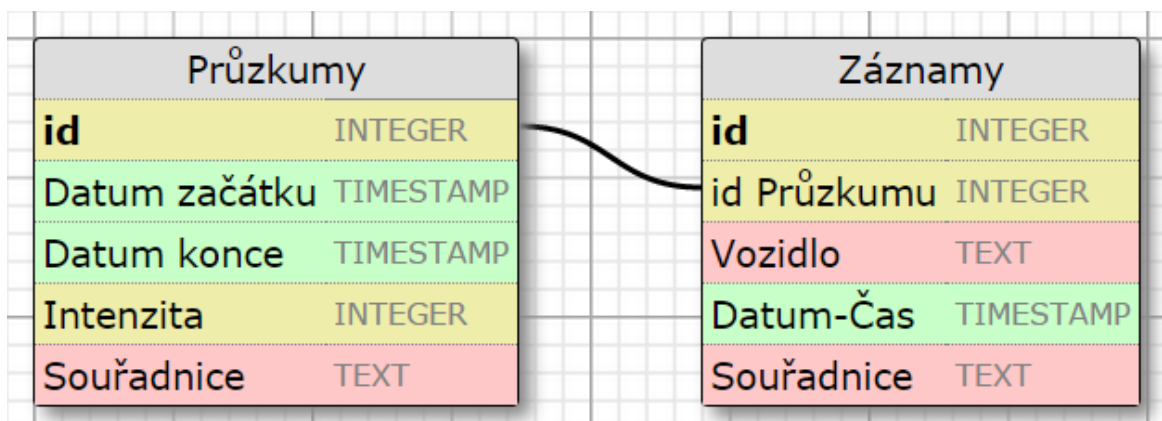
V aplikaci byly využity tři z pěti výše uvedených způsobů. Ukládání do vnitřních pamětí omezuje přístup k souborům z externích aplikací a neumožňuje pomocí vestavených komponent operačního systému soubory sdílet. Každopádně je zapotřebí ukládat soubor s výsledky průzkumu na externí uložení a nevidím důvod, aby data byla uložena na vnitřní paměti. Taktéž v dané fázi vývoje není využita možnost ukládání na vzdálené servery, ale pokud o aplikaci najde uplatnění v praxi, realizace komunikace se serverem je jenom otázka času.

Do sdílených nastavení jsou uložena jenom data o stavu přepínače nebo dostupnosti vibrace při dotyku tlačítek.

Externí uložení se používá pro ukládání souboru XML, který obsahuje záznamy s jednotlivého průzkumu a následně tento soubor může být sdílen jinými nainstalovanými aplikacemi, např. poslán v příloze elektronickou poštou, nahrán do oblačního uložení, sdílen prostřednictvím Bluetooth nebo NFC aj.

5.2.1 Databáze

Záznamy tvoří větší část ze všech dat, která aplikace ukládá, jsou strukturovaná, a proto bylo rozhodnuto o jejich ukládání do databáze. Prostřednictvím SQLite je možné snadno data dohledávat, aplikovat různé filtry a samozřejmě je mazat. Při prvním návrhu jsem uvažoval jenom o jedné tabulce, ale jelikož je zapotřebí rozlišovat příslušnost záznamu jednotlivým průzkumům, v jedné tabulce by docházelo k redundanci identifikátoru průzkumu. Proto jsem vyčlenil zvlášť tabulku, která bude obsahovat data o průzkumu a zvlášť tabulku se záznamy (viz Obrázek 13). Do první se zaznamenává identifikátor průzkumu, který je klíčem, hodnoty začátku a konce průzkumu, počet záznamu a průměr ze souřadnic příslušného průzkumu tj. průměrná poloha.



Obrázek 13. Struktura použité databáze

Druhá tabulka je naplněná daty s identifikátorem záznamu (primární klíč), identifikátor průzkumu je cizím klíčem, který určuje příslušnost záznamu určitému průzkumu z předchozí tabulky, druhem vozidla, časovým razítkem a polohou, kde byla událost zaznamenána.

5.3 Realizace části programování

S programováním v jazyce Java, ani s programováním pro operační systém Android, jsem se nikdy neměl příležitost setkat. Vyžádalo to velkou časovou náročnost a poměrnou část práci jsem musel věnovat samostudiu a doplňování chybějících znalostí.

V předchozí podkapitole jsem již zmiňoval, že každá obrazovka aplikace se nazývá Activity. Activity má svůj životní cyklus, přičemž při přechodech z jednotlivých stavů můžeme pomocí metod provádět určité operace. Tak, například, při spuštění Activity bude vykonán zdrojový kód, obsazený v metodě onCreate() a při pozastavení – v metodě onPause(). Podobným způsobem je umožněno provádět vlastní úkony za různých okolností.

Po skončení jedné Activity často je zapotřebí poslat data do následující. V mém případě při přechodu z úvodní obrazovky na obrazovku určenou pro měření je nutné poskytnout data o začátku a konce měření. Pro sdílení malého množství hodnot je nám k dispozici metoda putExtra() třídy Intent. Objekt Intent používáme při požadování reakce od jiných komponent aplikace. Umožňuje nejenom spouštět Activity a služby, ale také i posílat do nich data.

V zdrojovém kódu se v přílohách nebo uvedeném v textu bude vyskytovat objekt Log. Jedná se o API pro ukládání informací obsazené v parametrech do žurnálu činnosti. Například následující ukázka zdrojového kódu uloží řetězec symbolů do žurnálu ladění (debug) s tágem, obsazeným v proměnné TAG.

```
Log.d(TAG, "Událost proběhla úspěšně");
```

Zdrojový kód 14. Příklad použití objektu Log

Dalším způsobem pro zobrazování zpráv je použití objektu Toast. Jedná se o nejjednodušší možnost zobrazení informací, která je založená na dialogích v OS Android. Zobrazí zprávu v dolní části obrazovky a následně po několika sekundách zmizí. Na obrázku Obrázek 14 je znázorněna krátká Toast zpráva s příslušným zdrojovým kódem.



```
Toast.makeText(this, "Poslední záznam byl smazán",
    Toast.LENGTH_SHORT).show();
```

Obrázek 14. Příklad krátké Toast zprávy s příslušným zdrojovým kódem

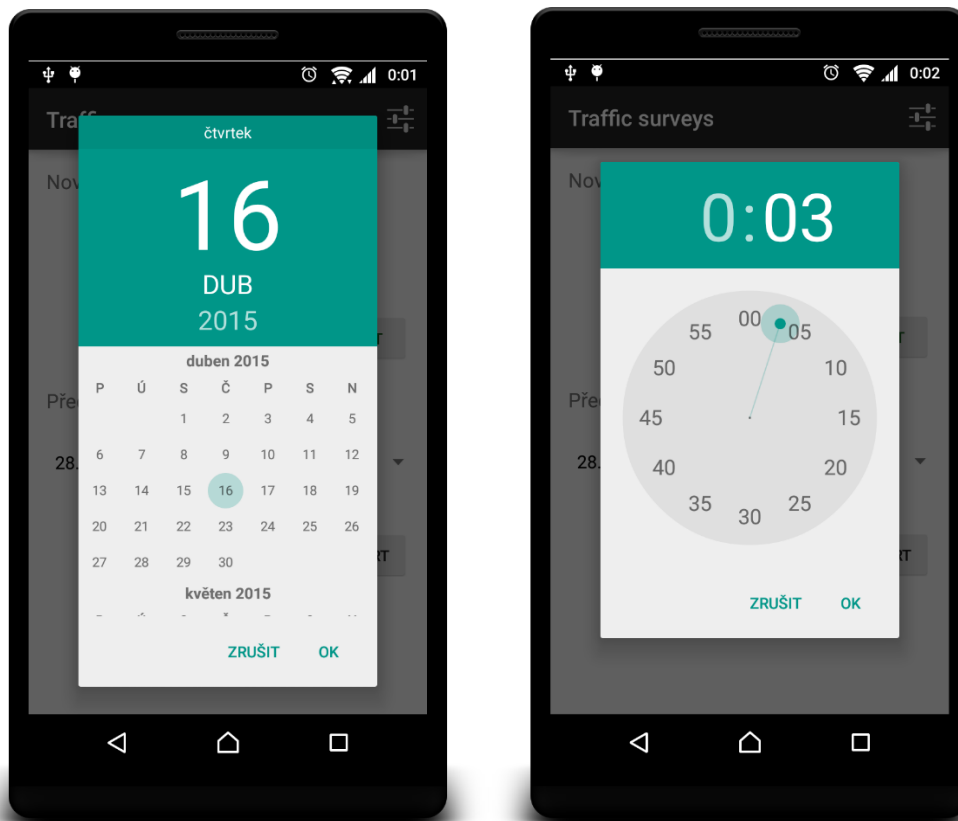
Zdroj: autor

5.3.1 Úvodní obrazovka

Na úvodní obrazovce (viz obrázek Obrázek 10. Rozložení úvodní obrazovky), se nacházejí prvky pro zvolení data a času, volbu operaci s předešlými průzkumy a tlačítko pro přechod do nastavení. Nadpisy jsou zastoupeny statickými hodnotami, které jsou uloženy v souboru s rozložením. Provádět změny jejich obsahu nebo vzhledu, zatím není potřeba a proto nejsou inicializovány v souboru MainActivity.java, ve kterém se nachází zdrojový kód dané Activity.

5.3.1.1 Nový průzkum

Při spuštění uživatel potřebuje nastavit hodnoty začátku a konce průzkumu. Mobilní operační systémy z hlediska propracovanosti uživatelského rozhraní jsou mnohem pokročilejší v porovnání se svými staršími bratří, běžícími na stolních počítačích. Umožňují se zbavit složitého zadávání dat s určováním formátování v závislosti na různých předvolbách systému a jazyka. Poskytuje danou funkcionalitu do jisté míry samostatná entita, která ale žije spolu s Activity s názvem dialog. Přesněji pro volbu data slouží DatePickerDialog a pro volbu času – TimePickerDialog, pomocí kterých je zprostředkována příjemnější interakce uživatele s aplikací. Na snímcích obrazovky na obrázku Obrázek 15 jsou zobrazeny příslušné dialogy.



Obrázek 15. Vzhled dialogů DatePickerDialog (vlevo) a TimePickerDialog (vpravo)

Zdroj: autor

Dialogy jsou vyvolány procedurou `onCreateDialog`, do které předáme identifikátor dialogu. Je to sice způsob zastaralý a v posledních verzích Androidu je doporučeno používat tzv. fragmenty [28], ale během vývoje fragmenty způsobovali komplikace. Především vyvolávaly pád aplikaci za následujících podmínek:

- na obrazovce musí být zobrazen aktivní dialog `DatePickerDialog` nebo `TimePickerDialog`,
- musí dojít k otočení zařízením příp. k vyvolání události pro překreslení aktuální Activity.

Nepodařilo se mi vypátrat zdroj podobného chování, a proto jsem byl nucen vyloučit použití fragmentů pro účely zobrazení dialogy s volbou data nebo času.

Při spuštění Activity proměnná začátku průzkumu je nastavena na aktuální čas a datum. Konec průzkumu je ve výchozím nastavení posunut o jednu hodinu dopředu. Výchozí délka průzkumu taktéž činí jednu hodinu a po volbě času začátku pomoci dialogu `TimePickerDialog` čas konce je vždy posunut o výchozí délku. O implementaci volby data konce měření jsem uvažoval, ale nepředpokládám, že během použití aplikace vyskytne potřeba sledovat změny dopravy přes 24 hodin pomoci ručního měření. Pokud by se vyskytl podobný požadavek,

hlavními omezujícími faktory budou jak schopnost osoby provádějící průzkum zaznamenávat data v průběhu dvou desítek hodin, tak i především baterie zařízení, která v běžném chytrém mobilu nebo tabletu nezaručí dostatečnou výdrž pro tento účel. Proto uživateli je umožněno zadávat jenom čas konce a aplikace následně porovná čas začátku s časem konce průzkumu, a pokud konec měření je před začátkem, přičte k datu měření jeden den.

Tlačítko pro začátek průzkumu je umístěno pod oddílem s volbou času a při jeho stisknutí proběhne nejenom spuštění dalšího Activity. Ale zaprvé musíme uložit data do databáze. Z dialogu pro zadávání časů a data získáváme hodnoty začátku a konce průzkumu a ukládáme je do příslušné tabulky. Výsledkem operace bude hodnota identifikátoru průzkumu (viz Zdrojový kód 15. Příklad uložení dat o průzkumu do databáze).

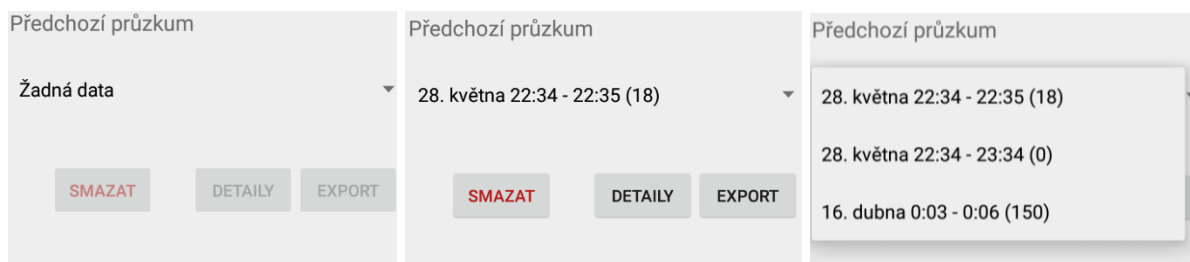
```
cvPruzkum.put(ZACATEK, calBegin.getTimeInMillis());
cvPruzkum.put(KONEC, calEnd.getTimeInMillis());
cvPruzkum.put(INTENZITA, 0);
cvPruzkum.put(SOURADNICE, "N/A");
// insert data
Log.d(TAG, "data prepared");
long rowID = dbPruzkumy.insert("pruzkumy", null, cvPruzkum);
Log.d(TAG, "data inserted with id = " + rowID);
```

Zdrojový kód 15. Příklad uložení dat o průzkumu do databáze

Získaný identifikátor uložíme a spolu s hodnotami začátku a konce průzkumu pošleme do další Activity (viz přílohu Zdrojový kód A. 1), které je věnována podkapitola 5.3.2.

5.3.1.2 Předchozí průzkum

Dolní část obrazovky je věnovaná operacím s již naměřenými daty. Volbu předchozího průzkumu zajišťuje prvek Spinner, který po kliknutí zobrazí rozevírací nabídku obsahující data z databáze (viz Obrázek 16). Při spuštění Activity z tabulky průzkumu budou získána data a jednotlivých měření. Následně jsou převedeny do řetězce, který obsahuje údaje o začátku průzkumu, konce průzkumu, a počtu záznamů ve formátu v souladu s místními předvolbami zařízení.



Obrázek 16. Ukázka různých stavů prvku Spinner

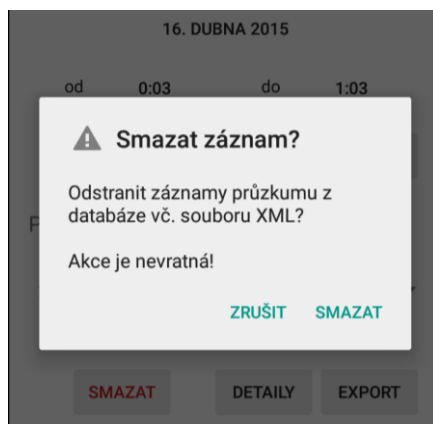
Zdroj: autor

Pokud by tabulka průzkumů neobsahovala žádná data, a to z důvodu, že se pomocí aktuálního zařízení žádné měření neprovádělo, anebo v případě že uživatel odstranil všechny záznamy, prvek Spinner zobrazí jenom informaci o chybějících datech a samotný prvek, včetně se níže nacházejících tlačítek, se přepne do neaktivního modu.

Když aplikace nalezne v databázi záznamy o předchozích průzkumech, uživateli se nabídne možnost provést se zvoleným průzkumem jednu z třech akcí prostřednictvím odpovídacích tlačítek:

- smazat,
- detaily,
- export.

V případě, že si uživatel rozhodne odstranit vše záznamy z příslušného průzkumu, stačí jenom klepnout na první tlačítko. Vytvoří se nový objekt AlertDialog, který je také z rodiny dialogů a podoben DatePickerDialog nebo TimePickerDialog, sloužící se pro zobrazení většího objemu informací a obsahuje totiž možnost volby následující operaci. Aplikace se zeptá uživatele, jestli on stále má úmysl data odstranit, a nabídne možnost uzavření dialogu s odstraněním záznamů anebo se zrušením operace (viz příloha Zdrojový kód A. 2). Snímek obrazovky zachycuje následující obrázek:



Obrázek 17. Prvek AlertDialog s varováním o odstranění záznamů

Zdroj: autor

Jestli uživatel rozhodne ve svém záměru pokračovat, budou data z databáze odstraněna a to následujícím způsobem:

1. uloží se poloha zvoleného průzkumu z rozevírací nabídky prvku Spinner, která odpovídá číslu řádku v tabulce,
2. provede se pokus o odstranění souboru XML z externího úložiště,

3. dle polohy se z tabulky průzkumů získá příslušný identifikátor (klíč),
4. odstraní se záznam z tabulky průzkumů s odpovídajícím klíčem,
5. z tabulky záznamů budou odstraněny všechny řádky s odpovídajícím cizím klíčem ve sloupci s identifikátory průzkumů.
6. Zobrazí se Toast dialog se zprávou o úspěšném výsledku operace.

Všechny změny jsou nevratné o čem uživatel informován pomocí předchozího dialogu.

Že by uživatel rozhodl záznamy neodstraňovat či databáze stále není prázdná, nabízí se prostřednictvím prvku Button s názvem „Detaily“ možnost zobrazení informací o zvoleném průzkumu. Podrobnosti jsou zobrazeny také v dialogu, který je vytvořen po klepnutí na příslušné tlačítko. Do zprávy objektu AlertDialog je umístěna informace z tabulky průzkumů (začátek, konec, průměrná poloha a počet událostí) a seznam všech druhů událostí s odpovídající četností z tabulky záznamů. Zjišťování daných hodnot z databáze je v porovnání s mazáním složitější:

1. uloží se poloha zvoleného průzkumu z rozevírací nabídky prvku Spinner, která odpovídá číslu řádku v tabulce,
2. dle polohy se z tabulky průzkumů získá příslušný identifikátor (klíč), hodnoty začátku a konce průzkumu a poloha,
3. z tabulky záznamů se získají všechny druhy událostí,
4. postupně pro každý druh události se zjistí její četnost.

Body č. 3 a č. 4 z výše uvedeného algoritmu v aplikaci implementován následujícím způsobem:

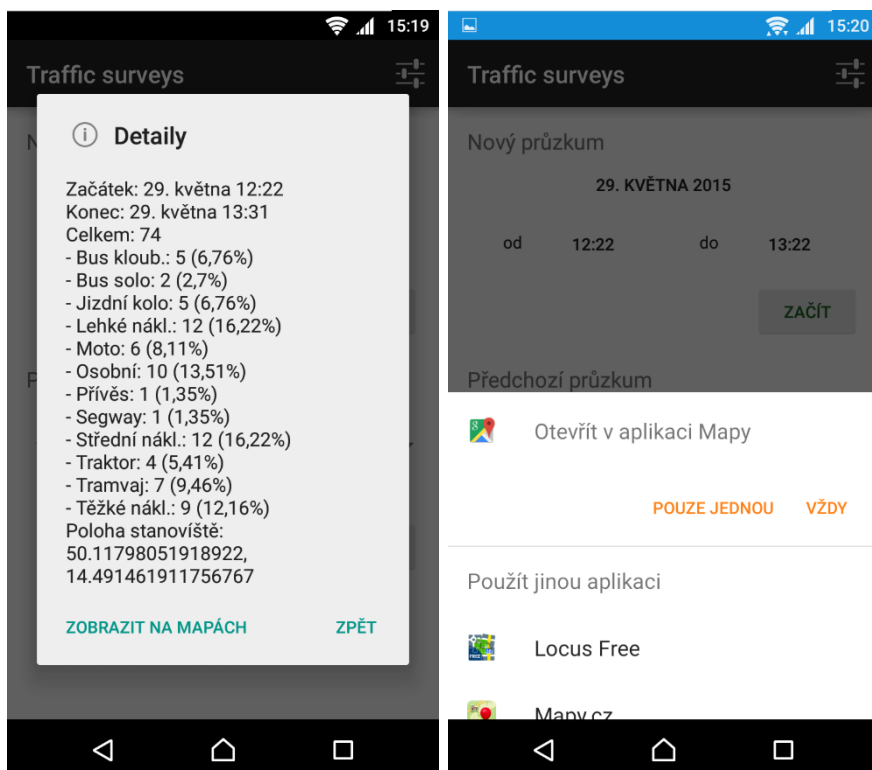
```

Cursor c2 = dbPruzkumy.query(TABLE_ZAZNAMY,
    new String[]{VOZIDLO},
    ID_PRUZKUMU + " = " + pos,
    null,
    VOZIDLO, null, null);
List<String> SCategories = new ArrayList<String>();
List<Integer> Pocy = new ArrayList<Integer>();
if (c2.moveToFirst()) {
    do {
        String sCategorie = c2.getString(c2.getColumnIndex(VOZIDLO));
        SCategories.add(c2.getString(c2.getColumnIndex(VOZIDLO)));
        Pocy.add((int) DatabaseUtils.longForQuery(dbPruzkumy,
            "SELECT COUNT(*) FROM " + TABLE_ZAZNAMY +
            " WHERE " + ID_PRUZKUMU + " = " + pos +
            " AND " + VOZIDLO + " = '" + SCategories.get(i) + "'"
            , null));
        i++;
    } while (c2.moveToNext());
}

```

Zdrojový kód 16. Ukázka algoritmu získávání z databáze dat o událostech a jejich četnostech

Následně, pokud se podařilo získat údaje o přibližné poloze stanoviště, bude připraven textový řetězec URI pro zobrazení polohy ve formátu: *geo:LAT, LONG? q = LAT, LONG*, kde *LAT* – zeměpisná šířka a *LONG* – zeměpisná délka. Taktéž AlertDialog je doplněn o tlačítko, které spustí nové Activity. V případě, že v operačním systému vyskytuje jedna nebo více aplikací schopných zpracovat dané URI, bude spuštěn příslušný software anebo uživatel bude moci si zvolit aplikaci, pomocí které URI bude zpracováno. Na Obrázek 18 jsou snímky obrazovky s informací o průzkumu a volbou aplikace pro zobrazení polohy.



Obrázek 18. Ukázka dialogu s informací o průzkumu a nabídka volby aplikace pro zpracování URI se souřadnicí

Zdroj: autor

Pokud během průzkumu od služby zjišťování polohy nebude možné získat souřadnice, do sloupce se souřadnicemi bude uložena hodnota N/A a v dialogu nebude zobrazovaná možnost zobrazování na mapách.

Ukládání a následné sdílení lze provést dotykem tlačítka „Export“. Ve složce „průzkumy“ na externí paměti bude vytvořen XML soubor. Do kořenového elementu s názvem „Průzkum“ jsou vnořeny elementy „Vlastnosti“ a „Záznamy“. První obsahuje elementy s průměrnou polohou, začátkem měření, koncem měření a unikátním identifikátorem zařízení, ve kterém soubor byl vytvořen. V záznamech se nachází element „událost“, obsahující elementy s druhem události,

časovým razítkem a souřadnicemi. Struktura je znázorněna ve Zdrojový kód 17 a ukázka vzorového souboru je v příloze Zdrojový kód A. 1.

```
<Průzkum>
  <Vlastnosti>
    <Lokalita>
      <souřadnice></souřadnice>
    </Lokalita>
    <Začátek>
      <datum></datum>
      <čas></čas>
      <pásmo></pásmo>
    </Začátek>
    <Konec>
      <datum></datum>
      <čas></čas>
      <pásmo></pásmo>
    </Konec>
    <devID></devID>
  </Vlastnosti>
  <Záznamy>
    <událost>
      <Vozidlo></Vozidlo>
      <Datum></Datum>
      <Čas></Čas>
    </událost>
  </Záznamy>
</Průzkum>
```

Zdrojový kód 17. Struktura XML, dle které aplikace generuje výstupní soubor

Po skončení vlákna vytváření souboru aplikace nabídne uživateli tento soubor sdílet prostřednictvím standardní Activity, která již byla použita pro zobrazení souřadnic na mapách. Kromě samotného URI s cestou k souboru, taktéž obsahuje informaci o jeho typu. Mezi podporované aplikace, například, patří poštovní klienty, Google Drive, sdílení pomocí Bluetooth nebo NFC.

V liště Action Bar se nachází tlačítko s ikonou, dotyk které přesměruje uživatele na obrazovku s předvolbami.

5.3.2 Obrazovka pro průzkum

Activity určená pro zaznamenávání události může být spouštěna pouze tlačítkem z úvodní obrazovky. V první řadě je nastaven parametr pro zabránění zhasnutí obrazovky, aby uživatel nemusel měnit systémová nastavení. Při startu obdržíme na vstupu údaje o začátku a konce průzkumu, které slouží pro vytváření prvku ProgressBar, jehož maximální hodnota činí:

$$PB_E = T_E - T_B \quad (11)$$

kde: PB_{max} maximální hodnota prvku ProgressBar,

T_E čas konce průzkumu
 T_B čas začátku průzkumu

Taktéž při spuštění Activity bude vytvořeno vlákno, které slouží čtyřem účelům:

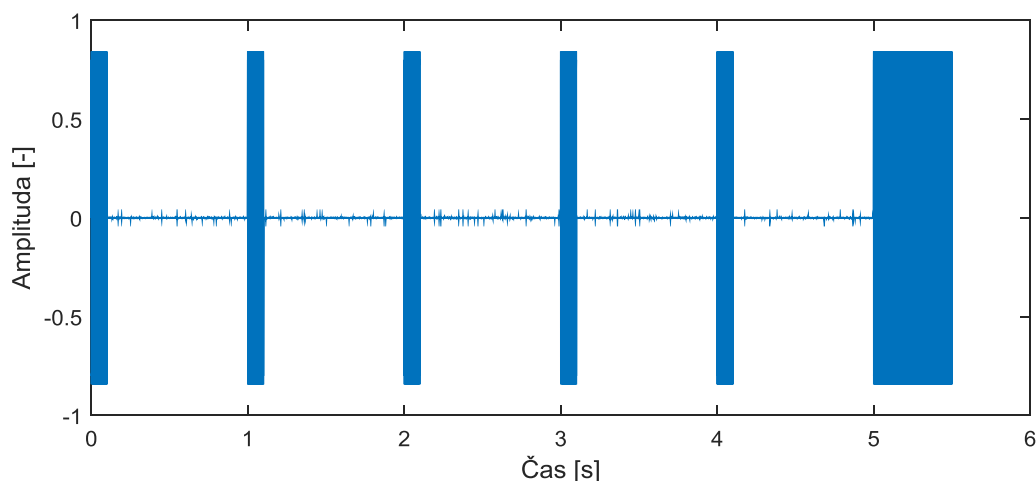
- aktualizace textu v prvku TextView s aktuálním časem,
- nastavení aktuální hodnoty prvku ProgressBar,
- těsně před začátkem a po skončení průzkumu přehraje příslušné zvuky.

Aktuální hodnotu pro prvek ProgressBar spočítáme podle podobného vztahu, jako je rovnice (11), ale místo času konce průzkumu dosadíme aktuální čas:

$$PB_N = T_N - T_B \quad (12)$$

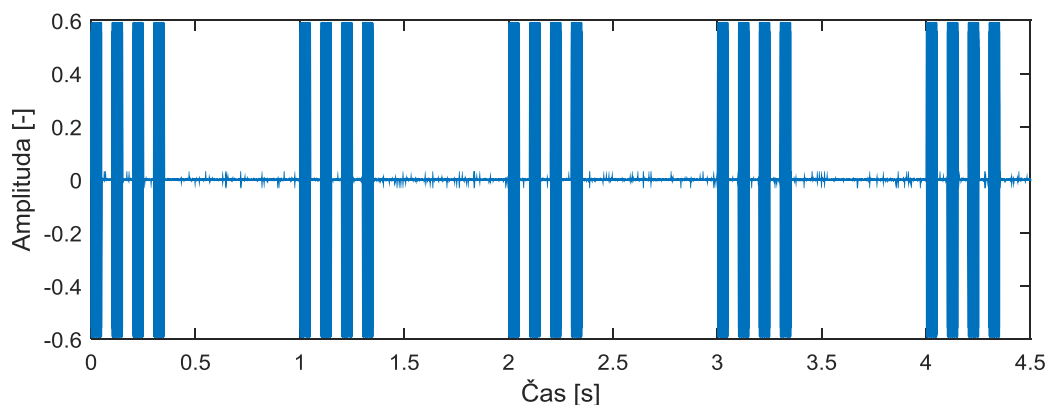
kde: PB_N aktuální hodnota prvku ProgressBar,
 T_N aktuální čas
 T_B čas začátku průzkumu

Rozhodl jsem, že když začátek a konec průzkumu bude provázet i zvuk – usnadní to měření a uživatel s větší pravděpodobností začne měření včas. Pro zvuk začátku jsem se inspiroval zvukem greenwichského času (Greenwich Time Signal) [33], který se celosvětově používá v rozhlasu pro kalibraci hodin. Je složen z pěti krátkých pípnutí s frekvencí 1 kHz o délce trvání 0,1 s a jednoho delšího trvajícím 0,5 s, které jsou rozděleny pauzami s trváním 0,9 s. Graf je znázorněn na obrázku Obrázek 19. Se zvukem taktéž je synchronizovaná vibrace. Zvuk se začíná přehrávat za pět vteřin před začátkem průzkumu.



Obrázek 19. Graf znázorňující zvuk začátku průzkumu

Zvuk pro ukončení byl použit v podobě série tří pípnutí o frekvenci 2 kHz. Pauzy v sérii jsou o délce 0,05 s. Mezi sériemi pauza činí 0,65 s. Na obrázku č. XX je k nahlédnutí graf zvuku. Analogicky zvuku začátku při přehrávání zvuku na konce spouští se vibrace.



Obrázek 20. Znárodnění zvuku konce průzkumu

Zdroj: autor

Po spuštění se načítají hodnoty se sdíleného nastavení ShredPreferences. Je zapotřebí zjistit, jestli v předvolbách je povolena funkce vibrace.

Dále inicializuje se objekt poskytující informaci o poloze (viz přílohu Zdrojový kód A. 4). Nastavují se zdroj dat: jestli pro určování polohy budou použity přístupové body bezdrátové sítě a poloha vysílacích stanic mobilní sítě nebo budou použity služby GNSS, které jsem i zvolil. Pokud služba určování polohy nemůže poskytnout aktuální pozici, v dolním prvku TextView se zobrazí nadpis „N/A“ červené barvy. Po obdržení správných dat s polohou, zobrazí se aktuální souřadnice spolu s přesností zelenou barvou. U prvku může dojít ke změně barvy na oranžovou v případě dočasné nedostupnosti signálu z družic

Na horní liště se nachází tlačítko pro přepínání režim odstranění záznamů. Po jeho zapnutí se změní barva horní lišty na červenou, aby uživatel měl možnost jednoduše poznat, jestli data budou zaznamenávána nebo odstraňována. A následně je nutné provést volbu události, kterou je potřeba odstranit. Taktéž tlačítko nebude zobrazeno, dokud aplikace nezaznamená alespoň jeden výskyt události. Na následujícím obrázku jsou znázorněny všechny stavy lišty ActionBar.



Obrázek 21. Ukázka různých stavu horní lišty ActionBar

Zdroj: autor

Pokud uživatel se dotkne jakéhokoliv tlačítka s ikonami kategorií událostí, zaprvé se zaznamená čas a pro záznam události bude vyvolána metoda `updateData`, do které předáme časové razítko, objekty tlačítka a nadpisů na něm a řádkem se sloupcem, kterému přísluší. Následně lze rozdělit průběh na dva případy: režimu zaznamenávání záznamu a režim odstraňování záznamu. Společnou mají jenom část, týkající se aktualizaci nadpisů na příslušném tlačítku tj. prvků `TextView`, které ve skutečnosti překrývají jeho a hodnota celkového počtu záznamů.

Při zaznamenávání dat, tabulka záznamů bude doplněná o nový řádek obsahující aktuální časové razítko, souřadnice, jestli jsou dostupné, a druh události získaný z prvku `TextView`, který se nachází na tlačítku. Podobný přístup umožňuje jenom změnou názvu i ikony v příslušném souboru `layout` dosáhnout určité přizpůsobivosti aplikace pro různé průzkumy a kategorie událostí.

Při odstranění záznamu se ze stejnojmenné tabulky získají řádky odfiltrované podle hodnoty ve sloupci druhu události s kategorií odpovídající názvu tlačítka a seřazené sestupně podle klíče. Z prvního řádku bude získaná hodnota identifikátoru. Z druhého řádku bude získán časový údaj, který po odstranění poslední události musí být zobrazen na tlačítku a proběhne odstranění prvního řádku. V případě úspěšnosti operace bude zobrazena `Toast` zpráva, v opačném případě obdobně zobrazíme uživateli zprávu o tom, že žádné záznamy odpovídající kategorií tlačítka neexistují. Implementace algoritmu odstranění je následující:

```

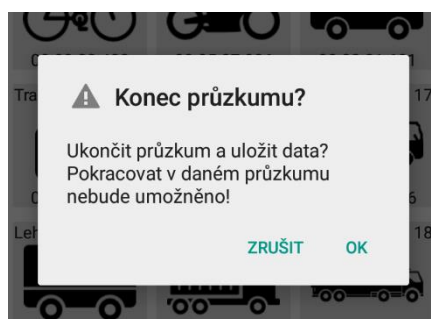
Cursor cPruz = dbPruzkumy.query(TABLE_ZAZNAMY,
    new String[]{ID, ID_PRUZZKUMU, VOZIDLO, TIMESTAMP},
    ID_PRUZZKUMU + " = " + id + " AND " + VOZIDLO + " = '" + sCat+"'",
    null, null, null, ID + " DESC", "1");
cPruz.moveToFirst();
long idDelete = cPruz.getLong(cPruz.getColumnIndex(ID));
Log.d(TAG, "Get id to delete " + idDelete);
timestamp = cPruz.getLong(cPruz.getColumnIndex(TIMESTAMP));
Log.d(TAG, "Get timestamp to delete " + timestamp);
if (cPruz.moveToNext()) {
    timestamp = cPruz.getLong(cPruz.getColumnIndex(TIMESTAMP));
} else {
    timestamp = 0;
}
dbPruzkumy.delete(TABLE_ZAZNAMY, ID + " = " + idDelete, null);

```

Zdrojový kód 18. Ukázka algoritmu odstranění chybného záznamu

Ted' v obou dvou režimech bude vykonána aktualizace prvků TextView příslušného tlačítka a hodnoty celkového počtu výskytu událostí, která nahradí v tabulce průzkumů staré číslo. Taktéž spočítáme průměrnou polohu na základě všech hodnot v tabulce záznamů pro současný průzkum a její hodnotou aktualizujeme tabulku průzkumů.

Dále jsem se pokusil minimalizovat šanci nechtěného opuštění obrazovky s průzkumem ukončením příslušné Activity. Při pokusu o ukončení Activity pomocí softwarového nebo hardwarového tlačítka „zpět“ bude zobrazen dialog AlertDialog, který je znázorněn na Obrázek 22, prostřednictvím kterého uživatel bude varován o tom, že pokud on opustí obrazovku, pokračovat v současném průzkumu nebude umožněno. Ale před tím, než Activity bude ukončená, provede se aktualizace času ukončení průzkumu v tabulce průzkumů.



Obrázek 22. Prvek AlertDialog zabraňující náhodnému opuštění obrazovky pro měření

Zdroj: autor

5.3.3 Předvolby

Poslední Activity, která je reprezentovaná v aplikaci obrazovkou s předvolbami je poměrně jednoduchá a není tak složitá, jako ostatní. Při její startu se načtou hodnoty ze sdíleného nastavení a v závislosti na nich bude nastaven přepínač funkce vibrace, ale pouze v případě, že zařízení to umožňuje, jinak prvek Switch nabyde atributu neaktivní. Po změně stavu prvku jeho hodnota se uloží zpět do sdíleného nastavení.

Dále je inicializován objekt LocationManager, který ale narozdíl od předchozího Activity je obphacen o instanci GpsStatus.Listener, poskytující informaci o počtu satelitu, které zařízení vidí a kolik z nich použito pro zjišťování polohy. Danou informaci budeme zobrazovat v příslušném TextView a měnit jeho barvu.

Se synchronizací hodin nastal poněkud nečekaný problém. V nastaveních operačního systému lze nalézt funkci pro automatické nastavení času pomocí dat ze sítě. Android nedovoluje z bezpečnostních důvodů nesystemovým aplikacím nastavovat hodiny. Tohle omezení se dá obejít pouze tzv. rootováním, které, bohužel, není v souladu se záručními podmínkami. Takže funkci synchronizaci hodin se mi nepodařilo realizovat, a proto tlačítko byla ponechána jenom funkce pro porovnání času získaného pomocí GNSS a hodin v systému. Nebo tuhle funkci lze využít pro porovnání hodin mezi různými zařízeními. Tlačítko bude neaktivní do té doby, pokud nebude navazano spojení s družicemi.

Ale narazil jsem na jednu velmi zajímavou závislost – několikanásobné kliknutí na tlačítko umožňuje zmenšit odchylku mezi hodinami na GNSS a v systému. V dokumentaci není vysvětlení daného děje. Předpokládám, že při žádosti o aktualizaci dat stisknutím tlačítka, LocationManager poskytuje tato data celosystemově a oni mohou být použita operačním systémem pro zpřesnění hodin.

6 Ověření funkčnosti realizovaného návrhu

Ověření jsem prováděl ze třech hledisek. V první řadě bylo posouzeno splnění požadavků, jestli jsou realizovány všechny funkce, které nejsou implementovány. Dále bylo provedeno vyzkoušení aplikace v praxi a výsledky porovnány s papírovými záznamy. Třetí hledisko je analýza využití baterie a její životnosti při použití aplikace.

6.1 Spotřeba energie aplikací

Analýza životnosti zařízení byla provedena dvěma způsoby: bez spouštěné aplikace a se spouštěnou aplikací. Stanovil jsem následující podmínky pro provedení měření:

- zapnutý režim „v letadle“ s omezením bezdrátové komunikaci,
- délka měření činí dvě hodiny,
- jas obrazovky je maximální,
- zařízení na začátku měření musí být plně nabitá,
- v přístroji musí být zapnuta funkce zjišťování polohy.

K dispozici jsem měl tři zařízení. Dva z nich jsou chytré mobily: Sony Xperia Z3 Compact, HTC One V a jeden tablet Asus Nexus 7 2013. v následující tabulce jsou uvedeny základní charakteristiky zařízení:

Tabulka 7. Charakteristiky zařízení použitých pro testování aplikace

	Sony Xperia Z3 Compact	HTC One V	Asus Nexus 7 2013
Velikost displeje [palce]	4.6	3.7	7
Rozlišení obrazovky [pixely]	720 x 1280	480 x 800	1920 x 1200
Operační systém	Android 5.0.2	Android 4.2.2	Android 5.1.1
Kapacita baterie [mAh]	2600	1500	3950
Frekvence procesoru [GHz]	2.5	1	1.5
Počet jader	4	1	4
Processor	Qualcomm Snapdragon 801 8974-AC	Qualcomm Snapdragon S2 MSM8255	Qualcomm Snapdragon S4 Pro APQ8064

Ze zařízení byly průběžně získávány hodnoty napětí a úrovně baterie. Ale jelikož nesmějí být připojeny k počítači, protože jinak by docházelo k nabíjení, zařízení musí zaznamenávat jednotlivé stavy samostatně, což také vyžaduje výpočty a zrychluje vybíjení. Na HTC One V je nainstalována alternativní verze firmware bez jakýchkoliv doplňkových aplikací, jelikož výrobce žádné aktualizace obsahující operační systém Android novější, než verzi 4.0 nevydával.

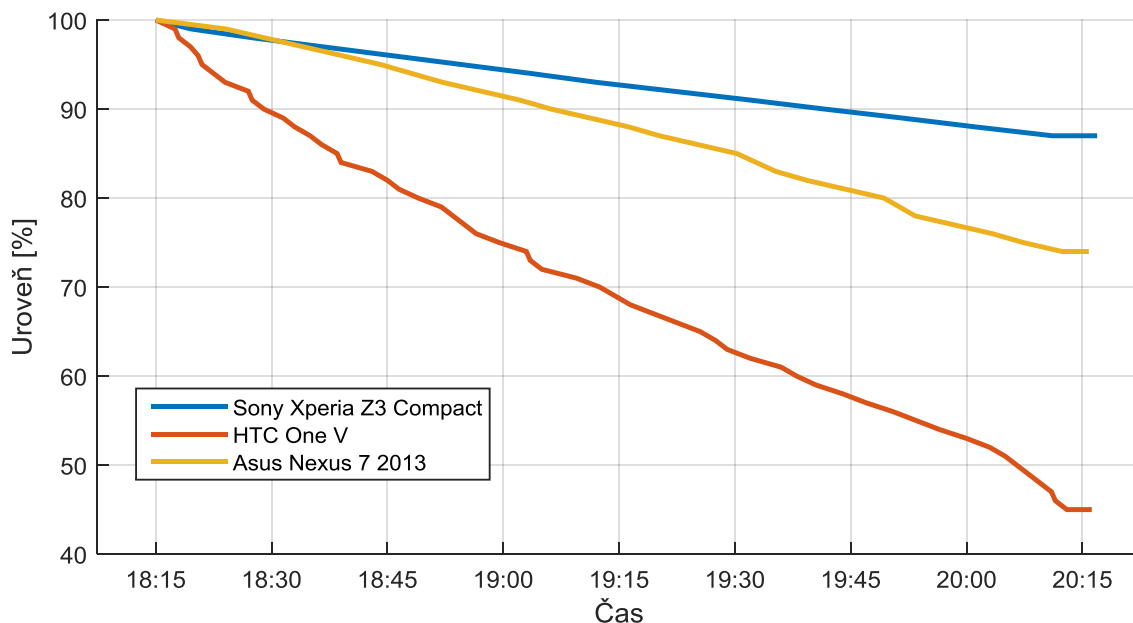
Ostatní dva přístroje běžně se používají a mají nainstalovány různý software od třetích stran, takže na čistém systému lze očekávat delší životnost baterie.

První měření se spouštěnou aplikací proběhlo v čase mezi 18:15 a 20:15. Snažil jsem se maximálně dodržovat stejné podmínky pro měření a zaříjení byla umístěna v jedné poloze a na jednom místě maximálně blízko od sebe. Po dvou hodinách měření byly odečteny následující hodnoty:

Tabulka 8. Naměřené hodnoty stavu baterie při spuštěné aplikaci

Název přístroje	Hodnoty na začátku měření		Hodnoty na konce měření	
	Stav úrovně baterie [%]	Napětí baterie [mV]	Stav úrovně baterie [%]	Napětí baterie [mV]
Sony Xperia Z3 Compact	100	4277	87	4089
HTV One V	100	4166	45	3785
Asus Nexus 7 2013	100	4272	74	3989

Zjištěný stav úrovně baterie má následující průběh (detailnější grafy a průběhy napětí baterie jsou v přílohách Obrázek B. 1, Obrázek B. 2, Obrázek B. 3 a Obrázek B. 4):



Obrázek 23. Průběhy stavu úrovně baterie při měření se spuštěnou aplikací

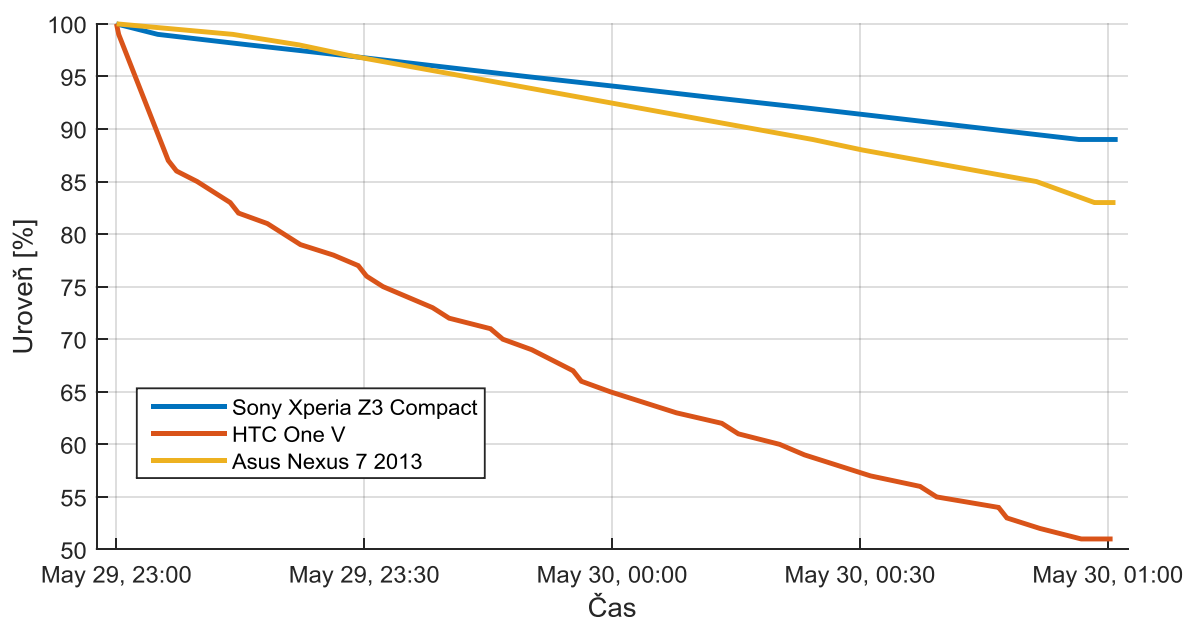
Zdroj: autor

Do jisté míry výsledky pro mě byly překvapující. Zaprvé jsem nečekal, že HTC One V prokáže tak velký pokles napětí. Předpokládal jsem, že kvůli slabší výpočetní jednotce a menší obrazovce, jak rozlišením, tak i velikosti, nároky na vestavenou baterii budou menší. A ze stejného důvodu průběh nejvýkonnějšího přístroje je pro mě neočekávaně mírný. Teď je zapotřebí zjistit, do jaké míry zjištěné průběhy souvisí s aplikací.

Další pokus byl proveden poté, co zařízení byla nabitá a ponechána na další dvě hodiny se zapnutou obrazovkou. Zjištěné hodnoty jsou v Tabulka 9 a průběh stavu baterie je na Obrázek 24.

Tabulka 9. Naměřené hodnoty stavu baterie bez spuštěné aplikace

Název přístroje	Hodnoty na začátku měření		Hodnoty na konce měření	
	Stav úrovně baterie [%]	Napětí baterie [mV]	Stav úrovně baterie [%]	Napětí baterie [mV]
Sony Xperia Z3 Compact	100	4289	89	4160
HTV One V	100	4135	51	3796
Asus Nexus 7 2013	100	4286	83	4053



Obrázek 24. Průběhy stavu úrovně baterie při měření se spuštěnou aplikací

Zdroj: autor

Jak z grafu, tak i z naměřených hodnot je vidět, že aplikace zatěžuje přístroje v malé míře. Je to dáno především v souvislosti s využitím služby zjišťování polohy. A celkově je nutné dbát na to, aby zařízení mělo větší životnost baterie pro časově náročnější měření. Z daného hlediska pokládám aplikaci za využitelnou v praxi, ale se výsledky mohou lišit v závislosti na zařízení, verze operačního systému, a stavu samotné baterie. Proto by bylo vhodné podrobit aplikaci testům na dalších přístrojích.

6.2 Porovnání s papírovými záznamy

Následujícím kritériem bylo vyhodnocení aplikace z hlediska toho, do jaké míry je schopná nahradit papírové záznamy, porovnat přesnost a časovou náročnost.

Pro porovnání bylo nutné zaznamenávat data, jak do formulářů, tak i do aplikace ve stejné časové okamžiky. Nabízelo se dvě cesty – buď provádět průzkum s asistencí třetí osoby anebo zaznamenat pomocí videokamery a následně data přepsat.

Zvolil jsem druhou možnost, jelikož jsem měl k dispozici podklady z vlastní semestrální prací, která byla vypracována na předmětu Řízení uzlu a linie vyučovaným ústavem dopravní telematiky, a cílem daného testu je jenom porovnání způsobů zaznamenávání dat.

Průzkum intenzit byl proveden v ulici Kbelská, na pěší lávce spojující ulici Kytlická (Praha 9) a Opočenská (Praha 18). Byl počítán jenom celkový počet vozidel, která projela určitým profilem v jednom směru (na jih). Délka trvání byla stanovena na 30 minut.

Ve výsledku pomocí aplikace bylo napočítáno 719 vozidel a v papírových formulářích vyskytlo 715 záznamu. Při průměru 717 vozidel není to tak velká odchylka, která je způsobená především lidským faktorem. Rozdíl je především v tom, jak se záznamy se zacházejí po průzkumu.

Při zaznamenávání do papírových formulářů, aby bylo možné získat výsledky je zapotřebí provést následující přepis dat, který je taktéž časově náročný. Když pomocí aplikace lze zjišťovat hodnoty jak během průzkumu, tak i po skončení během několika vteřin mít data nejenom připravená pro následující zpracování, ale i poskytnuta osobě, která průzkum organizovala.

Ze získaných zkušeností mohu doporučit následující. Je vhodné používat se zařízením poutko, aby zabránil škodám, ke kterým může dojít při vyklouznutí přístroje z ruky. Za chladného počasí a použití rukavic je nutné dbát na to, že ne všechny dotykové obrazovky jsou schopné zaznamenávat doteky přes látku. Proto doporučuji buď ověřit, jestli zařízení danou funkci podporuje anebo provádět průzkum v rukavicích s elektrovedivými konečky.

6.3 Výhled do budoucna

Pokud by aplikace měla využití v praxi a byl by o ní zájem, nabízejí se další funkce, které lze implementovat.

Za nejdůležitější pokládám nutnost jednodušší úpravy rozhraní pro průzkumy. Vidím to následujícím způsobem: vzhled a parametry rozhraní budou uloženy v souboru, který lze nahrát do paměti přístroje a následně v aplikaci zvolit možnost načtení vzhledu z příslušného souboru. Takle možnost by umožnila provádět další druhy průzkumu bez nutnosti kompilace

nové aplikaci. Dále se nabízí možnost komunikace softwaru s vlastním serverem, na který mohou být nahraný výsledky a sledován průběh průzkumů.

Předchozí dva body lze spojit a vytvořit celý nástroj pro vzdálenou zprávu zařízení, vizuální úpravu rozhraní, nahrávání souboru do zařízení, umožnit komunikaci zařízení mezi sebou atd.

6.4 Shrnutí

V kapitole 2 byly zjištěny požadavky na software včetně funkcí, které aplikace musí nabízet, jak z hlediska organizátora průzkumu, tak i z hlediska uživatele. Dále uvedu seznam požadavku ze zmíněné kapitoly a podíváme se, na to, co se splnit podařilo.

- Aplikace musí nahradit papírové záznamy: ve větší míře aplikace je schopná nahradit papírové záznamy. Výjimku mohou tvořit velmi zvláštní průzkumy, například, za chladného počasí, kdy může dojít k poklesu kapacity baterie.
- Vynechání přepis dat ze záznamového přístroje do elektronické podoby: podařilo se realizovat v plné míře.
- Uložená data musí mít přehlednou strukturu: díky použití XML formátování struktura souboru je přehledná i pro nezkušeného uživatele.
- Realizace alespoň jednoho univerzálního rozhraní pro průzkumy intenzit: čtrnáct kategorií vozidel v dostatečné míře splňují požadavky na kategorizaci vozidel.
- Možnost přizpůsobení rozhraní: podařilo se realizovat jenom částečně. Bohužel pro změnu ikon na obrazovce pro průzkumy je zapotřebí aplikaci znovu zkompilovat.
- Zabezpečení a zálohování dat: zálohování výsledků měření probíhá během exportu. Databáze jsou uloženy na interní paměti zařízení, výstupní soubor na externí a může být přeposlán uživatelem na vzdálené úložiště. Data v databázi nejsou přístupná uživateli a nemohou být padělána.
- Oprava chybných záznamů: je realizovaná v plné míře.
- Zaznamenávání polohy stanoviště, které je vhodné pro kontrolu průzkumu, organizátorem je taktéž realizováno v plném rozsahu.
- Synchronizace času kvůli omezení operačního systému není realizováno přímo v aplikaci, ale samotný operační systém umí sám synchronizovat hodiny bez zásahu uživatele..

7 Závěr

Nehledě na to, že v současné době díky technickému pokroku nabízené množství dopravních detektorů umožňuje snadné získávání charakteristik dopravního proudu za všelijakých podmínek, stále jsou situace, kde jejich použití je omezeno různými faktory. Patří k nim pořizovací náklady nebo neúčelnost při celoplošných a krátkodobých průzkumech. Ale nezbytnost měřit dopravu v podobných případech nutí k použití zastaralých a náročných způsobu zaznamenávání dat. Právě v dané oblasti je prostor pro realizaci nápadů, které by usnadnily proces zápisu dat a nabídly nové možnosti zpracování.

Cílem této diplomové práce bylo navrhnout software, který by, alespoň v nějaké míře, usnadnil dopravní průzkumy, a aby práce se záznamy neodrazovala nezkušené studenty naší fakulty. První část práce je věnovaná analýze požadavku na software, kde byly zjištěny a stanoveny parametry dopravních proudů, které je možné získávat prostřednictvím dopravních průzkumů. Stanoveny problematické způsoby měření, které je vhodné optimalizovat podporným softwarem a vyřešen způsob ukládání dat, poskytující snadné zpracování záznamů a jejich zabezpečení. Před návrhem proběhlo vyhodnocení platforem poskytujících dostatečný prostor pro realizaci vlastního nápadu v souladu s požadavky. Pro zvolený operační systém byla zjištěna vývojová prostředí, ve kterých bylo možné software vyvíjet, uskutečněno jejich porovnání z hlediska nabízených možností a finančních nákladů. Realizace softwaru se skládala z návrhu uživatelského rozhraní, vyřešení způsobu ukládání dat a samotného vývoje. V závěrečné části byla ověřena funkčnost aplikaci a byly nastíněny funkce pro implementaci v budoucnu.

Realizovaný software byl navrhnout pro podporu ručních měření a nahrazení papírových záznamů, především z důvodu časové náročnosti přepisu dat z papírových formulářů do elektronické podoby. Aplikace byla vyvinuta pro operační systém Android díky jeho rozšíření a cenové dostupnosti. Ze stejných důvodů vývoj probíhal ve standardním vývojovém prostředí Android Studio dodávaném společností Google. Funkčnost byla ověřena na zařízeních s různými verzemi operačního systému a bylo zjištěno, že přístroje s operačním systémem Android umožňují prostřednictvím realizovaného softwaru v dostatečné míře nahradit papírové záznamy.

Součástí elektronických příloh jsou zdrojové kódy realizované aplikace, spustitelný soubor APK pro instalaci softwaru do zařízení s operačním systémem Android 4.2+.

Tištěné přílohy obsahují grafy vyskytující v textu kapitoly 6.1, a které jsou zobrazeny ve zvětšeném měřítku.

Textová část práce byla zpracována v programu MS Word, pro vykreslení grafu byl použit program MATLAB, zvukové soubory byly vytvořeny pomocí otevřeného softwaru Audacity, ikony použité v aplikaci byly vytvořeny autory Freepik a OCHA z webu www.flaticon.com a spadají pod licenci Creative Commons BY 3.0. Návrh databáze se prováděl pomocí nástrojů WWW SQL Designer.

Věřím, že tyto poznatky a navržená řešení budou použity v praxi.

8 Použitá literatura

- [1] ČESKÝ STATISTICKÝ ÚŘAD. Dokončené byty v krajích (ročně) . *Veřejná databáze ČSÚ* [online]. 2015 [cit. 2015]. Dostupné také z: https://vdb.czso.cz/vdbvo/tabparam.jsp?voa=tabulka&cislatab=BYT0030PU_KR&vo=tabulka&kapitola_id=35
- [2] BARTOŠ, Luděk. *Stanovení intenzit dopravy na pozemních komunikacích*. 2. vyd. Plzeň: EDIP, 2012. ISBN: 978-80-87394-06-9.
- [3] KŘIVDA, Vladislav. *Problematika homogenizace dopravního proudu v silniční dopravě* [online]. Číslo 3. Pardubice: Univerzita Pardubice, Dopravní fakulta Jana Pernera, Katedra technologie a řízení dopravy, 2008, s. 39-43 [cit. 2015]. ISSN: 1801-674X.
- [4] ELEFTERIADOU, L.. *An Introduction to Traffic Flow Theory*. Springer, 2013. ISBN: 9781461484356. Dostupné také z: <https://books.google.cz/books?id=VOK5BAAAQBAJ>
- [5] TRANSPORTATION RESEARCH BOARD, NATIONAL RESEARCH COUNCIL. *Highway capacity manual*. Washington, DC: Transportation Research Board, National Research Council, 2000.
- [6] ŘEDITELSTVÍ SILNIC A DÁLNIC ČR. Sčítání dopravy a detekce kolon. *Dopravní info* [online]. 2009 [cit. 2015]. Dostupné také z: <http://www.dopravniinfo.cz/scitani-dopravy-a-detekce-kolon>
- [7] RICHARDSON, A.J., E.S. AMPT a A.H. MEYBURG. *Survey Methods for Transport Planning*. Eucalyptus Press, 1995. ISBN: 9780646214399. Dostupné také z: <https://books.google.cz/books?id=bwHjAAAACAAJ>
- [8] LEDUC, Guillaume. Road traffic data: Collection methods and applications. *Working Papers on Energy, Transport and Climate Change*. 2008, 1: 55.
- [9] REŽŇÁK, Tomáš. *Průběh sčítání CSD* [online]. 2010 [cit. 2015]. Dostupné také z: <http://csd.cdv.cz/prubeh-scitani-csd/>
- [10] BRAY, Tim, Jean PAOLI, C SPERBERG-MCQUEEN, Eve MALER a François YERGEAU. Extensible markup language (XML). *World Wide Web Consortium*

- Recommendation REC-xml-19980210*. <http://www.w3.org/TR/1998/REC-xml-19980210>. 1998, : 16.
- [11] SHAFRANOVICH, Yakov. *Common format and MIME type for Comma-Separated Values (CSV) files*. 2005.
- [12] BEN-KIKI, Oren, Clark EVANS a Brian INGERSON. *YAML Ain't Markup Language (YAMLâ„ž) Version 1.1*. *Yaml.org, Tech. Rep.* 2005.
- [13] NURSEITOV, Nurzhan, Michael PAULSON, Randall REYNOLDS a Clemente IZURIETA. *Comparison of JSON and XML Data Interchange Formats: A Case Study*. *Caine*. 2009, **2009**: 157-162.
- [14] DAMOULAKIS, J. *Continuous protection*. *Storage, June 2004*. 2004, **3**(4): 33-39.
- [15] RECORDABLE, Disc. *ECMA-377*. b.r..
- [16] PATTERSON, David, Garth GIBSON a Randy KATZ. *A case for redundant arrays of inexpensive disks (RAID)*. *ACM Sigmod Record*. ACM, 1988, **17**(3): 109-116.
- [17] KPMG INTERNATIONAL COOPERATIVE. *Data Loss Barometer* [online]. Londýn: RR Donnelley, 2012 [cit. 2015]. Dostupné také z: <https://www.kpmg.com/EE/et/IssuesAndInsights/ArticlesPublications/Documents/Data-Loss-Barometer.pdf>
- [18] ČERNÝ, Aleš. *SERIÁL: Liftago chce ušetřit "statisíce zbytečně najetých" kilometrů pražských taxikářů*. *Ihned.cz* [online]. Praha, 2014 [cit. 2015]. Dostupné také z: <http://byznys.ihned.cz/analyzy-a-komentare/c1-62508770-serial-liftago-chce-usetrit-statisice-zbytecne-najetych-kilometru-prazskych-taxikaru>
- [19] STATISTA, . *Mobile operating systems: global market share 2012-2015 Statistic*. 2015. Dostupné také z: <http://www.statista.com/statistics/272698/global-market-share-held-by-mobile-operating-systems-since-2009/>
- [20] STATISTA, . *Smartphones sales by operating system worldwide 2009-2014 Statistic*. 2015. Dostupné také z: <http://www.statista.com/statistics/266219/global-smartphone-sales-since-1st-quarter-2009-by-operating-system/>

- [21] STATT, Nick. *Microsoft Windows Phone by any other name: It's now 'Windows 10 Mobile'*. 2015. Dostupné také z: <http://www.cnet.com/news/microsoft-drops-windows-phone-in-favor-of-windows-10-mobile/>
- [22] MOTION, Research. *BlackBerry 10 - BlackBerry Q5, BlackBerry Q10 & BlackBerry Z10*. b.r.. Dostupné také z: <http://global.blackberry.com/blackberry-10.html>
- [23] SAMSUNG, . *Bada Developers*. b.r.. Dostupné také z: <http://developer.bada.com>
- [24] PROJECT, Tizen a Linux PROJECT. *An open source, standards-based software platform for multiple device categories*. b.r. Dostupné také z: <https://www.tizen.org/>
- [25] NETWORK, Mozilla. *Firefox OS*. b.r.. Dostupné také z: [https://developer.mozilla.org/en-US/Firefox_OS](https://developer.mozilla.org/en-US/Firefox/_OS)
- [26] SHAIKH, Asif. *Performance Analysis: Ubuntu Touch v/s Android OS*. b.r..
- [27] ZEMAN, Eric. *Microsoft's Windows Phone 8: The Bad*. 2012. Dostupné také z: <http://www.informationweek.com/software/operating-systems/microsofts-windows-phone-8-the-bad/d/d-id/1104950?>
- [28] GOOGLE INC. *Android Developers* [online]. 2015 [cit. 2015]. Dostupné také z: <http://developer.android.com>
- [29] WOLBER, David , Hal ABELSON, Ellen SPERTUS a Liz LOONEY. *App Inventor*. Sebastopol, Calif.: O'Reilly Media, Inc., 2011. 9781449397487.
- [30] LABS, Corona. *Corona SDK*. b.r.. Dostupné také z: <https://coronalabs.com/products/corona-sdk/>
- [31] HIPBYTE, . *HipByte/RubyMotionSamples*. b.r.. Dostupné také z: <https://github.com/HipByte/RubyMotionSamples/tree/master/android/Hello>
- [32] KIVY. *Kivy: Cross-platform Python Framework for NUI* [online]. 2015 [cit. 2015]. Dostupné také z: <http://kivy.org/#home>
- [33] SMITH, HM. The Greenwich Time Signal Service. *Annales frangaises de chronometrie*. 1949, : 227.

- [34] INC., Sony. *Xperia Z3 Compact*. b.r.. Dostupné také z:
<http://www.sonymobile.com/global-en/products/phones/xperia-z3-compact/specifications/#tabs>
- [35] GOOGLE, . *Nexus 7 (2013) Tech Specs*. b.r.. Dostupné také z:
<https://support.google.com/nexus/answer/3247662?hl=en>
- [36] CORPORATION, HTC. *HTC One V Specifikace a recenze*. b.r.. Dostupné také z:
<http://www.htc.com/cz/smartphones/htc-one-v/#/>
- [37] BRIGHT, Peter. *Windows NT coming to phones with Windows Phone 8*. b.r..
 Dostupné také z: <http://arstechnica.com/gadgets/2012/06/windows-nt-coming-to-phones-with-windows-phone-8/>
- [38] ALLSOPP, Clay. *RubyMotion*. United States: The Pragmatic Programmers, 2013.
 ISBN: 9781937785284.
- [39] *WWW SQL Designer*. b.r.. Dostupné také z: <http://ondras.zarovi.cz/sql/demo/>
- [40] *GPS.gov: Timing Applications*. b.r.. Dostupné také z:
<http://www.gps.gov/applications/timing/>
- [41] Леонидович, Г.А.. *Google Android: программирование для мобильных устройств (+ CD) - 2-е издание*. БХВ-Петербург, 2012. ISBN: 9785977507295.
 Dostupné také z: <https://books.google.cz/books?id=hx36iz5za54C>
- [42] TICHÝ, Tomáš. *Řídicí systémy dopravy - dopravní telematika*. Praha, 2004.
 unpublished.
- [43] SHAPIRO, Jeffrey a Jim BOYCE. *Windows 2000 server bible*. Wiley, 2000.
- [44] ROESS, R.P., E.S. PRASSAS a W.R. MCSHANE. *Traffic Engineering*.
 Pearson/Prentice Hall, 2004. ISBN: 9780131918771 LCCN: 89023159. Dostupné
 také z: <https://books.google.cz/books?id=akMaQAAACAAJ>
- [45] MAY, A.D.. *Traffic flow fundamentals*. Prentice Hall, 1990. LCCN: 89039687.
 Dostupné také z: <https://books.google.cz/books?id=XikpAQAAMAAJ>
- [46] KLEIN, Lawrence, Milton MILLS a David GIBSON. *Traffic Detector Handbook: - Volume II*. 2006. Tech. rep.

- [47] KERNER, B.S.. *Introduction to Modern Traffic Flow Theory and Control: The Long Road to Three-Phase Traffic Theory*. Springer Berlin Heidelberg, 2009. ISBN: 9783642026058. Dostupné také z: <https://books.google.cz/books?id=4g7f1h4BfYsC>
- [48] KELL, James, Iris FULLERTON a Milton MILLS. *Traffic detector handbook*. 1990. Tech. rep.
- [49] HARDY, B. a B. PHILLIPS. *Android Programming: The Big Nerd Ranch Guide*. Pearson Education, 2013. ISBN: 9780132869102. Dostupné také z: <https://books.google.cz/books?id=OFXJXbCXjTgC>
- [50] CROCKFORD, Douglas. *Introducing json. Available: json.org*. 2009.
- [51] BRAY, Tim. *The JavaScript Object Notation (JSON) Data Interchange Format*. 2014.
- [52] (ORGANIZATION), Standards a Standards ZEALAND. *Information Technology: Security Techniques Code Of Practice For Information Security Management*. Wellington N.Z.: Standards New Zealand, 2006. ISBN: 9780733774928. Dostupné také z: <http://isbnplus.org/9780733774928>

9 Seznam obrázků

Obrázek 1. Grafy znázorňující rozdíl mezi průměrnou okamžitou rychlostí (vlevo) a průměrnou úsekovou rychlostí (vpravo).....	16
Obrázek 2. Vzor sčítacího listu.....	21
Obrázek 3. Příčiny ztráty dat v roce 2012.....	36
Obrázek 4. Zastoupení operačních systémů v segmentu mobilních zařízení	39
Obrázek 5. Celosvětový prodej chytrých mobilů s rozdělením podle jednotlivých operačních systémů.....	40
Obrázek 6. Příklad zdrojového kódu ve vývojovém prostředí App Inventor for Android	45
Obrázek 7. Příklad aplikace napsané v jazyce LUA ve vývojovém prostředí Corona	46
Obrázek 8. Příklad aplikace vytvořené pomocí softwaru RubyMotion	47
Obrázek 9. Ukázka seskupení prvků View	50
Obrázek 10. Rozložení úvodní obrazovky	52
Obrázek 11. Ukázka rozložení obrazovky pro průzkum	54
Obrázek 12. Ukázka rozložení obrazovky s předvolbami.....	56
Obrázek 13. Struktura použité databáze	57
Obrázek 14. Příklad krátké Toast zprávy s příslušným zdrojovým kódem.....	59
Obrázek 15. Vzhled dialogů DatePickerDialog (vlevo) a TimePickerDialog (vpravo)	60
Obrázek 16. Ukázka různých stavů prvku Spinner.....	61
Obrázek 17. Prvek AlertDialog s varováním o odstranění záznamů.....	62
Obrázek 18. Ukázka dialogu s informací o průzkumu a nabídka volby aplikace pro zpracování URI se souřadnicí	64
Obrázek 19. Graf znázorňující zvuk začátku průzkumu	66
Obrázek 20. Znázornění zvuku konce průzkumu	67
Obrázek 21. Ukázka různých stavů horní lišty ActionBar.....	68
Obrázek 22. Prvek AlertDialog zabraňující náhodnému opuštění obrazovky pro měření	69
Obrázek 23. Průběhy stavu úrovně baterie při měření se spuštěnou aplikací.....	73
Obrázek 24. Průběhy stavu úrovně baterie při měření se spuštěnou aplikací.....	74

10 Seznam tabulek

Tabulka 1. Rozdělení komunikací do skupin podle charakteru provozu.....	12
Tabulka 2. Ukázka klesající závislosti hustoty na rychlosti	14
Tabulka 3. Porovnání jednotlivých druhů detektorů a možnosti použití pro měření různých parametru	18
Tabulka 4. Přirazení symbolům příslušných entit	25
Tabulka 5. Porovnání způsobů formátování	33
Tabulka 6. Porovnání vývojových prostředí.....	48
Tabulka 7. Charakteristiky zařízení použitých pro testování aplikace	71
Tabulka 8. Naměřené hodnoty stavu baterie při spuštění aplikace	72
Tabulka 9. Naměřené hodnoty stavu baterie bez spuštění aplikace	74

11 Seznám zdrojových kódů

Zdrojový kód 1. Příklad jednoduché definice prologu	26
Zdrojový kód 2. Příklad definice prologu s připojením vnějšího DTD souboru	26
Zdrojový kód 3. Příklad deklarace typu dokumentu	26
Zdrojový kód 4. Příklad deklarace typu souboru s odkazem na soubor DTD obsahující definici struktury XML	26
Zdrojový kód 5. Příklad komentáře	26
Zdrojový kód 6. Příklad použití třech typů tagů	27
Zdrojový kód 7. Příklad souboru XML s ukázkou kořenového elementu	27
Zdrojový kód 8. Příklad elementu s atributy	28
Zdrojový kód 9. Příklad souboru XML obsahující záznamy z průzkumu intenzit	29
Zdrojový kód 10. Příklad souboru CSV	30
Zdrojový kód 11. Příklad zápisu pomocí jazyka YAML	31
Zdrojový kód 12. Příklad zápisu pomocí jazyka JSON	32
Zdrojový kód 13. Ukázka nastavení Action Bar	53
Zdrojový kód 14. Příklad použití objektu Log	58
Zdrojový kód 15. Příklad uložení dat o průzkumu do databáze	61
Zdrojový kód 16. Ukázka algoritmu získávání z databáze dat o událostech a jejich četnostech	63
Zdrojový kód 17. Struktura XML, dle které aplikace generuje výstupní soubor	65
Zdrojový kód 18. Ukázka algoritmu odstranění chybného záznamu	69

12 Seznam příloh

12.1 Příloha A

Zdrojový kód A. 1. Ukázka kódu, který je vykonán při doteku tlačítka pro začátek nového průzkumu

Zdrojový kód A. 2. Ukázka kódu, který je vykonán při doteku tlačítka pro odstranění záznamů

Zdrojový kód A. 3. Ukázka XLM souboru se záznamy, který je vygenerován aplikací

Zdrojový kód A. 4. Realizace objektu, poskytujícího informace o aktuální poloze

12.2 Příloha B

Obrázek B. 1. Průběhy stavu napětí při měření se spuštěnou aplikací

Obrázek B. 2. Průběhy stavu napětí při měření bez spuštěné aplikace

Obrázek B. 3. Průběhy stavu úrovně baterie při měření se spuštěnou aplikací

Obrázek B. 4. Průběhy stavu úrovně baterie při měření bez spuštěné aplikace

12.3 Příloha C

Zdrojové kódy realizovaného softwaru

12.4 Příloha D

Spustitelný soubor pro instalaci aplikace do zařízení

Přílohy

Příloha A. Ukázky zdrojových kódů, použitých v aplikaci.

Soubor: MainActivity.java (řádky 148-176)

```
btnIntenzity = (Button) findViewById(R.id.btnIntenzity);
View.OnClickListener oclBtnIntenzity = new View.OnClickListener() {
    @Override
    public void onClick(View v) {
        // connecting to DB
        SQLiteDatabase dbPruzkumy = dbHelper.getWritableDatabase();
        // creating object for data
        ContentValues cvPruzkum = new ContentValues();
        // prepare data
        calBegin.set(Calendar.SECOND, 0);
        calEnd.set(Calendar.SECOND, 0);
        cvPruzkum.put(ZACATEK, calBegin.getTimeInMillis());
        cvPruzkum.put(KONEC, calEnd.getTimeInMillis());
        cvPruzkum.put(INTENZITA, 0);
        cvPruzkum.put(SOURADNICE, "N/A");
        // insert data
        Log.d(TAG, "data prepared");
        long rowID = dbPruzkumy.insert("pruzkumy", null, cvPruzkum);
        Log.d(TAG, "data inserted with id = " + rowID);
        dbHelper.close();
        Intent intentPruzkum = new Intent(MainActivity.this,
MainActivityIntenzity.class);
        // send extra data to new activity
        intentPruzkum.putExtra("begin", (Long) calBegin.getTimeInMillis());
        intentPruzkum.putExtra("end", (Long) calEnd.getTimeInMillis());
        intentPruzkum.putExtra("id_pruzkumu", (Long) rowID);
        Log.d(TAG, "opening other activity" + rowID);
        startActivity(intentPruzkum);
    }
};
```

Zdrojový kód A. 1. Ukázka kódu, který je vykonán při doteku tlačítka pro začátek nového průzkumu

Soubor: MainActivity.java (řádky 185-231)

```
View.OnClickListener oclBtnSmazat = new View.OnClickListener() {
    @Override
    public void onClick(View v) {
        //create dialog warning
        new AlertDialog.Builder(MainActivity.this)
            .setIcon(R.drawable.ic_action_alert)
            .setTitle(R.string.deleteAlert)
            .setMessage(R.string.deleteAlertMsg)
            .setPositiveButton(R.string.sBtnSmazat,
                new DialogInterface.OnClickListener() {
                    @Override
                    public void onClick(DialogInterface dialog, int which){
                        // connecting to DB
                        pos = spinnerVyberPruzkumu
                            .getSelectedItemPosition();
                        deleteXML(pos);
                        SQLiteDatabase dbPruzkumy =
                            dbHelper.getWritableDatabase();
                        Log.d(TAG, "Pos list view = " + pos);
                        Cursor cursor = dbPruzkumy.query(
                            TABLE_PRUZKUMY,
                            null, null, null, null, null);
                        cursor.moveToPosition(pos);
                        //rewrite value of POS to id from table
                        pos = cursor.getInt(cursor.getColumnIndex(ID));
                        String sPos = "" + pos;
                        dbPruzkumy.delete(TABLE_PRUZKUMY,
                            ID + " = " + pos, null);
                        int del = dbPruzkumy.delete(
                            TABLE_ZAZNAMY,
                            ID_PRUZKUMU + " = " + pos, null);
                        Log.d(TAG,
                            "delete row with" + ID + " = " + pos);
                        Log.d(TAG,
                            "delete " + del + " records from zaznamy");
                        Toast.makeText(MainActivity.this,
                            R.string.deleteOk,
                            Toast.LENGTH_SHORT).show();
                        cursor.close();
                        db2spinner();
                        dbHelper.close();
                    }
                })
            .setNegativeButton(android.R.string.cancel, null)
            .show();
    }
};
```

Zdrojový kód A. 2. Ukázka kódu, který je vykonán při doteku tlačítka pro odstranění záznamů

```

<?xml version="1.0" encoding="UTF-8"?>
<Průzkum>
  <Vlastnosti>
    <Lokalita>
      <souřadnice>N/A</souřadnice>
    </Lokalita>
    <Začátek>
      <datum>2015-05-28</datum>
      <čas>15:17:00</čas>
      <pásmo>SEČ</pásmo>
    </Začátek>
  </Vlastnosti>
  <Záznamy>
    <událost>
      <Vozidlo>Osobní</Vozidlo>
      <Datum>2015-05-28</Datum>
      <Čas>15:17:47.733</Čas>
    </událost>
    <událost>
      <Vozidlo>Bus kloub.</Vozidlo>
      <Datum>2015-05-28</Datum>
      <Čas>15:17:47.955</Čas>
    </událost>
    <událost>
      <Vozidlo>Bus solo</Vozidlo>
      <Datum>2015-05-28</Datum>
      <Čas>15:17:48.159</Čas>
    </událost>
    <událost>
      <Vozidlo>Moto</Vozidlo>
      <Datum>2015-05-28</Datum>
      <Čas>15:17:48.365</Čas>
    </událost>
    <událost>
      <Vozidlo>Osobní</Vozidlo>
      <Datum>2015-05-28</Datum>
      <Čas>15:17:48.503</Čas>
    </událost>
  </Záznamy>
</Průzkum>

```

Zdrojový kód A. 3. Ukázka XLM souboru se záznamy, který je vygenerován aplikací

Soubor: MainActivityIntenzity.java (řádky 137-183)

```
private LocationListener locationListener = new LocationListener() {
    @Override
    public void onLocationChanged(Location location) {
        dLat = location.getLatitude();
        dLong = location.getLongitude();
        tvGps.setText("" + dLat + ", " + dLong +
            "\u00B1" +
            Float.toString(location.getAccuracy()) + "m");
        tvGps.setTextColor(getResources().
            getColor(android.R.color.holo_green_dark));
    }

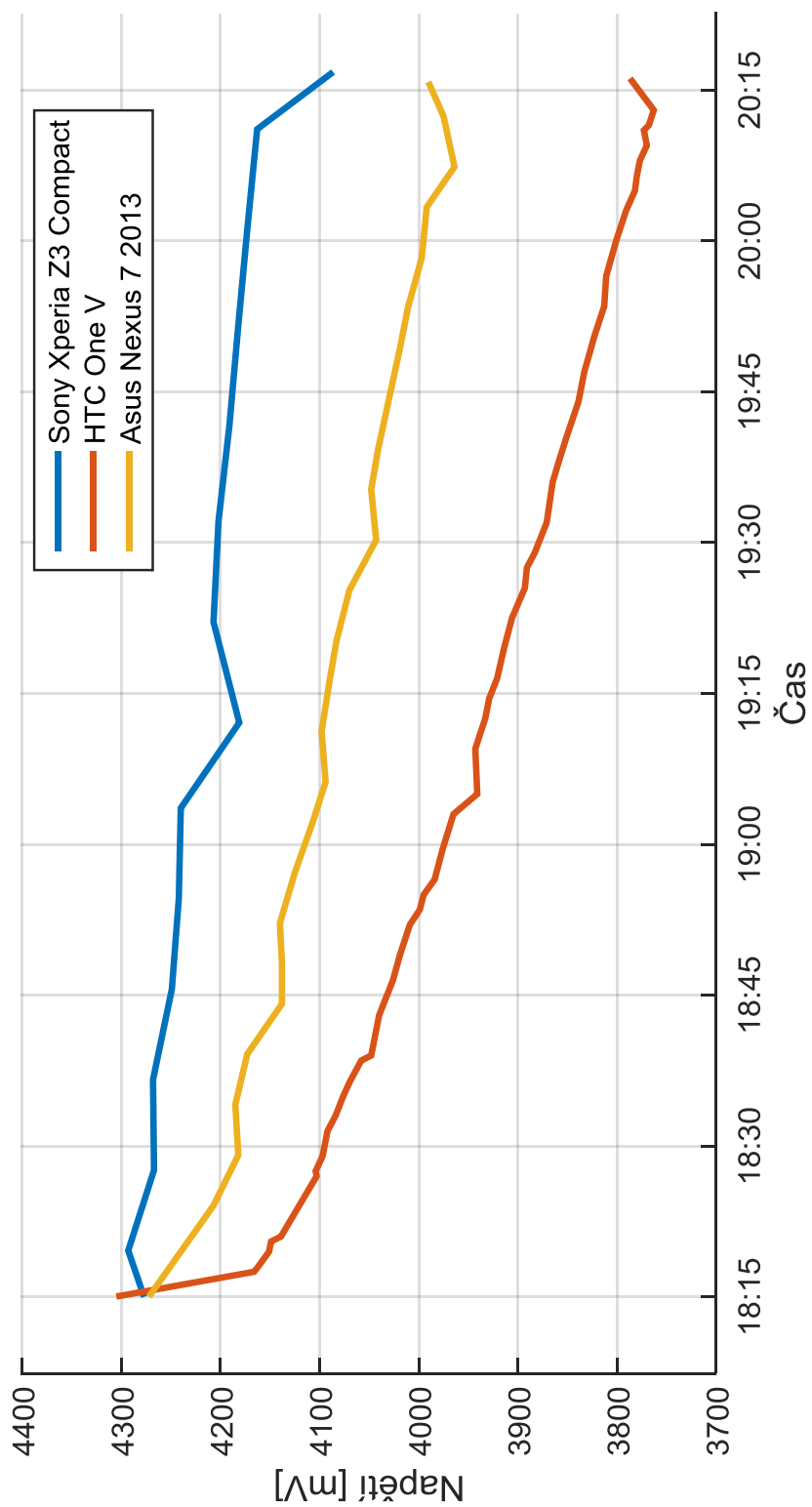
    @Override
    public void onStatusChanged(String provider,
        int status, Bundle extras) {
        switch (status) {
            case 0: //OUT_OF_SERVICE
                tvGps.setText("N/A");
                tvGps.setTextColor(getResources().
                    getColor(android.R.color.holo_red_dark));
                break;
            case 1: //TEMPORARILY_UNAVAILABLE
                //tvGps.setText("TEMPORARILY UNAVAILABLE");
                tvGps.setTextColor(getResources().
                    getColor(android.R.color.holo_orange_dark));
                locationManager.requestSingleUpdate(
                    LocationManager.GPS_PROVIDER,
                    locationListener, null);
                break;
            case 2:
                tvGps.setTextColor(getResources().
                    getColor(android.R.color.holo_green_dark));
                locationManager.requestSingleUpdate(
                    LocationManager.GPS_PROVIDER,
                    locationListener, null);
                break;
        }
    }

    @Override
    public void onProviderEnabled(String provider) {
    }

    @Override
    public void onProviderDisabled(String provider) {
    }
};
```

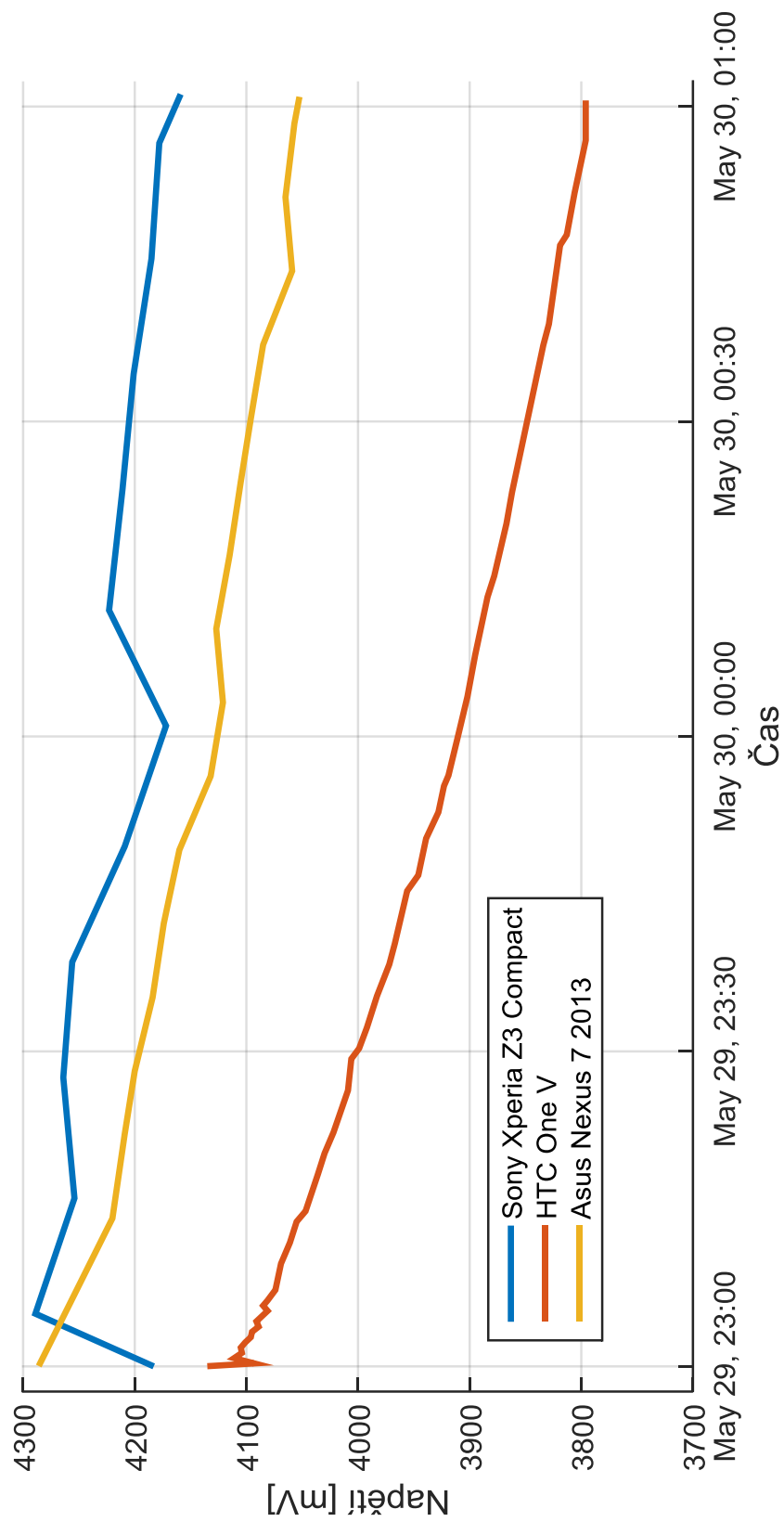
Zdrojový kód A. 4. Realizace objektu, poskytujícího informace o aktuální poloze

Příloha B. Grafy stavů baterie.



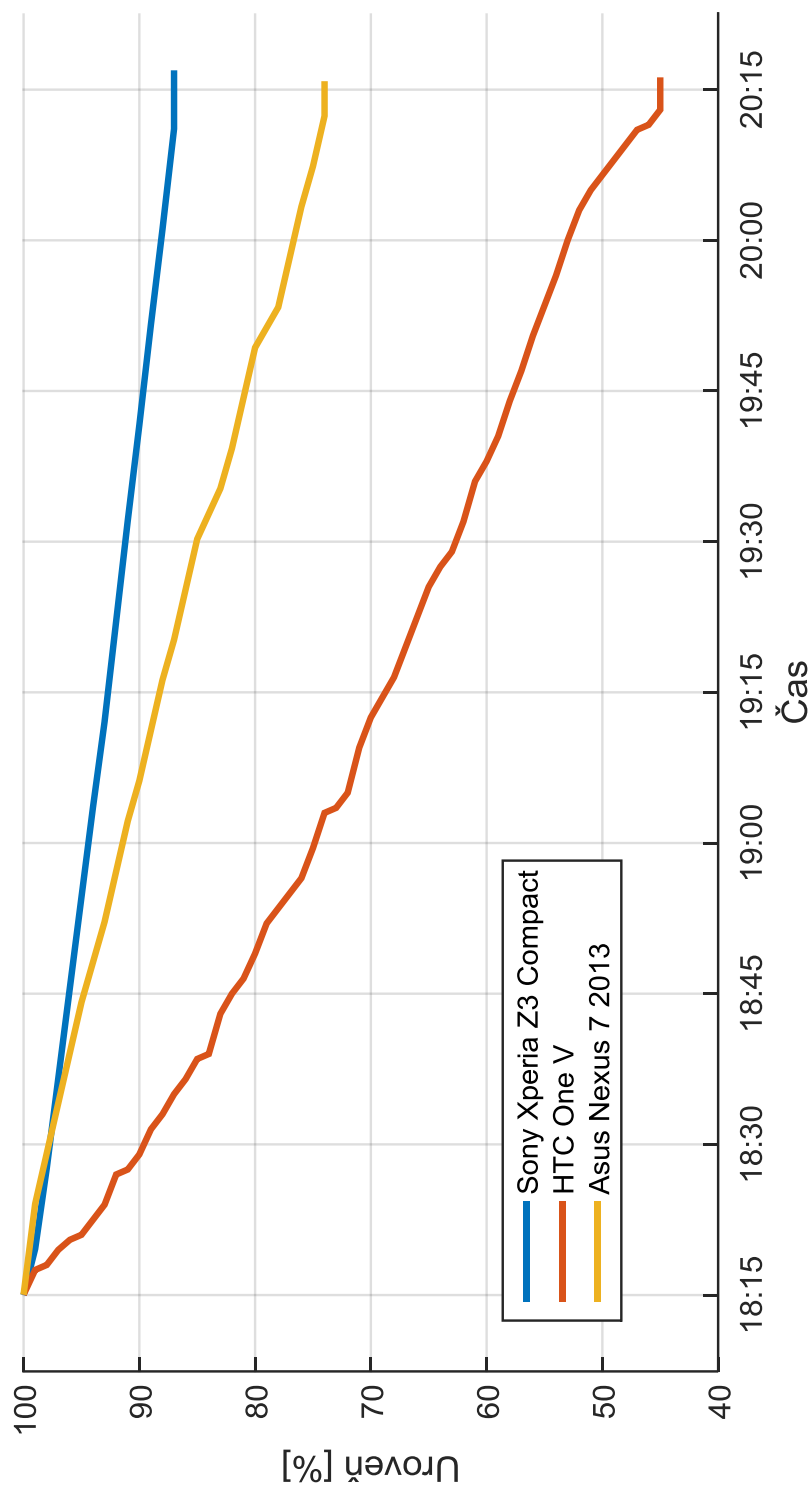
Obrázek B. 1. Průběhy stavu napětí při měření se spuštěnou aplikací

Zdroj: autor



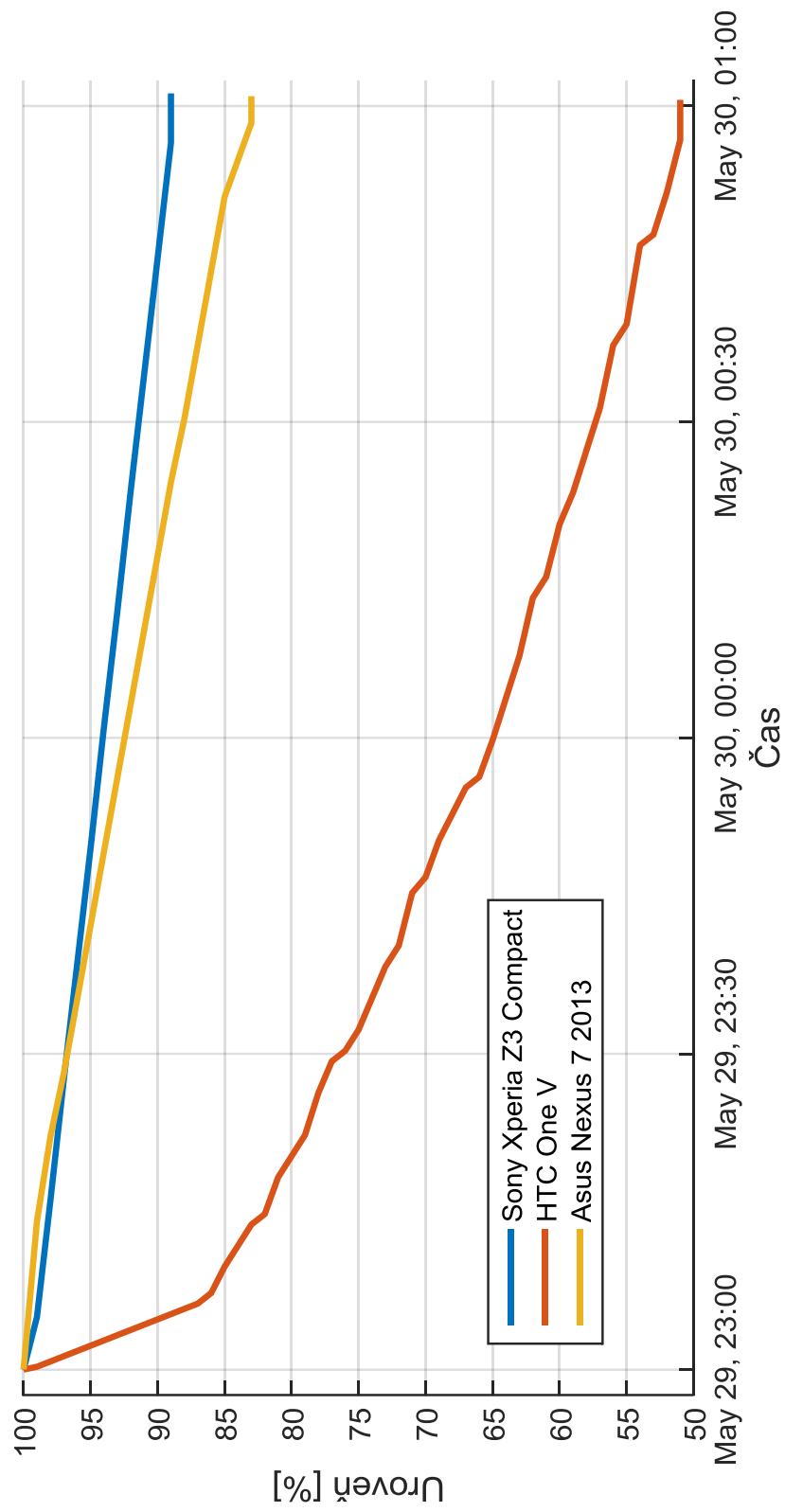
Obrázek B. 2. Průběhy stavu napětí při měření bez spuštěné aplikace

Zdroj: autor



Obrázek B. 3. Průběhy stavu úrovně baterie při měření se spuštěnou aplikací

Zdroj: autor



Obrázek B. 4. Průběhy stavu úrovně baterie při měření bez spuštěné aplikace

Zdroj: autor

